

## รายงานการวิจัย

การสำรวจแหล่งแร่ยูเรเนียมบริเวณดอยป่าแมก  
บ้านดอยเต่า อําเภอดอยเต่า จังหวัดเชียงใหม่

**Uranium Exploration in the Vicinity of Doi Pae Po Mak,  
Ban Doi Tao, Amphoe Doi Tao, Changwat Chiang Mai**



คณบดีมหาวิทยาลัยเชียงใหม่  
Copyright © by Chiang Mai University  
All rights reserved  
สงวนสิทธิ์  
การไฟฟ้าฝ่ายผลิต แห่งประเทศไทย

## คำชี้อับคูณ

คณะผู้วิจัยขอขอบคุณการให้ฝ่ายผลิตแห่งประเทศไทย ที่ให้ทุนศึกษาวิจัยครั้งนี้ ตลอด  
จนได้ยึดเครื่องมือ Urtec UG-140 แก่มานาร์ยสเปกโตรมิเตอร์ ขอขอบคุณภาควิชาพิสิกส์และ  
ภาควิชาธรรฟิวทิยา คณะวิทยาศาสตร์ มหาวิทยาลัยเชียงใหม่ ที่อนุญาตให้ใช้สถานที่และอุปกรณ์การ  
วิจัย ขอขอบคุณภาควิชากรรมเมืองแร่ คณะวิศวกรรมศาสตร์ มหาวิทยาลัยเชียงใหม่ ที่ให้ใช้  
เครื่อง X-ray diffractometer และขอขอบคุณนายใจ สุ่มคำ ผู้ใหญ่บ้านหมู่ที่ 4 ตำบลดอย  
เต่า อำเภอเด่น เด่น จังหวัดเชียงใหม่ ที่ให้ความช่วยเหลืออำนวยความสะดวกในการเข้าพื้นที่  
ศึกษาตลอดระยะเวลาการสำรวจ

**ลิขสิทธิ์มหาวิทยาลัยเชียงใหม่**  
**Copyright<sup>©</sup> by Chiang Mai University**  
**All rights reserved**

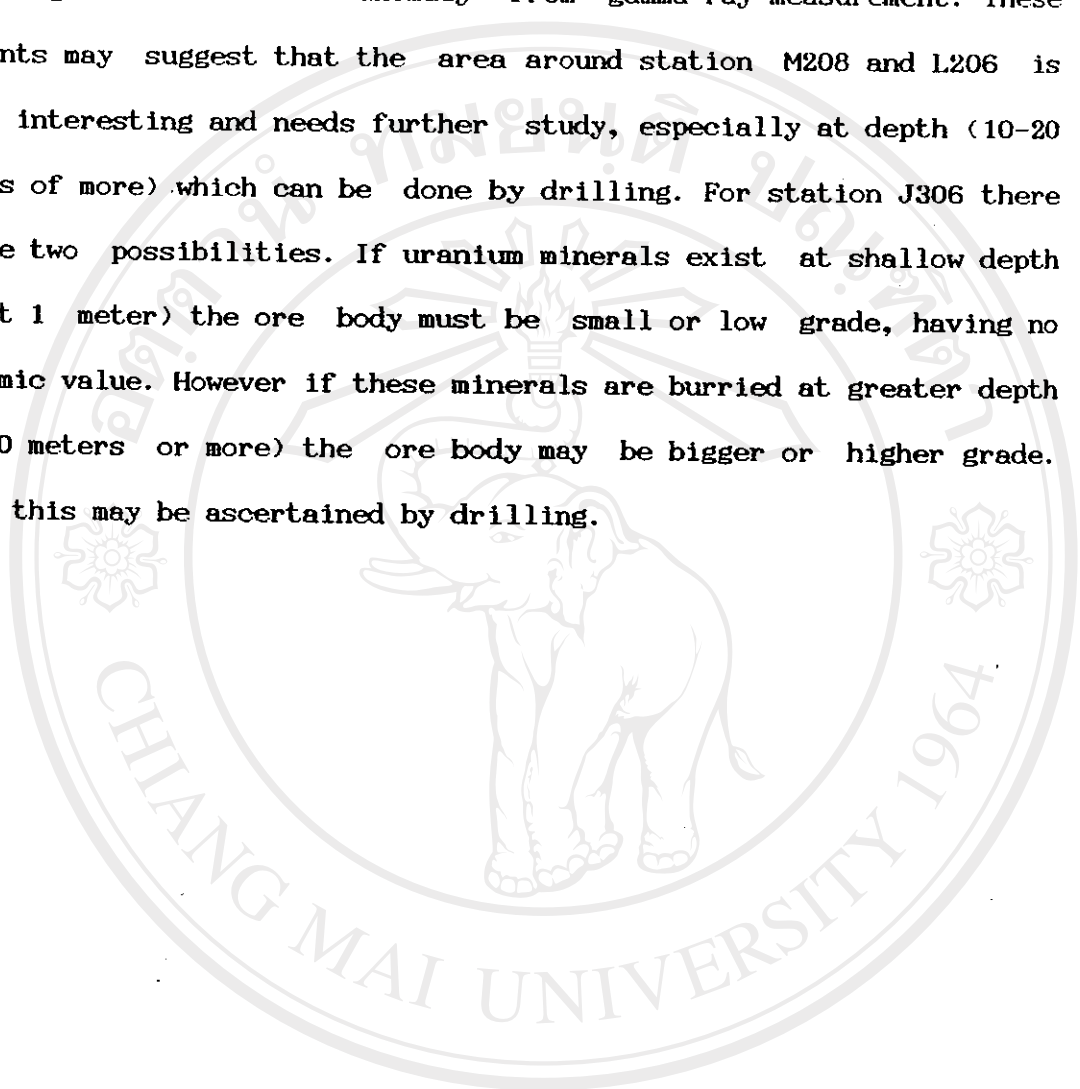
## บทคัดย่อ

การสำรวจยุเรเนียมในชั้นรายละเอียด ได้ถูกกำหนดขึ้นสองบริเวณ หลังจากได้สำรวจเบื้องต้นในพื้นที่เหล่านี้ไปแล้ว เมื่อปี พ.ศ. 2531 พื้นที่ทั้งสองอยู่ใกล้กันโดยตลอดอย่างเป็นมัก อำเภอตอยเต่า จังหวัดเชียงใหม่ สภาพธารสีวิทยาในพื้นที่ประกอบด้วยหินมัสโคไวต์-ไบโอลิต แกรนิตชนิดเนื้อผลึกสองขนาดบุคคลหรือลักษณะโครงสร้างที่สำคัญคือรอยเลื่อนและรอยแตก ซึ่งมีทิศทางโดยทั่วไปในแนว NE-SW และ EW โดยมีมุนเทเก็บตั้งต่างๆ รอยเลื่อนและรอยแตกเหล่านี้ส่วนใหญ่มีความกว้างซึ่งกันๆ ไปทั่วผลึกแทรกอยู่ การนำผลการวัดรังสีแกมมา (โดยสเปกตรัมเมเตอร์) และผลการวัดเรดอน (โดยฟิล์มที่ไวต่อรังสีอัลฟ้าและโดยเครื่องมือวัดเรดอน) ในพื้นที่ทั้งสองมาพิจารณารวมกัน พบว่ามีบริเวณเล็ก ๆ ที่มีสารใจอยู่สองบริเวณ บริเวณแรกครอบคลุมสถานี M208 และสถานี L206 ในขณะที่บริเวณที่สองอยู่ที่สถานี J306 การชุดร่องที่สถานี M208 ทำให้พบแร่ยูเรเนียม ซึ่งต่อมากำหนดว่าคือทอร์เบอร์ไนต์ และเมตาทอร์เบอร์ไนต์ แร่เหล่านี้แทรกเข้าไปในรอยแตกของสายคาวอร์ตซ์เล็ก ๆ และประจุกระจายในผิวน้ำหินแกรนิตที่เปลี่ยนสภาพอย่างไรก็ตาม ปริมาณหินดงมวลสินแร่ยูเรเนียมมีเพียงเล็กน้อย โดยมีขนาดเพียงประมาณ 1.5 ลูกบาศก์เมตร ความเข้มข้นเฉลี่ยของยูเรเนียมเป็น  $1.15 \text{ เบอร์เซ็นต์}$  ความเข้มข้นสูงสุดเกิดในบริเวณความลึก  $10-30$  เซนติเมตรจากผิวดิน เป็นที่คาดกันว่าแร่เหล่านี้เกิดจากการบวนการน้ำร้อนเนื่องจากค่าเรดอนที่วัดได้ที่สถานี M208 และบริเวณใกล้เคียงในเวลาต่อมา ยังคงแสดงแนวทิศทางที่สอดคล้องกับสายคาวอร์ตซ์ที่มีแร่ยูเรเนียมแทรกอยู่แม้ว่าสายคาวอร์ตซ์นั้นจะถูกขุดออกไปจาร์องเก็บหมดแล้วก็ตาม ยิ่งกว่านั้นการวัดเรดอนที่สถานี L206 ซึ่งอยู่ในบริเวณใกล้เคียงยังแสดงค่าผิดปกติที่ชัดเจนแม้ว่าจะไม่มีค่าผิดปกติจากการวัดรังสีแกมมา จากหลักฐานดังกล่าวซึ่งต้นอาจหมายถึงว่าพื้นที่บริเวณสถานี M208 และ L206 ยังเป็นบริเวณที่มีสารใจที่มีจะศึกษาเพิ่มเติมโดยเฉพาะในระดับลึก ( $10-20$  เมตรหรือมากกว่า) ซึ่งจะทำได้โดยการเจาะ สำหรับสถานี J306 อาจเป็นได้ในส่องลักษณะ หากแร่ยูเรเนียมฝังอยู่ในระดับตื้น (ประมาณ  $1$  เมตรจากผิวดิน) มวลสินแร่คงมีขนาดเล็ก หรือมีความเข้มข้นต่ำ ไม่มีคุณค่าทางเศรษฐกิจแต่อย่างใดอย่างไรก็ตามหากเจาะลึกในระดับลึก ( $10-20$  เมตรหรือมากกว่า) มวลสินแร่อาจใหญ่ขึ้นหรือมีความเข้มข้นสูงขึ้น การตรวจสอบให้แน่ชัดในเรื่องนี้อาจทำได้โดยการเจาะ

## Abstract

Detailed uranium exploration in two areas close to Doi Pae Po Mak, Amphoe Doi Tao, Changwat Chiang Mai are carried out following an initial survey carried out earlier in 1988. These two areas are underlain by the Triassic muscovite-biotite granite porphyry. Major structural features in these areas are faults and fractures which trend generally in NE-SW and EW directions and dip nearly vertical. Most faults and fractures are filled with quartz. A combination of gamma-ray measurements (using a spectrometer) and radon measurements (using alpha-sensitive films as well as a radon meter) in these two areas shows two smaller areas of interest. The first one is around station M208 and station L206 while the other locates at station J306. Trenching at station M208 reveals uranium minerals which are identified as torbernite and metatorbernite. These minerals fill in cracks of a small quartz vein as well as disseminate in its altered granitic wall rock. However the overall amount of uranium ore body is small, having the size of only about  $1.5 \text{ m}^2$  the average concentration of uranium is 1.15 percents. The maximum concentration occurs in between 10-30 cm below ground level. It is expected that these minerals derive from hydrothermal process. Since radon values measured at and around station M208 at later stage still show some trends relevant to the mineralized quartz vein even though most of the vein has been removed from the trench. In addition radon measurement at

station L206, which is nearby, also shows anomalous radon value eventhough there is no anomaly from gamma ray measurement. These evidents may suggest that the area around station M208 and L206 is still interesting and needs further study, especially at depth (10-20 meters or more) which can be done by drilling. For station J306 there may be two possibilities. If uranium minerals exist at shallow depth (about 1 meter) the ore body must be small or low grade, having no economic value. However if these minerals are burried at greater depth (10-20 meters or more) the ore body may be bigger or higher grade. Again this may be ascertained by drilling.



## สารบัญ

คำขอคุณ	ก
บทคัดย่อ	ข
Abstract	ค
รายการตารางประกอบ	ซ
รายการภาพประกอบ	ช
บทที่ 1 บทนำ	1
1.1 ความเป็นมา	
1.2 ตำแหน่ง ที่ตั้ง และสภาพภูมิประเทศของพื้นที่สำรวจ	7
บทที่ 2 ธรรFTER วิทยาของพื้นที่สำรวจ	
2.1 ลักษณะพื้นที่	11
2.2 ธรรFTER วิทยาโครงสร้าง	
2.2.1 รอยเลื่อน	16
2.2.2 รอยแตก	17
2.2.3 รอยแยก	17
2.3 สายคาดอุตสาหกรรม	22
บทที่ 3 การวัดธงสีแกรมมา	
3.1 หลักการพื้นฐาน	24
3.2 อุปกรณ์และการเก็บข้อมูล	26
3.3 ผลการวัดธงสีแกรมมาและการแปลความหมาย	29

<b>บทที่ 4 การวัด:redon ใต้ผิวดิน</b>	
4.1 หลักการพื้นฐาน	42
4.2 วิธีการวัด:redon ใต้ผิวดิน	44
4.3 การวัด:redon โดยอาศัยกลิ่นไหต่อรังสีอัลฟ่า	
4.3.1 อุปกรณ์การติดตั้งและการเก็บข้อมูล	45
4.3.2 การกัดขยายรอยและการนับรอยอนุภาค อัลฟ่าในแผ่นเซลลูโลสใน terrestrial	47
4.3.3 ผลการนับรอยอนุภาคอัลฟ่าในแผ่นเซลลูโลส ใน terrestrial และการแปลความหมาย	48
4.4 การวัด:redon โดยอาศัยหัววัดรังสีอัลฟ่าแบบช็อต基น์เบรียร์	
4.4.1 อุปกรณ์และการเก็บข้อมูล	54
4.4.2 ผลการวัด:redon และการแปลความหมาย	55
<b>บทที่ 5 กระบวนการเกิดแร่ยูเรเนียมและศักยภาพของแหล่งแร่</b>	
5.1 กระบวนการเกิดแร่ยูเรเนียม	59
5.2 วิทยาแร่	
5.2.1 ผลทาง scanning electron	
microscope (SEM)	61
5.2.2 ผลทาง X-ray diffraction (XRD)	64
5.3 ศักยภาพของแหล่งแร่	67
<b>บทที่ 6 สรุปผลการสำรวจแร่ยูเรเนียม</b>	
6.1 สรุปผลด้านธรณีวิทยา	69
6.2 สรุปผลการวัดรังสีแกมมาและการวัด:redon	70
6.3 สรุปผลด้านกระบวนการเกิดแร่และศักยภาพแหล่งแร่	71

เอกสารอ้างอิง	73
ภาคผนวกที่ 1 ผลการวัดรังสีเกมมาโดยสเปกโตรมิเตอร์ ณ สถานีสำรวจในบริเวณแรก (ติดกับยอดดอยแปลงมัก) ในวันที่ 5-6 มกราคม 2534	77
ภาคผนวกที่ 2 ผลการวัดรังสีเกมมาโดยสเปกโตรมิเตอร์ ณ สถานีสำรวจในบริเวณที่สอง (ห่างจากยอดดอยแปลงมักทางตะวันตกประมาณ 1 กิโลเมตร) ในวันที่ 19-20 มกราคม 2534	92
ภาคผนวกที่ 3 จำนวนความหนาแน่นร้อยอนุภาคอัลฟ่าในแผ่นพิล์มเซลลูโลส ในเทรอที่ติดไว้ ณ สถานีสำรวจในบริเวณแรก (ติดกับยอดดอยแปลงมัก) ระหว่างวันที่ 24 กุมภาพันธ์ 2533 ถึงวันที่ 10 มีนาคม 2533	103
ภาคผนวกที่ 4 จำนวนความหนาแน่นร้อยอนุภาคอัลฟ่าในแผ่นพิล์มเซลลูโลส ในเทรอที่ติดไว้ ณ สถานีสำรวจในบริเวณที่สอง (ห่างจากยอดดอยแปลงมักทางตะวันตกประมาณ 1 กิโลเมตร) ระหว่างวันที่ 12-26 พฤษภาคม 2533	107
คณบัญชี	110

**ลิขสิทธิ์มหาวิทยาลัยเชียงใหม่**  
**Copyright © by Chiang Mai University**  
**All rights reserved**

## รายการตารางประกอบ

ตารางที่		หน้า
3.1	ค่าแบนคกราดและเกรสโซ่ล์ของรังสีเกนมาจาก TC, K, U และ Th ในบริเวณแรกติดกับยอดดอยเปป้อมัก	29
3.2	ค่าแบนคกราดและเกรสโซ่ล์ของรังสีเกนมาจาก TC, K, U และ Th ในบริเวณที่ส่องห่างจากยอดดอยเปป้อมักมากทางตะวันตกราว 1 กิโลเมตร	30
5.1	ข้อมูลทาง X-ray diffraction ของเมตาثور์เบอร์ในต์	66
5.2	ข้อมูลทาง X-ray diffraction ของพอร์เบอร์ในต์	67

**จิรศิทธิ์มหาวิทยาลัยเชียงใหม่**  
**Copyright<sup>©</sup> by Chiang Mai University**  
**All rights reserved**

## รายการภาพประกอบ

รูปที่	หน้า
1. 1	3
เส้นทางเข้าสู่หินที่สำรวจบริเวณบ้านดอยเต่า หมู่ที่ 4 หรือ บ้านอิมพลี อ.ดอยเต่า จ.เชียงใหม่	
1. 2	4
แผนที่ค่อนทัวร์แสดงบริเวณที่มีคำความหมายแน่นรอยอุณากรอัลฟ่า สูงผิดปกติ 9 บริเวณ ชั้ง 2 บริเวณ ครอบคลุมสถานี P18 และ สถานี B20 (ตามที่ตั้งกรอบ) ถูกเลือกเพื่อศึกษาขั้นรายละเอียด ในการสำรวจครั้งนี้	
1. 3	5
สภาพของหินที่ห้ามสายคาดหัวซึ่งมีร่องรอยเบอร์ไนต์แทรกตาม รอยแตกและฉาบตามผิว (ก) และลักษณะของสายคาดหัวซึ่ง ตั้งกล่าวโ洛ให้เห็นบนผิวดิน (ข)	
1. 4	8
ลักษณะภูมิประเทศ และลักษณะธารสีวิทยาของหินที่สำรวจและบริเวณ ใกล้เคียง (ช่วงห่างของเส้นระดับขั้นความสูงเท่ากับ 20 เมตร)	
1. 5	9
สภาพภูมิประเทศของหินที่สำรวจแสดงเหมือนลิงค์กิง (1) และ ยอดดอยแบปومัก (2) ถ่ายจากลับเขื่อนอ่างเก็บน้ำห้วยแม่ตูบ	
2. 1	12
ลักษณะธารสีวิทยาในหินที่ดอยแบปอมัก และหินที่ซ้างเคียง (จากคลิป ประสิทธิการกุล, 2524)	
2. 2	13
ลักษณะธารสีวิทยาของหินที่สำรวจขั้นรายละเอียดบริเวณกริดกับ ยอดดอยแบปอมักไปทางตะวันออก เชียงใหม่ ครอบคลุมหินที่ 400x500 ตารางเมตรของสถานี P18 ตั้งแสดงในรูปที่ 1. 2 (หินที่หันหน้าเป็นทิศเหนือ)	

รูปที่

หน้า

2.3	ลักษณะของพื้นที่สำราญชั้นรายละเอียดบริเวณที่สอง ซึ่งอยู่ห่างจากยอดดอยแปบมังกไฟทางตะวันตกประมาณ 1 กิโลเมตร ครอบคลุมพื้นที่ 300x350 ตารางเมตร รอบสถานี B20 ดังแสดงในรูปที่ 1.2 (พื้นที่ห้องน้ำเป็นพินไทร์) แสดงลักษณะเนื้อพื้นแบบผลึกส่องขนาดของพื้นที่สโคลา-ໄบโอไทยร์ ไทร์และตัวอย่างแปบมังกไฟที่มีลักษณะแห้งสีเหลืองผีเสื้อดือ <sup>ก</sup> โพแทส-เฟล์ตสปาร์ (KS) และตัวเม็ดเล็ก ๆ คือໄบโอไทยร์ มาตรฐานส่วนแห้งสีขาวเท่ากับ 1 เซนติเมตร	14
2.4	แสดงลักษณะเนื้อพื้นแบบผลึกส่องขนาดของพื้นที่สโคลา-ໄบโอไทยร์ ไทร์และตัวอย่างแปบมังกไฟที่มีลักษณะแห้งสีเหลืองผีเสื้อดือ <sup>ก</sup> โพแทส-เฟล์ตสปาร์ (KS) และตัวเม็ดเล็ก ๆ คือໄบโอไทยร์ มาตรฐานส่วนแห้งสีขาวเท่ากับ 1 เซนติเมตร	15
2.5	สเตธิโอลอแกร์มของโพลจำนวน 152 โพลของระบบรองรับ ในพื้นที่ 1 (รูปช้าย) และคอนทาร์สเตธิโอลอแกร์ม (รูปขาว) ณ 0.7-3.3, 3.3-5.9, 5.9-8.6, 8.6-11.2 และ 11.2-13.8 เปอร์เซ็นต์ต่อ 1 เปอร์เซ็นต์ของพื้นที่	18
2.6	สเตธิโอลอแกร์มของโพลจำนวน 109 โพลของระบบรองรับ ในพื้นที่ 2 (รูปช้าย) และคอนทาร์สเตธิโอลอแกร์ม (รูปขาว) ณ 0.9-2.9, 2.9-4.1, 4.1-6.1, 6.1-8.1 และ 8.1-11.0 เปอร์เซ็นต์ต่อ 1 เปอร์เซ็นต์ของพื้นที่	19
2.7	สเตธิโอลอแกร์มของโพลจำนวน 170 โพล ของระบบรองรับ ในพื้นที่ 3 (รูปช้าย) และคอนทาร์สเตธิโอลอแกร์ม (รูปขาว) ณ 0.6-3.1, 3.1-5.5, 5.5-7.1, 7.1-10.5 และ 10.5-12.9 เปอร์เซ็นต์ต่อ 1 เปอร์เซ็นต์ของพื้นที่	20
2.8	สเตธิโอลอแกร์มของโพลจำนวน 431 โพลของระบบรองรับ ในพื้นที่ 1, 2 และ 3 (รูปช้าย) และคอนทาร์สเตธิโอลอแกร์ม (รูปขาว) ณ 0.2-2.5, 2.5-4.8, 4.8-7.1, 7.1-9.3 และ 9.3-11.6 เปอร์เซ็นต์ต่อ 1 เปอร์เซ็นต์ของพื้นที่	21

หัวที่	หน้า
2.9 สายความตึงแต่กั้กให้ความตึง (QTZ) รูปเลนส์และมีแร่ยูเรเนียม สีเขียว (เมตาทอร์เบอร์ไนต์และทอร์เบอร์ไนต์) ตามลูกศรซึ้ง เข้ามาเกิดเหตุตามช่องว่างระหว่างความตึงเลนส์	23
3.1 Urtec UD-140 แกมมาเรย์สเปกโตรมิเตอร์	27
3.2 แสดงการวัดรังสีแกมมาโดยแกมมาเรย์สเปกโตรมิเตอร์ ณ สถานีสำรวจต่าง ๆ	27
3.3-3.6 ค่อนทั่วทั่งรังสีแกมมากของ TC, K, U และ Th ในหน่วย CPS ในบริเวณแรกติดกับสถานีที่ทางลักษณะแบบนี้อยู่ด้วยเปลือกมัก	33-36
3.7-3.10 ค่อนทั่วทั่งรังสีแกมมากของ TC, K, U และ Th ในหน่วย CPS บริเวณที่สองห่างจากยอดดอยเปลือกมักไปทางตะวันตกประมาณ 1 กิโลเมตร	37-40
3.11 (ก และ ช) แสดงหินแกรนิตที่โผล่เหนือผิวดิน เช่น ที่ปราภูในบริเวณ สถานี E209 สถานี F215 และสถานีอื่น ๆ ในบริเวณใกล้เคียง	41
4.1 แสดงรูปแบบการติดตั้งแผ่นเซลลูลาสในเขต ณ สถานีสำรวจต่าง ๆ	46
4.2 ค่อนทั่วความหนาแน่นร้อยกiloเมตรอัลฟ่าในหน่วย $t/cm^2.d$ ในบริเวณแรกติดกับสถานีที่ทางลักษณะแบบนี้อยู่ด้วยเปลือกมัก	50
4.3 ค่อนทั่วความหนาแน่นร้อยกiloเมตรอัลฟ่าในหน่วย $t/cm^2.d$ ในบริเวณที่สอง ห่างจากยอดดอยเปลือกมักไปทางตะวันตก ประมาณ 1 กิโลเมตร	51
4.4 ผลการซุ่มร่องแสดงสายความตึงที่มีแร่ทอร์เบอร์ไนต์แทรกอยู่ ตามรอยแตกและฉบับตามผิวช่องความตึง (ก) และการวัด กั้นแม่น้ำพังสีในร่องหลังจากนำมวลลินแร่ออกไปแล้ว (ช)	52
4.5 แผนภาพการเชื่อมโยงของวงจรภายในเครื่องวัดก้าชเรดอน	56

รูปที่		หน้า
4.6	แสดงการวัดอนุภาคอัลฟ่าจากเกรตตอนโดยอาศัยเครื่องมือที่ใช้หัวดแบบชอตกีแบบเรียร์	57
4.7	ແນທີຄອນຫ້າງຮັງສືອັລົພາຈາກເຣດອນໃນບຣິເວສສັກນີ້ M208 ກາຍໜັງທີ່ຊຸດເຄມາລືນແຮ່ອກໄປເລົາໃນໜ່າຍຈຳນວນເທົ່າຂອງຄໍາແບຄກຮາດ	58
5.1	ຮູບຕັດຂາວງແສດງສ໘ມຸດສູານຂອງສາຍຄວອຮັບແຕກທັກທີ່ແຮ່ຢູ່ເຮັດເກີດແທກ	60
5.2	(ກ) ຮູບຄ່າຍ SEM ຂອງເນັດກອ່ວນເບອຣິນິຕ് (MTN) ທີ່ມີລັກຄະເປັນແຜ່ແນນຮາບຂ້ອນກັນ (ຂ) ຮູບພາຍໃນເນັດກອ່ວນເບອຣິນິຕ് ຈາກຮູບ (ກ) ແສດງຮາຍລະເອີດເພີ່ມເຫັນ	62
5.3	Spectra ຂອງຫາຕຸຕ່າງ ອີ່ທີ່ເປັນໃນແຮ່ຢູ່ເຮັດເນັຍມສີເຊີຍວິເຄຣະນ ໂດຍ energy dispersive X-ray spectrometer	63
5.4	ຮູບຄ່າຍ SEM ຂອງ smoky quartz (QZ)	64
5.5	Spectra ຂອງຫາຕຸຕ່າງ ອີ່ທີ່ເປັນໃນຄວອຮັບໜິດ smoky quartz ວິເຄຣະນໂດຍ energy dispersive X-ray spectrometer	65

## บทที่ 1

### บทนำ

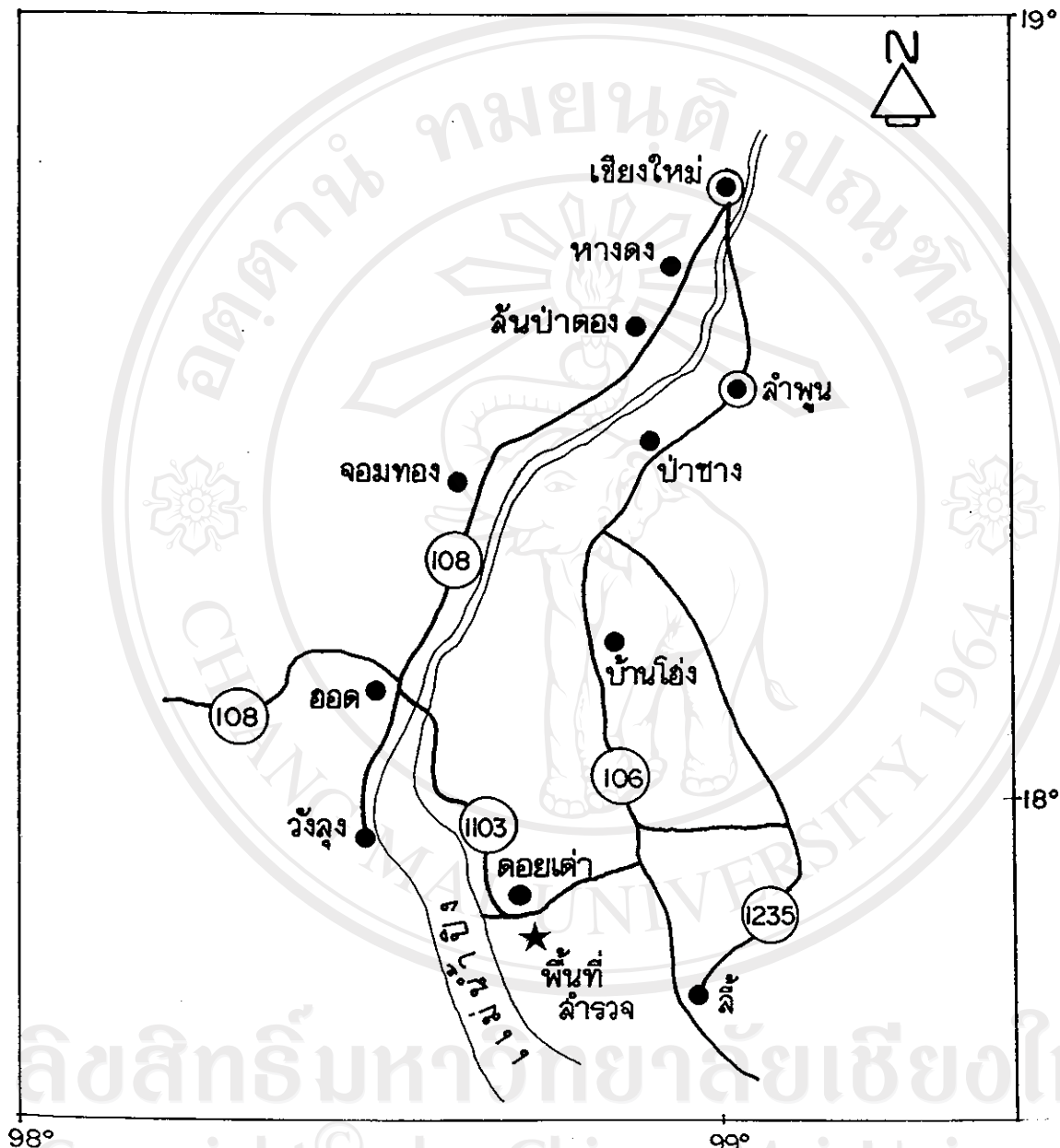
#### 1.1 ความเป็นมา

ชูเรนี้ยมฉบับเป็นแหล่งเชือเพลิงตามธรรมชาติที่มีความสำคัญยิ่ง แม้ว่าปัจจุบันประเทศไทยยังไม่ได้ใช้ประโยชน์จากเชือเพลิงชนิดนี้ ดังเช่น ในหลาย ๆ ประเทศ แต่การสำรวจเพื่อเสาะหาแหล่งแร่ยูเรเนียมภายในประเทศ ก็เป็นสิ่งจำเป็นเช่นเดียวกับการสำรวจหาแหล่งพลังงานอื่น ๆ การสำรวจแหล่งแร่ยูเรเนียมในประเทศไทย ได้เริ่มมาตั้งแต่ปี พ.ศ. 2513 เมื่อกองทรัพยากรธรณ์ได้สำรวจพบแร่ยูเรเนียมเกิดร่วมกับแร่ทองแดงในหินทรายเป็นครั้งแรก ณ บริเวณหุบเขาประทุมที่หมู่ 1 ในแขวงภูเวียง อำเภอภูเวียง จังหวัดขอนแก่น ในปลายปี พ.ศ. 2518 กองทรัพยากรธรณ์ได้เริ่มสำรวจหาข้อมูลเบื้องต้นเกี่ยวกับแร่ยูเรเนียมโดยเฉพาะเป็นครั้งแรก ต่อมาได้ทำการสำรวจขั้นรายละเอียด ณ บริเวณอ่องภูเวียง โดยวิธีการทางธรณีวิทยา ธรณีฟิสิกส์ เรติโอมแตริก จนถึงปัจจุบัน จึงสำรวจเพื่อหาปริมาณสำรองของลิฟแร่ยูเรเนียม รวมทั้งลิฟ 201 หลุม ซึ่งพบแร่ที่ระดับความลึกต่าง ๆ กัน อย่าง ไรก็ตามแหล่งแร่ยูเรเนียมดังกล่าวมีขนาดและปริมาณน้อยยังไม่มีคุณค่าในเชิงพาณิชย์ นอกจากบริเวณอ่องภูเวียงแล้ว ยังมีการสำรวจแร่ยูเรเนียมในที่น้ำทรายชุดโคราช ซึ่งแผ่กระจายอย่างกว้างขวางในภาคอีสาน มีการสำรวจในบริเวณเมืองพลูอโกร์ตบางแห่งในภาคเหนือ เป็นต้น (Inthuputi, 1971; Inthuputi and Suwansing, 1978; Potisat and Gunnaleka, 1982; วรรณชัย สายสุข, 2529)

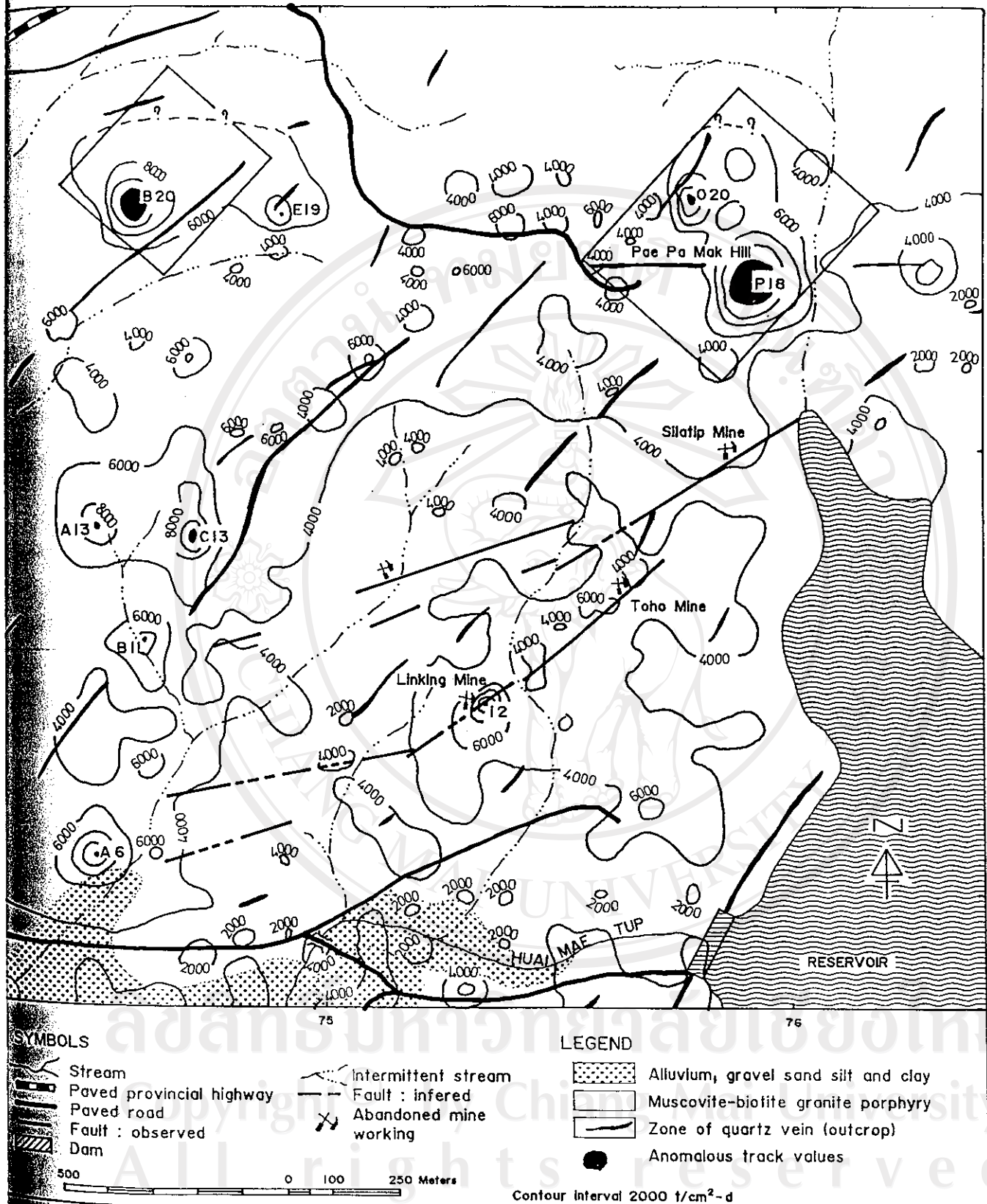
สำหรับการสำรวจแร่ยูเรเนียมในบริเวณเมืองพลูอโกร์ตนั้น บริเวณที่น้ำสนใจที่สุดคือบริเวณเมืองลิงคกัง ซึ่งเป็นเมืองร้าง ออยู่ใกล้กับบ้านดอยเต่า หมู่ที่ 4 หรือเรียกอีกชื่อว่าบ้านนิมพลี อำเภอคอคอยเต่า จังหวัดเชียงใหม่ (รูปที่ 1.1 และรูปที่ 1.4) Potisat and Gunnaleka (1982) ได้ทำการสำรวจบริเวณนี้โดยการทำแผนที่สายคาดาร์ซ และควรต์ฟลูอโกร์ต

คลุ่มพื้นที่ร้าวนึงตารางกิโลเมตร สำรวจเดินโอดometrik โดยการวัดรังสี gamma ที่ทุก ๆ ระยะ 20 เมตร ซึ่งพบค่ารังสีสูงสุดในบริเวณสายฟลูออิร์ตที่มีสีน้ำเงินแก่เกือบดำ และมีไฟร์ตปันอยู่สูง แต่ห่างจากบริเวณสายแร่นี้ออกไปเพียงเล็กน้อย ค่ารังสีที่วัดได้จะลดลงอย่างรวดเร็ว จากนั้นได้ทำการจำสำรวจวนทั้งล้วน 7 หลุม ผลจากการยั่งชาร์ตวิรังสี gamma (gamma ray logging) ในหลุม จะเห็นว่าค่าผิดปกติขนาดสูงปานกลาง ในบริเวณแคบ ๆ ซึ่งสอดคล้องกับบริเวณรอยแตกกรอยเลื่อนในสายฟลูออิร์ตสีน้ำเงิน ภาระค่าปริมาณยูเรเนียมในบางด้วยจากสายฟลูออิร์ตตั้งกล่าว พบว่ามีค่าสูงสุด 2587 ppm จากผลการสำรวจจะครั้งนั้นได้มีข้อสรุปว่าค่าผิดปกติรังสี gamma ที่พบมีขนาดเล็กกว่าที่จะแสดงถึงแหล่งแร่ยูเรเนียมที่มีคุณค่าในทางเศรษฐกิจ จึงได้หยุดการสำรวจ

เนื่องจากการสำรวจในบริเวณแม่น้ำองลิงค์กังดังกล่าวข้างต้น ครอบคลุ่มพื้นที่เพียงประมาณหนึ่งตารางกิโลเมตร ดังนั้นในปี พ.ศ. 2531 กิตติชัย วัฒนาภิกร และคณะ จึงได้ทำการสำรวจในบริเวณนี้อีกครั้งหนึ่ง โดยขยายขอบเขตการสำรวจให้ครอบคลุ่มพื้นที่ร้าว 4 ตารางกิโลเมตร และเพิ่มการวัดก้าชเรดอนให้ผิดินเข้ามาในกระบวนการสำรวจด้วย โดยให้ระยะห่างระหว่างสถานีตรวจวัดก้าชเรดอน ห่างกัน 50 เมตร ในบริเวณใจกลางพื้นที่สำรวจคือบริเวณแม่น้ำองลิงค์กังและบริเวณใกล้เคียง แต่ให้ระยะห่างระหว่างสถานีเป็น 100 เมตร ในบริเวณรอบนอกของพื้นที่สำรวจ รวมสถานีตรวจวัดก้าชเรดอนทั้งล้วน 431 สถานี จากการสำรวจพบค่าสูงผิดปกติของความหนาแน่นร้อยอนุภาคอัลตราจากก้าชเรดอนใน 9 บริเวณ (รูปที่ 1.2) โดย 3 บริเวณมีค่าสูงผิดปกติมาก คือประมาณ 5–13 เท่าของค่าแบนคกราวด์ (background) ซึ่งได้แก่ตัวแหน่งสถานี B20 สถานี i2 และสถานี P18 เมื่อทำการตรวจสอบบริเวณที่มีค่าผิดปกติสูงที่สุดที่สถานี P18 ซึ่งอยู่ห่างจากยอดดอยแบป้อมกไปทางตะวันออกประมาณ 200 เมตร หรือห่างจากแม่น้ำองลิงค์กังมาทางตะวันออกเฉียงเหนือราวนึงกิโลเมตร พบสายคาวอร์ตซ์เล็ก ๆ หนาประมาณ 10 เซนติเมตร โผล่พ้นผิวดินให้เห็นやすูงประมาณ 1–2 เมตร วางตัวในแนวประมาณ NE-SW (รูปที่ 1.3) ในสายคาวอร์ตซ์พบแร่กัมมันตรังสีซึ่งต่อมากพบว่าเป็นแร่ยูเรเนียมทุติยกมิชนิดกอร์เบอร์ในต์ (torbernite) มีสมการเคมีอยู่ในรูปของ  $[Cu(UO_2)_2(PO_4)_2 \cdot 8-12H_2O]$  แร่ดังกล่าวมีลักษณะเป็นคราบและจุดประสีเขียวอมเหลือง ดูตามผิวและรอยแตกของคาวอร์ตซ์ เมื่อนำตัว



รูปที่ 1.1 เส้นทางเข้าสู่พื้นที่สำรวจบริเวณบ้านดอยเต่า หมู่ที่ 4 หรือบ้านกินพลี  
อ.ดอยเต่า จ.เชียงใหม่



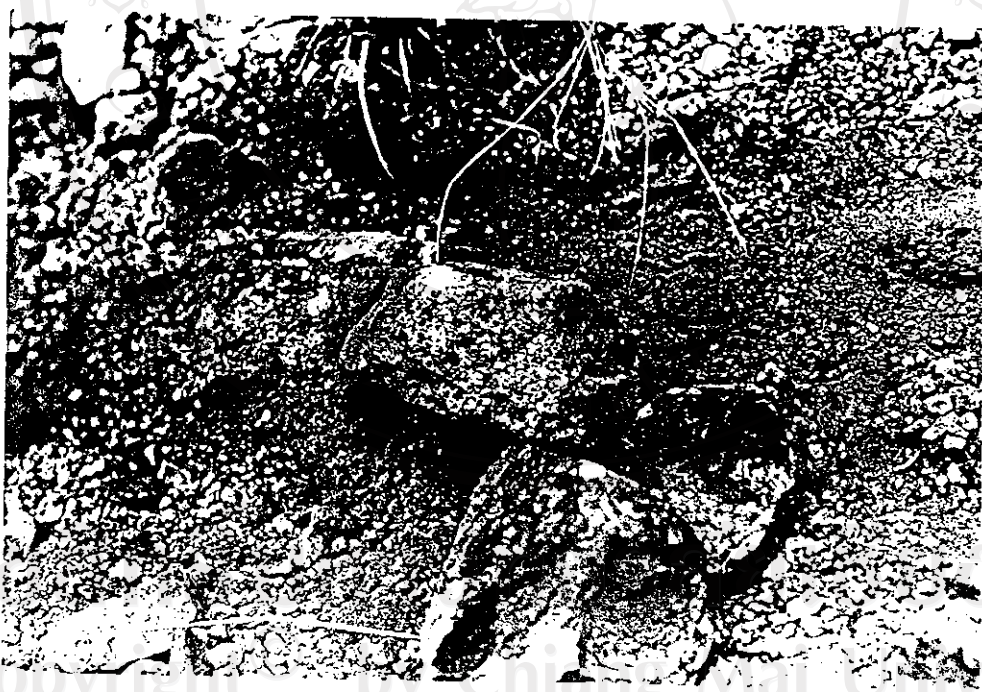
รูปที่ 1.2 แผนที่คุณทั่ว์แสดงบริเวณที่มีค่าความหนาแน่นรอยคลุมน้ำคือลพานสูงผิดปกติ 9 บริเวณ

ซึ่ง 2 บริเวณ ครอปคลุมสกานี P18 และสกานี B20 (ตามที่ตีกรอบ) ถูกเลือกเพื่อ

ศึกษาขั้นรายละเอียดในการสำรวจครั้งนี้



(ก)



(ข)

รูปที่ 1.3 สภาพของพื้นที่ที่พบสายค่าอุณหภูมิซึ่งมีแร่ทอร์เบอร์ไนต์แทรกตามรอยแตก และฉาบตามผิว (ก) และลักษณะของสายค่าอุณหภูมิซึ่งดังกล่าวโผล่ให้เห็นบนผิวดิน (ข)

อย่างที่มีแร่เป็นอยู่ในวิเคราะห์นาปรินามัลย์เรเนียมอย่างหมาย ๆ โดยวิธีแกมมาเรย์สเปกโตรเมตري (gamma ray spectrometry) พบปรินามัลย์เรเนียมเป็น 1, 1.2 และ 14.2 เปอร์เซ็นต์ตามลำดับ คาดว่าแร่ทอร์เบอร์ไวน์บิเวณนี้เกิดจากการตกผลึกโดยสารละลายอุณหภูมิต่ำที่มีอุณหภูมิของ  $U^{+6}$  และ  $Cu^{+2}$  เจือปนอยู่ ดังนั้นชนิดของแหล่งแร่อาจเป็นแหล่งแร่น้ำร้อนอุณหภูมิต่ำ (low temperature hydrothermal deposits) หรือแหล่งแร่ແນกแทรกซึม (infiltration deposits) โดยที่ชาติยูเรเนียมและทองแดงในสารละลายน้ำแร่อาจได้มาจากการชะล้าง (leaching) ของปรินามัลย์เรเนียมและทองแดงที่มีอยู่เป็นส่วนน้อยในน้ำหินแกรนิตบริเวณนั้น อย่างไรก็ได้แร่ยูเรเนียมทุกตัวมีอาจเกิดจากการสลายตัวของแร่ยูเรเนียมปูมภูมิที่อาจมีอยู่ในสายคาวอร์ช์บริเวณนี้ได้

สำหรับบริเวณที่มีค่าความหนาแน่นร้อยอนุภาคอัลฟาราก้าซ์редอนสูงผิดปกติมากอีกสองแห่งอยู่ที่เหมืองลังคกิ้ง ที่สถานี 12 และในที่อุโมงค์ห่างจากยอดดอยแบปอ้มกมทางตะวันตกประมาณหนึ่งกิโลเมตรที่สถานี B20 ที่สถานี 12 บริเวณเหมืองลังคกิ้งนั้น Potisat and Gunnaleka (1982) ได้พบแร่ยูเรเนียมในสายพลูอุ่นริสเมิร์วั่งแก่ดังได้กล่าวไปแล้ว แต่ที่สถานี B20 นั้น จากการตรวจสอบในเบื้องต้นของกิตติชัย วัฒนานิกร และคณะ ไม่ปรากฏว่าพบแร่ยูเรเนียมในบริเวณนี้แต่อย่างใด (Wattananikorn et al., 1990)

อย่างไรก็ตามเนื่องจากการวางแผนสำรวจดำเนินสถานีตรวจวัดก้าซ์редอนในการศึกษาของกิตติชัย และคณะในปี พ.ศ. 2531 นั้น วางไว้ห่างกันโดยเฉพาะในบริเวณรอบนอกของพื้นที่ศึกษาโดยวางไว้ห่างกันถึง 100 เมตร ทั้งนี้ เพราะเป็นการสำรวจเบื้องต้นโดยต้องการให้ครอบคลุมพื้นที่กว้างขวาง ดังนั้นผลการสำรวจครั้งนี้จึงยากที่จะใช้กำหนดสายแร่ ตลอดจนขอบเขตและทิศทางการวางแผนได้อย่างครบถ้วนและเอียดซัดเจน จึงจำเป็นที่จะต้องสำรวจขั้นรายละเอียดเพิ่มเติมเพื่อติดตาม กำหนด ตลอดจนศึกษาและตรวจสอบคุณภาพของสายแร่ในบริเวณดังกล่าวในเชิงของแหล่งแร่ยูเรเนียมต่อไป

จากการสำรวจเบื้องต้นในปี 2531 พบว่าบริเวณที่นำเสนอในฉบับนี้และควรจะได้มีการสำรวจขั้นรายละเอียดเพิ่มเติมมีสองบริเวณคือที่สถานี P18 และที่สถานี B20 ดังนั้นในการสำรวจขั้นรายละเอียดครั้งนี้จึงกำหนดพื้นที่ศึกษาเป็น 400x500 ตารางเมตร และ 300x350 ตารางเมตร

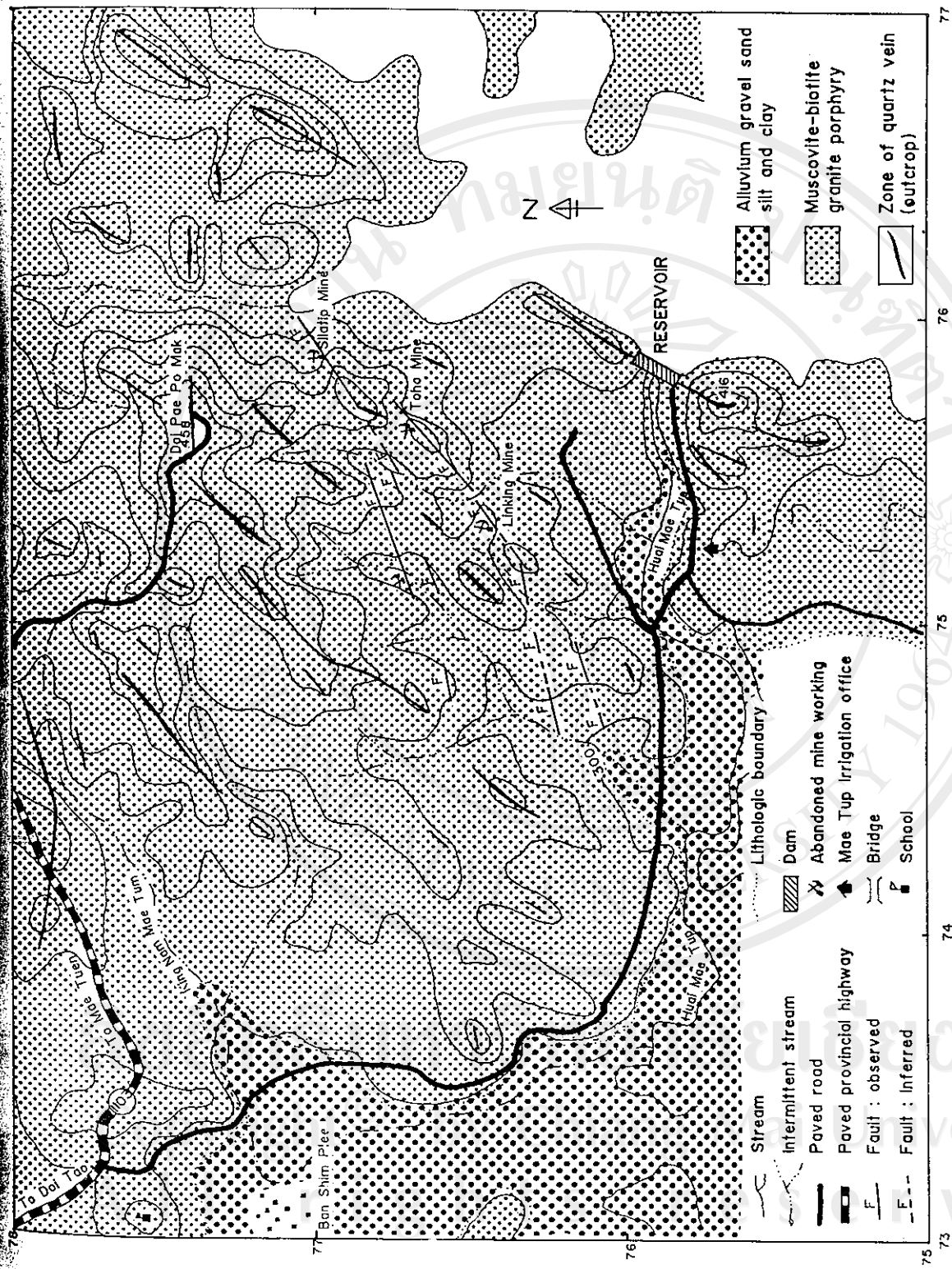
ครอบคลุมสถานี P18 และ B20 ตามลำดับ ตั้งแสดงไว้ในรูปที่ 1.2 ส่วนที่สถานี 12 นั้น แม้ว่ามีค่าความหนาแน่นรอยอนุภาคอัลฟ่าสูงผิดปกติ แต่เนื่องจากได้มีการสำรวจขั้นรายละเอียดไปแล้วโดย Potisat and Gunnaaleka (1982) ประกอบกับรายละเอียดห่วงสถานีที่ตรวจวัดก้าชเรดอนในการสำรวจเมื่อปี พ.ศ. 2531 ที่กำหนดไว้เพียง 50 เมตรในบริเวณดังกล่าว ดังนั้นจึงไม่ได้ทำการสำรวจขั้นรายละเอียดในบริเวณสถานี 12 หรือบริเวณเนื้องลังค์กึ้งซึ่งออก

### 1.2 ตำแหน่ง ทิศ และสภาพภูมิประเทศของพื้นที่สำรวจ

พื้นที่สำรวจอยู่ในบริเวณดอยแปบอมัก และบริเวณใกล้เคียงในเขตบ้านดอยเต่า หมู่ที่ 4 หรือบ้านคิมพลี อำเภอตดอยเต่า จังหวัดเชียงใหม่ ซึ่งอยู่ในແນทึกภูมิประเทศไทยของกรมแผนที่ทหาร ขนาดมาตราส่วน 1:50,000 ระหว่างอำเภอี้ หมายเลข 4744 I และระหว่างบ้านวังหลวง หมายเลข 4744 IV พิกัดของยอดดอยแปบอมัก ซึ่งเป็นทิ้งของสถานีทวนสัญญาณขององค์กรการโทรทัศน์แห่งประเทศไทย อยู่ที่เส้นรุ้ง  $18^{\circ} 53' 05''$  N และเส้นแบ่ง  $98^{\circ} 46' 12''$  E (grid 774755) พื้นที่สำรวจบริเวณครอบคลุมพื้นที่ 400x500 ตารางเมตร ทางด้านตะวันออกของยอดดอยแปบอมัก สำหรับพื้นที่สำรวจบริเวณที่สอง ครอบคลุมพื้นที่ 300x350 ตารางเมตร ห่างจากยอดดอยแปบอมกมาทางตะวันตกกว่า 1 กิโลเมตร ตั้งแสดงในรูปที่ 1.2

เส้นทางเข้าสู่พื้นที่สำรวจ สามารถเดินทางจากจังหวัดเชียงใหม่ ไปทางทิศใต้โดยทางหลวงแผ่นดินหมายเลข 108 (เชียงใหม่-แม่สene-เรียง) แยกเข้าสู่ทางหลวงจังหวัดหมายเลข 1103 (ยอด-ดอยเต่า-แม่ตีน) บริเวณอำเภอตดอยเต่า ตั้งแสดงในรูปที่ 1.1 ถนนเส้นนี้จะผ่านเข้าสู่อำเภอตดอยเต่า หลังจากนั้นจะผ่านบ้านดอยเต่าหมู่ที่ 4 หรือบ้านคิมพลี เลยจากทางแยกเข้าบ้านคิมพลีไปประมาณ 2 กิโลเมตร บนทางหลวงหมายเลข 1103 จะมีทางแยกด้านขวาเมื่อขึ้นสู่สถานีทวนสัญญาณขององค์กรการโทรทัศน์ ซึ่งตั้งอยู่บนยอดดอยแปบอมัก

ลักษณะภูมิประเทศโดยทั่วไปของบริเวณนี้ เป็นลักษณะเนินเขาไม่สูงมากนัก (รูปที่ 1.4 และ 1.5) ลักษณะสันเขาระหว่างยอดดอยแปบอมัก มีระดับความสูง 458 เมตรเหนือระดับน้ำทะเล มีป่าไม้เต็ย ๆ เป็นป่าปรงผลัดใบ มีไม้พุ่มชั้นปะปน



**รูปที่ 1.4** สังฆะภัยมิประ เทศ และสังฆะจะ รวมตัวทบทวนของผู้ที่สำราญและปรีเวชในกลุ่มเดียว (ซึ่งห่างจาก  
สันนิบาตศัลศักดิ์ความสูงเท่ากับ 20 เมตร)



รูปที่ 1.5 สาหร่ายมีประเทศของแพลงก์โนฟลังก์ (1) และยุติธรรมบูลังก์ (2) ท่ามกลาง  
แสงส่องอ่างเก็บน้ำท่าวเมือง

ซึ่งเป็นป่าแบบเขตเมืองร้อนสะวันนา (savanna) มีทางน้ำที่สำคัญในลุ่มน้ำคือห้วยแม่ตูบทางตอนใต้ของพื้นที่สำรวจ ปัจจุบันได้มีการสร้างอ่างเก็บน้ำห้วยแม่ตูบของกรมชลประทาน สำหรับพื้นที่สำรวจห้วยสองบริเวณคือด้านตะวันออกของยอดดอยเปลบอมกคลุ่มสถานี P18 และด้านตะวันตกของยอดดอยดังกล่าวคลุ่มสถานี B20 เป็นพื้นที่ลาดชัน มีความชันประมาณ 1:4 แม้จะมีลำห้วยไหลผ่านพื้นที่สำรวจห้วยสองแต่จะมีน้ำในลำห้วยเฉพาะช่วงที่ฝนตกซึ่งเท่านั้น

ลักษณะภูมิอากาศในบริเวณนี้ มีฝนตกและแห้งแล้งช่วงละประมาณ 6 เดือน ในฤดูหนาวมีอากาศค่อนข้างเย็น อุณหภูมิต่ำสุดโดยเฉลี่ยจะอยู่ในราวเดือนมกราคมและสูงสุดในเดือนเมษายน ในฤดูฝนได้รับมรสุมซึ่งพัดมาจากทางตอนใต้นำเข้าความชื้นเข้มมากเป็น倍 โดยเริ่มตั้งแต่เดือน พฤษภาคมจนถึงเดือนพฤษจิกายน

**ลิขสิทธิ์มหาวิทยาลัยเชียงใหม่**  
**Copyright<sup>©</sup> by Chiang Mai University**  
**All rights reserved**

## บทที่ 2

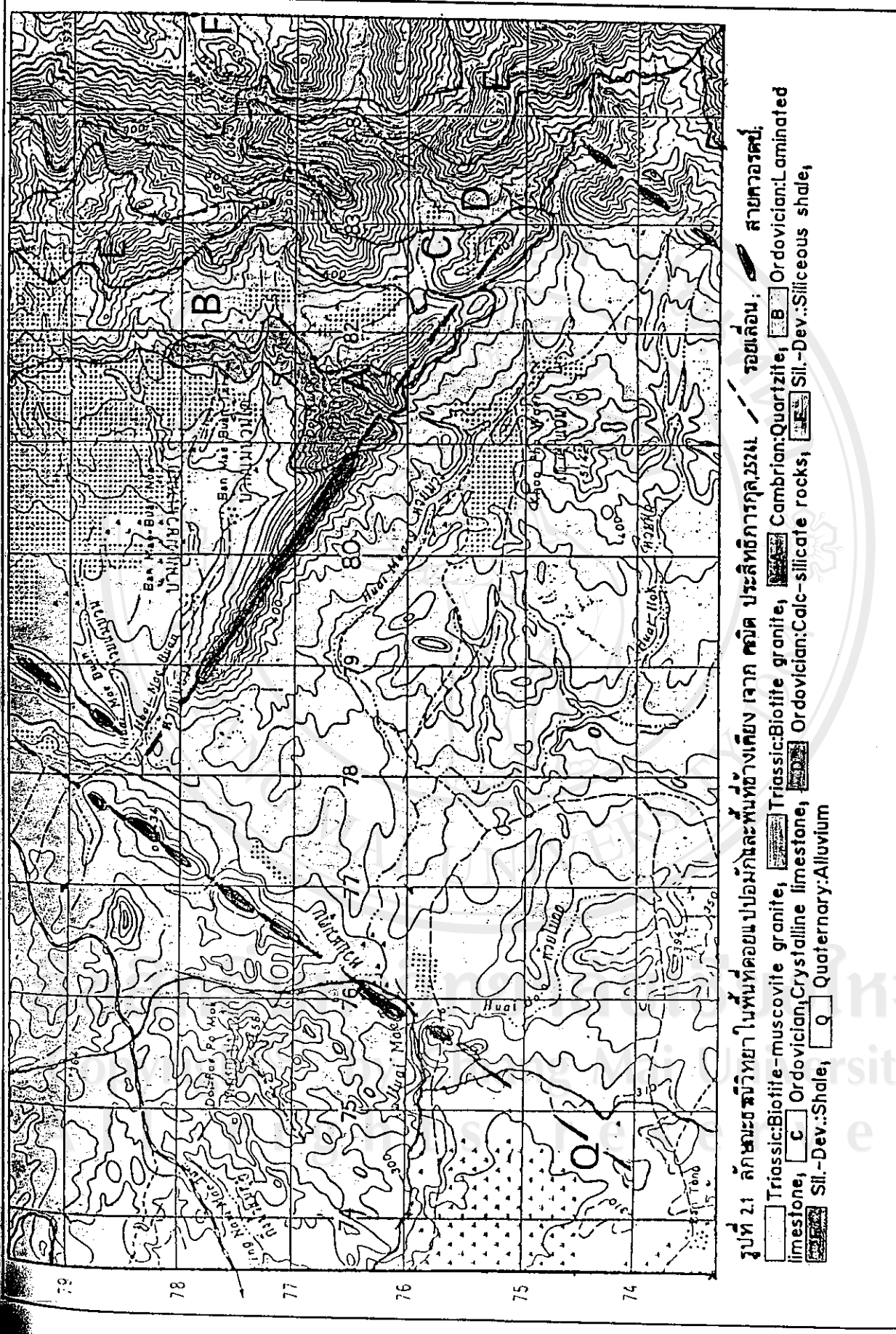
### สารภูมิวิทยาของหินที่สำราญ

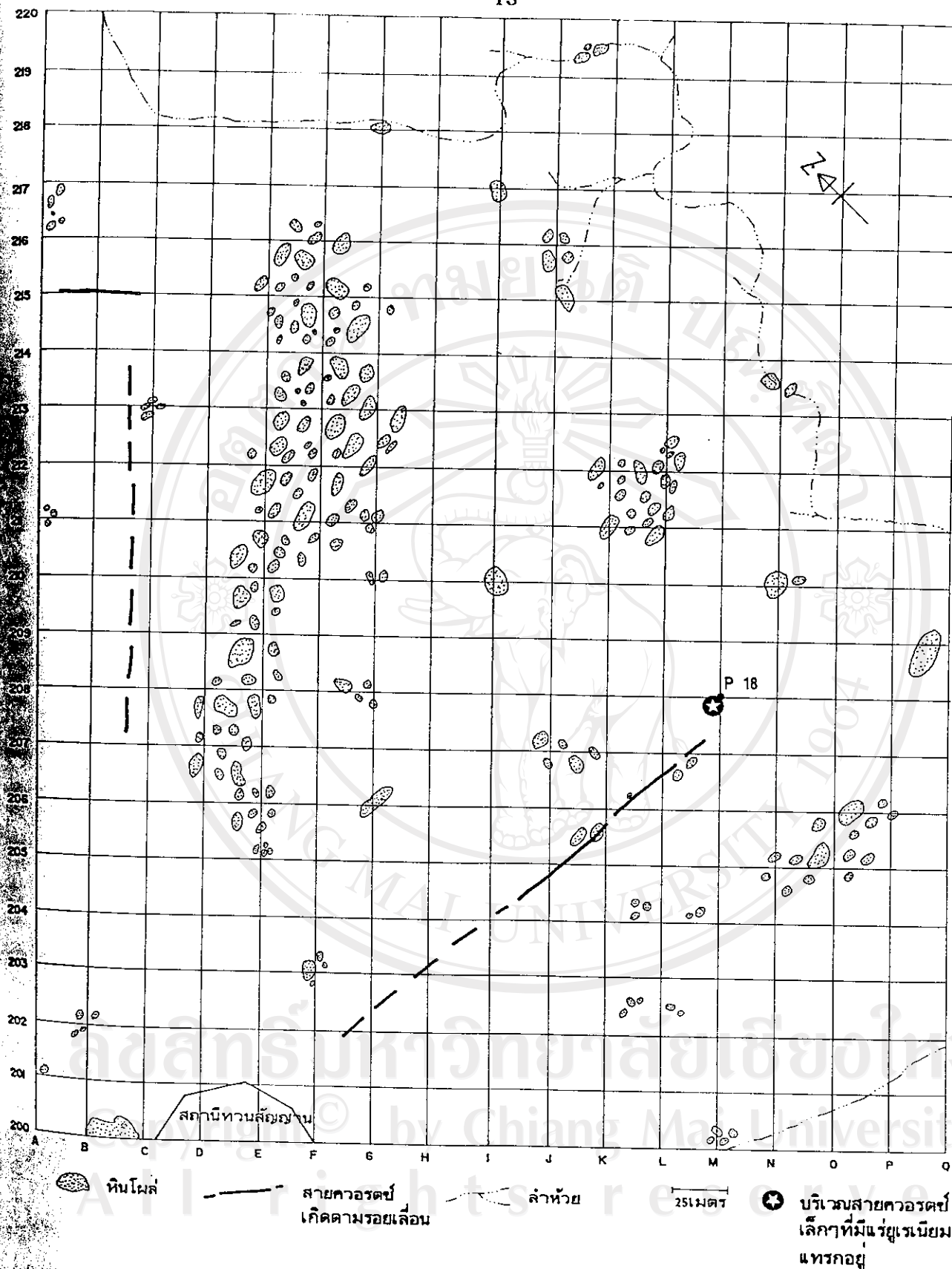
สภาพธรณีวิทยา โดยทั่วไปของหินที่สำราญบริเวณดอยเปป้มัก และบริเวณใกล้เคียงได้แสดงไว้ในรูปที่ 1.4 และรูปที่ 2.1 ซึ่งเป็นผลจากการศึกษาของ Von Braun et al., 1976; คณิต ประสาติอุการกุล และคณะ, 2524; Potisat and Gunnaleka, 1982; กิตติชัย วัฒนา-นิกร และคณะ, 2531.

หินส่วนใหญ่ในหินที่สำราญเป็นหินมัสโค ไวต์-ไบโอลิทแกรนิต ที่มีขนาดปานกลางถึงหิน รอยเลื่อน (fault) รอยแยก (joint) และรอยแตก (fracture) ที่เกิดขึ้นภายในหินทำให้เกิดช่องว่างในหินแกรนิตเป็นช่องทางของน้ำร้อน นำเอาเชื้อราตามทางเดินกลับเป็นสายควอตซ์ที่พุ่งทั่วไปในหินที่สำราญ

#### 2.1 ลักษณะหิน

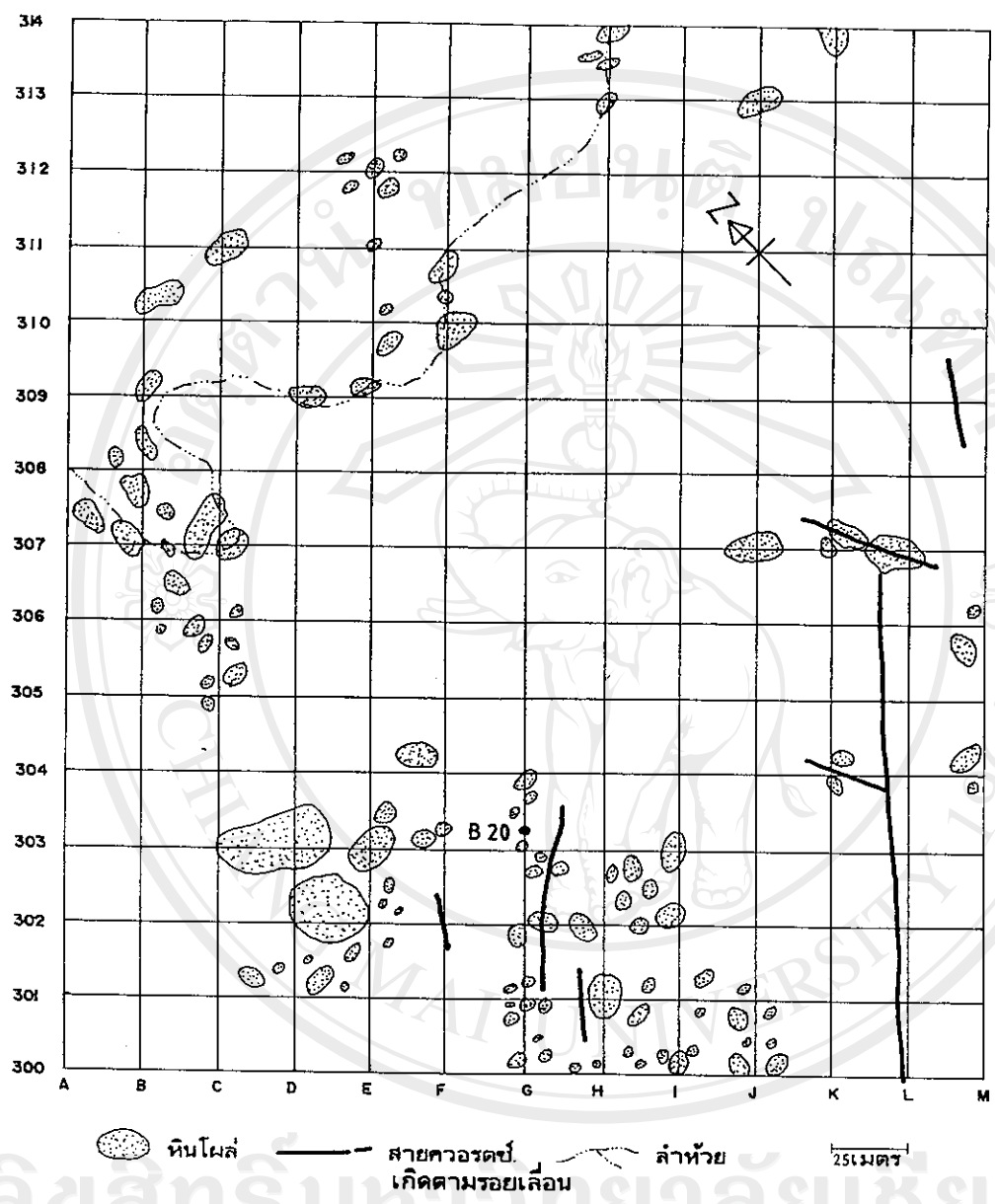
หินแกรนิตในหินที่สำราญมีอายุ  $236 \pm 14$  ล้านปี (Von Braun et al., 1976) จัดอยู่ในช่วงยุคไทรแอสซิก (Triassic Period) หินแกรนิตที่ผลิต (รูปที่ 2.2 และรูปที่ 2.3) ส่วนใหญ่จะมีลักษณะหินโพลี่ เป็นลิ้นชาลาลเหลือง แต่ถ้าสัดจะมีลักษณะเนื้อหิน (texture) แบบผลึกสองขนาด (รูปที่ 2.4) มีขนาดโดยทั่วไปปานกลางถึงหิน (medium-to course-grained) โดยมีโพแทส-เฟลต์สปาร์ (K-Feldspar) เป็นแร่ดอก (phenocryst) ลักษณะแห่งรูปรสีเหลืองมีน้ำ汽 มีขนาดโดยเฉลี่ย  $1 \times 1.5$  เซ้นติเมตร ส่วนแร่ที่ล้อมรอบขนาดเล็กกว่า (groundmass) ซึ่งมีขนาดประมาณ 0.3-0.5 เซ้นติเมตร ประกอบด้วย ควอตซ์ (quartz) มัสโค ไวต์ (muscovite) ไบโอลิท (biotite) และแพลจิโอเคลสเฟลต์สปาร์ (plagioclase feldspar)





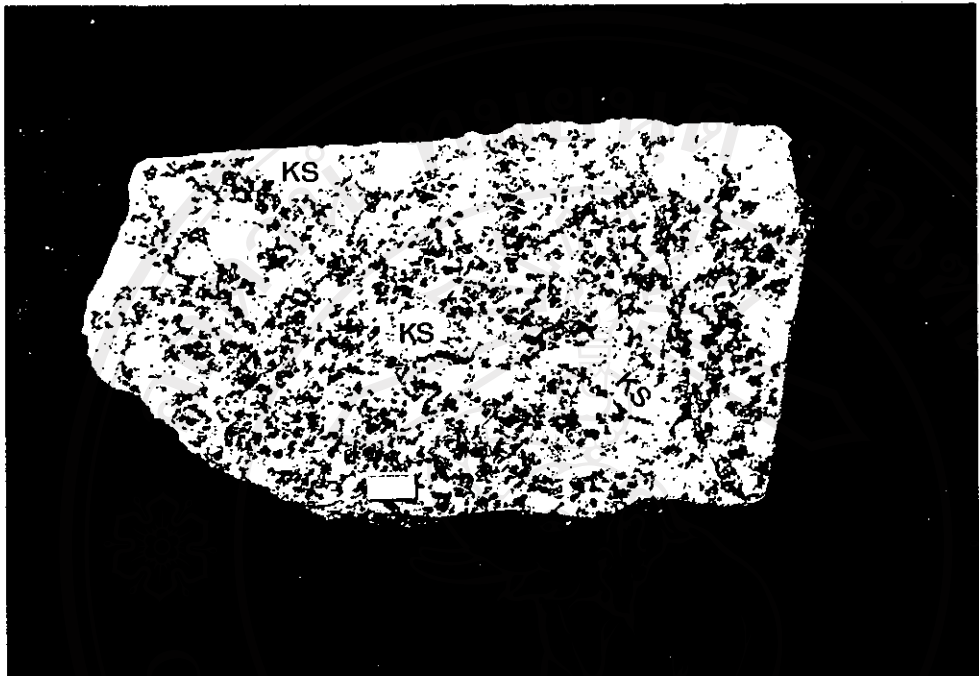
รูปที่ 2.2 ลักษณะธรณีวิทยาของพื้นที่สำรวจชั้นรายละเอียดบริเวณรากติดกับย่อคดอยแปลงมักไปทางตะวันออกเฉียงเหนือ ครอบคลุมพื้นที่ 400x500 ตารางเมตรรอบสถานี P18

ตั้งแสดงในรูปที่ 1.2 (พื้นที่งมหาดเป็นหินแกรนิต)



รูปที่ 2.3 ลักษณะของพืชโนลที่สำรวจขึ้นรายละเอียดบริเวณที่สองซึ่งอยู่ห่างจากยอดดอย

แบบมักไปทางตะวันตกประมาณ 1 กิโลเมตร ครอบคลุมพื้นที่ 300x350 ตารางเมตร  
รอบสถานี B20 ตั้งแสดงในรูปที่ 1.2 (พื้นที่ทั้งหมดเป็นพื้นแกรนิต)



รูปที่ 2.4 แสดงลักษณะเนื้อหินแบบผลึกสองขนาดของหินมัสโคไธ์-ไบโอล่าイト  
แกรนิต บริเวณดอยแปป้มัก แร่ที่มีลักษณะแห่งสีเหลืองผืนผ้าคือ<sup>1</sup>  
โพแทส-เฟล์สปาร์ (KS) แร่สีดำเม็ดเล็ก ๆ คือไบโอล่าイト  
มาตราส่วนแห่งสีขาวเท่ากับ 1 เซ็นติเมตร

เนื้อหินบางบริเวณพบว่ามีการเรียงตัวของแร่ออกโพแทส-เฟล์สปาร์ จากการศึกษาทางศิลปะ  
ภารณา (petrography) ภายใต้กล้องจุลทรรศน์แบบโพลาไรซิงทำให้ทราบว่าหินแกรนิตดังกล่าว  
ประกอบด้วยแร่หลักได้แก่ ควอตซ์ประมาณ 25 เปอร์เซ็นต์โดยปริมาตร โพแทส-เฟล์สปาร์  
(ชนิด microcline และ microcline perthite) ประมาณ 40 เปอร์เซ็นต์โดยปริมาตร  
แฟลจิโอเคลสเฟล์สปาร์ (ชนิด oligoclase) ประมาณ 35 เปอร์เซ็นต์โดยปริมาตร และแร่  
รองที่มีปริมาตรน้อยได้แก่มัสโคไธ์ ไบโอล่าイト และเซอร์คอน (zircon) นอกจากนี้ยังพบว่าใน

ตัวอย่างพิมพ์กรนิตบางตัวอย่างมีลักษณะของการเปลี่ยนสภาพ (alteration) และการเปลี่ยนลักษณะ (deformation) การเปลี่ยนสภาพสังเกตจากแร่บางชนิดเปลี่ยนเป็นแร่อีกชนิดหนึ่งเมื่อมีอุณหภูมิลดลงหรือต่ำกว่า เช่น แฟลจิโอเคลสเพลร์สปาร์ เปลี่ยนสภาพให้แร่ไมกาสีขาวขนาดละเอียด (white mica หรือ sericite) และไบโอลายท์เปลี่ยนสภาพให้คลอไรต์ (chlorite) ในลักษณะบางส่วนของผลึกหรือห้องผลึก นอกจากนี้ยังพบว่า โพแทสเพลร์สปาร์มีการเปลี่ยนสภาพเป็นแรดิน (clay minerals) สำหรับการเปลี่ยnlักษณะสังเกตจากความเปราะ (brittle) ของแฟลจิโอเคลส หรือจากลักษณะของ brittle deformation จากการโค้งตัว (bending) ของผลึกมัสโคไวต์ และจากการมีดแบบไม่สม่ำเสมอ (undulatory extinction) ของโครงสร้างที่ปรากฏให้เห็นภายใต้กล้องจุลทรรศน์

## 2.2 ธรณีวิทยาโครงสร้าง

ลักษณะธรณีวิทยาโครงสร้างในพื้นที่สำรวจและพื้นที่ข้างเคียงที่พบเด่นชัดได้แก่ รอยเลื่อน (fault) และโครงสร้างขนาดเล็กลงมาได้แก่รอยแตก (fracture) และรอยแยก (joint) ซึ่งเกิดทั้งในพิมพ์กรนิตและสายคาวอร์ตซ์

2.2.1 รอยเลื่อน รอยเลื่อนหลัก (major fault) ในบริเวณพื้นที่สำรวจและพื้นที่ข้างเคียง มีทิศทางการวางตัวสองแนวคือประมาณ N30E 70–80SE และ N50W มุ่งเทเกือบตั้งฉาก (รูปที่ 2.1) รอยเลื่อนหลักดังกล่าวแสดงให้เห็นชัดเจนจากลักษณะของการวางตัวเป็นแนวตรงของเส้นคอนทัวร์ของแผ่นที่ 2 และแนวตั้งกล่าวเป็นแนวของสายคาวอร์ตซ์ที่แทรกมามากยังรอยเลื่อนหลักทั้งสองทิศทางจัดให้เป็นแบบรอยเลื่อนตามแนวระดับ (strike-slip fault) (กิตติชัย วัฒนานิกร และคณะ, 2531) จากการเกิดรอยเลื่อนหลักมีการเกิดรอยเลื่อนรอง (minor fault หรือ associated fault) เกิดพร้อม ๆ กัน รอยเลื่อนรองนี้พบว่าเกิดขึ้นในบริเวณพื้นที่สำรวจโดยมีแนวการวางตัวหลักทิศทาง เช่นประมาณ NE-SW, NW-SE และ EW (รูปที่ 2.2 และรูปที่ 2.3)

2.2.2 รอยแตก รอยแตกในบริเวณพื้นที่สำราญสันนิษฐานว่าอาจจะเป็นผลมาจากการอยู่เลื่อนตามแนวระดับ ทำให้ได้รอยแตกแบบที่เรียกว่ารอยแตกพินเนต (pinnate fractures) รอยแตกมีทิศทางการวางตัวประมาณ NE-SW มีมุมเท坪มาก 80-90 SE

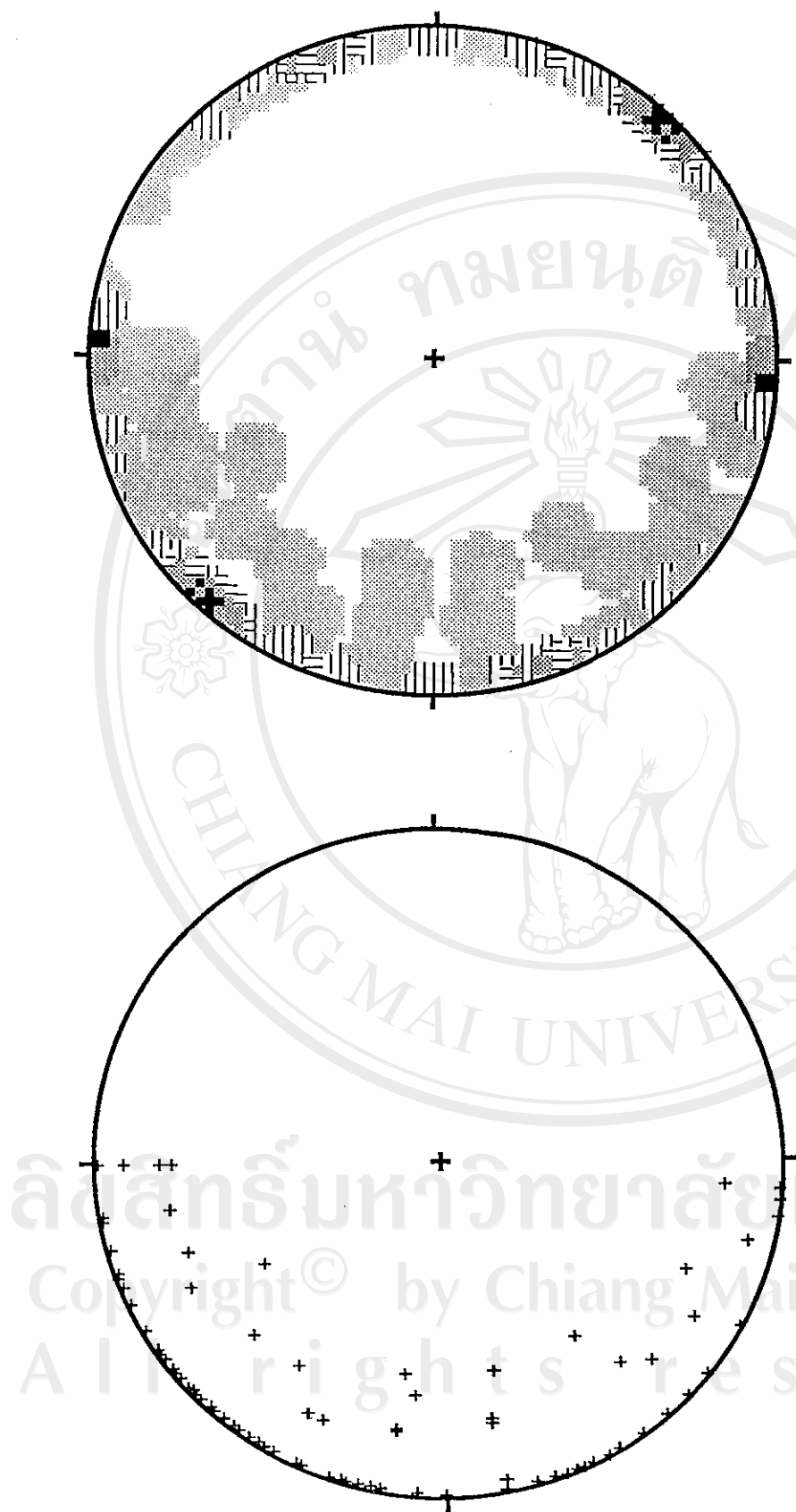
2.2.3 รอยแยก รอยแยกพบทั่วไปในบริเวณพื้นที่สำราญทั้งในหินแกรนิตและสายคาวอร์ทซ์ มีทิศทางการวางตัวของกลุ่มร่องน้ำรอยแยก (joint plane sets) ต่าง ๆ กัน แต่มีมุมเท坪ส่วนใหญ่เกือบตั้งฉากจนถึงตั้งฉาก จากการวัดค่าระนาบรอยแยกในสานมานบริเวณคือในพื้นที่สำราญชั้นรายละเอียดบริเวณรอบสถานี P18 (พื้นที่ 1) พื้นที่สำราญชั้นรายละเอียดบริเวณที่สองรอบสถานี B20 (พื้นที่ 2) และในพื้นที่ติดกับพื้นที่สำราญบริเวณที่สองทางตะวันออกเฉียงชั้นไปทางเหนือ (พื้นที่ 3) แล้วนำมาพล็อตลงบน stereonet แบบ schmidt Equal Area Projection ในลักษณะของโพล (poles) ของร่องน้ำรอยแยกในแต่ละพื้นที่ และนำค่าที่ได้พล็อตเป็นค่อนทัวร์ คิดเป็นเบอร์เซ็นต์ (รูปที่ 2.5 รูปที่ 2.6 และรูปที่ 2.7 ตามลำดับ) เมื่อคิดเป็นพื้นที่ตั้งหมุดโดยนำค่าระนาบรอยแยกทั้งสามพื้นที่มารวมกันแล้วพล็อตโพลและค่อนทัวร์ (รูปที่ 2.8) ทำให้ทราบแนวระนาบรอยแยกหลักของบริเวณโดยแบ่งเป็นมักและบริเวณใกล้เคียง

รอยแยกในพื้นที่ 1 สามารถแยกได้เป็นสองกลุ่มหลัก (รูปที่ 2.5) กลุ่ม 1 เป็นกลุ่มที่เด่นที่สุดมีแนววางตัว N42E 83SE กลุ่ม 2 มีแนววางตัว N87W 85S

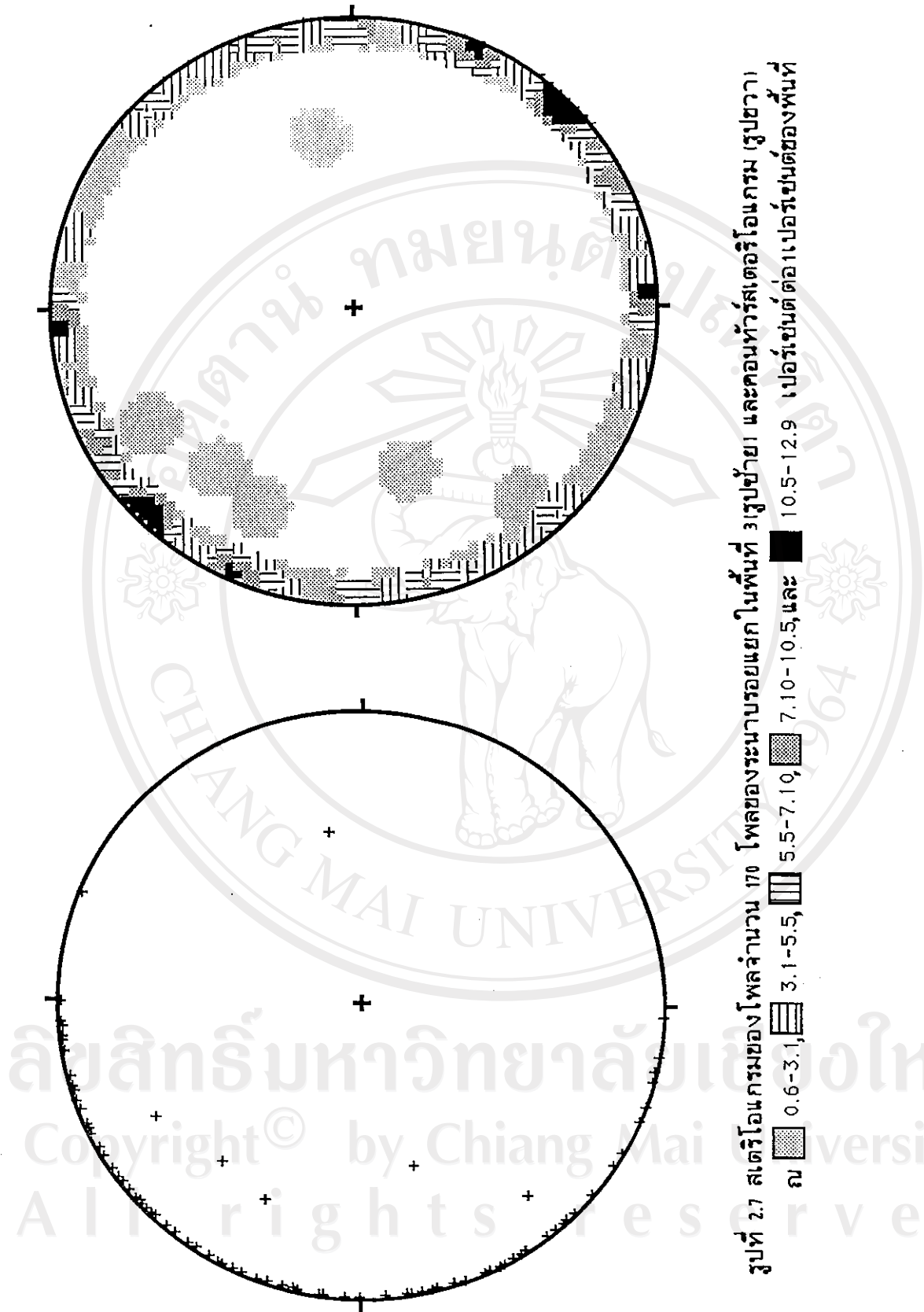
รอยแยกในพื้นที่ 2 สามารถแยกได้เป็นหกกลุ่ม (รูปที่ 2.6) กลุ่ม 1 เป็นกลุ่มที่เด่นที่สุดมีแนววางตัว N37E 85SE กลุ่ม 2 มีแนววางตัว N50W 85SW กลุ่ม 3 มีแนววางตัว N11E 85SE กลุ่ม 4 มีแนววางตัว EW83S กลุ่ม 5 มีแนววางตัว N19W 85W กลุ่ม 6 มีแนววางตัว N5W 86W

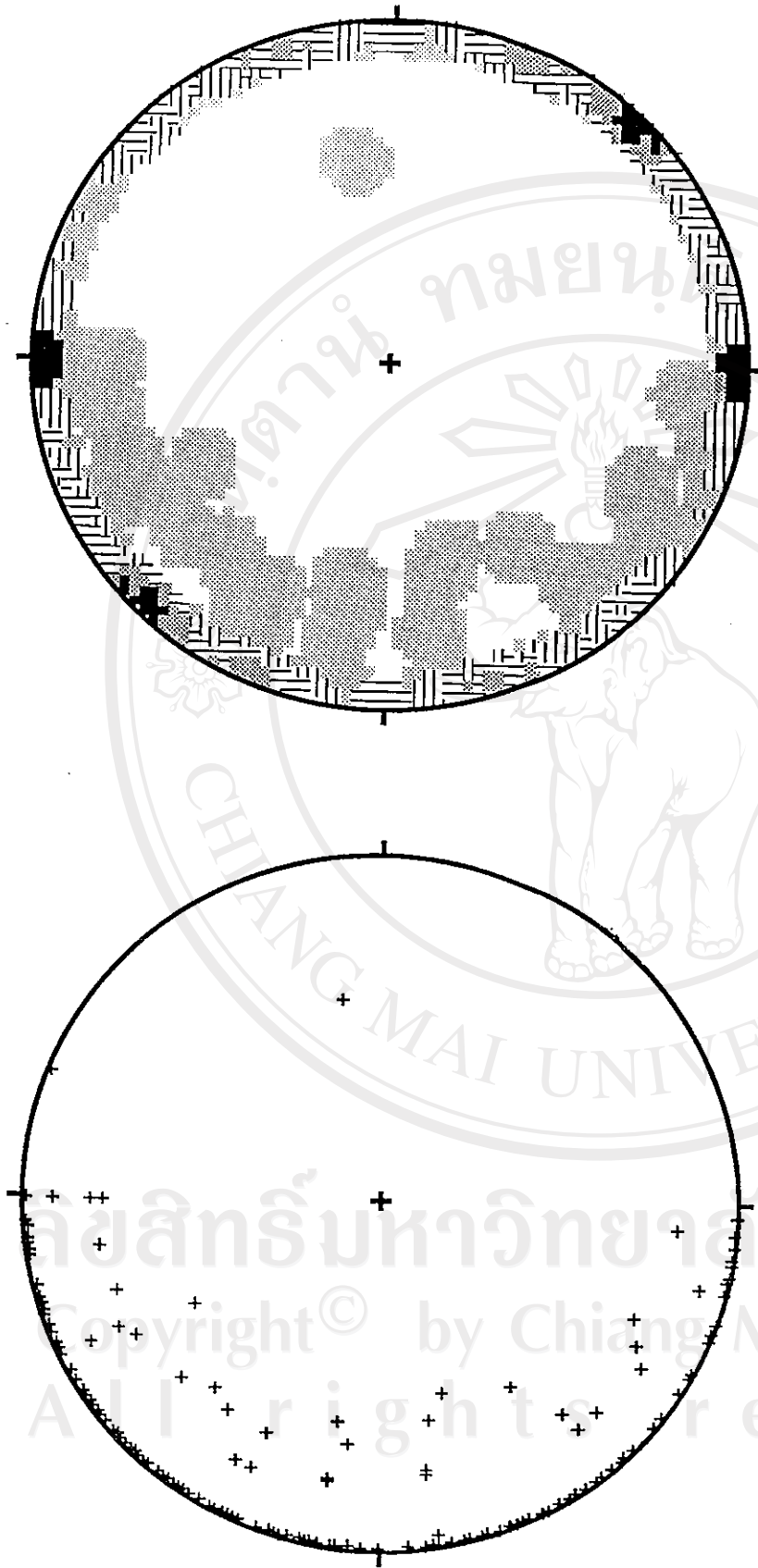
รอยแยกในพื้นที่ 3 สามารถแยกได้เป็นสามกลุ่ม (รูปที่ 2.7) กลุ่ม 1 เป็นกลุ่มที่เด่นที่สุดมีแนววางตัว N45E 83SE กลุ่ม 2 มีแนววางตัว N24E 86SE และกลุ่ม 3 มีแนววางตัว N86E 85S

เมื่อนำข้อมูลของระนาบรอยแยกทั้งสามพื้นที่มาพล็อตรวมกัน เพื่อให้ทราบถึงภาพรวมของพื้นที่ตั้งหมุด ทำให้ทราบว่ารอยแยกหลักแบ่งเป็นสองกลุ่มใหญ่คือ กลุ่ม 1 มีแนววางตัว N45E 84SE และกลุ่ม 2 มีแนววางตัว EW83S (รูปที่ 2.8)



รูปที่ 2.5 ผลการสำรวจพื้นที่ในพื้นที่ 1 รุ่งป่าย และตอนหัวร์สเดือนกุมภาพันธ์  
ผลของการสำรวจพื้นที่ 1 รุ่งป่าย แสดงอย่างระนาบรายแยก ในพื้นที่ 1 รุ่งป่าย และตอนหัวร์สเดือนกุมภาพันธ์  
ณ 0.7-3.3, 0.6-0.6, 5.9-5.9, 3.3-5.9, 11.2-13.8 เป็นเป็นต่อ 1 เปอร์เซนต์ ต่อ 1 เปอร์เซนต์ของพื้นที่





รูปที่ 2.8 สัดส่วนและการของพื้นที่ในพื้นที่ 1.2และ 3 [รูปท้าย] และความกว้างและความยาวของกุ้ง  
รูปช่วง [■ 0.2-2.5, █ 2.5-4.8, ▨ 4.8-7.1, ▨ 7.1-9.3, ■ 9.3-11.6, ▨ 11.6-14.0 เมตร]  
ในรากน้ำต้นของพื้นที่

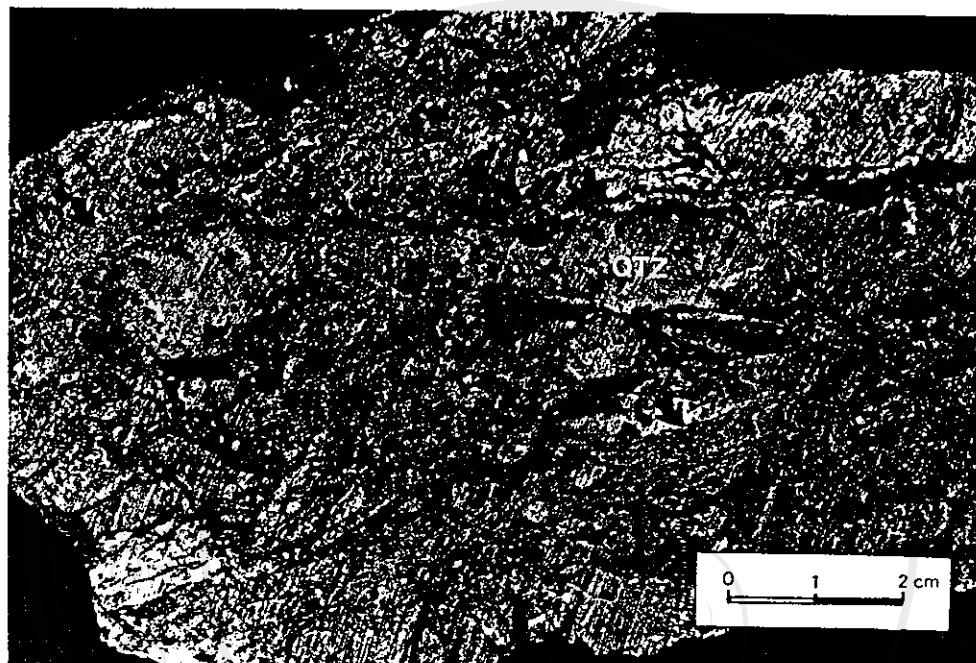
## 2.3 สายคوارตซ์

สายคوارตซ์ที่พบในพื้นที่สำรวจล่าสุดใหญ่ เป็นแบบสีขาวແบ็น้ำนม (*milky quartz*) เนื้อແนنชนาดละ เอียด และส่วนน้อยที่มีเนื้อหินแสดงลักษณะแตก perse และเปลี่ยnlักษณะ (*breciated and deformed quartz vein*) มีลักษณะมากกว่าแบบแรก

สายคوارตซ์ที่พบเกิดกระจายทั่วไป มีขนาดกว้างตั้งแต่น้อยกว่า 1 เซ้นติเมตรถึงมากกว่า 5 เมตร และยาวตั้งแต่มากกว่า 50 เมตร ถึงหลายร้อยเมตร บางแนวยาวเกินกว่า 1 กิโลเมตร (รูปที่ 2.1) มีทิศทางการวางตัวตามทิศทางของรอยเลื่อนและรอยแตก

ในพื้นที่สำรวจชั้นรายละเอียดบริเวณรอบสถานี P18 พบว่าการวางตัวของสายคوارตซ์อยู่ในแนว EW (รูปที่ 2.2) มีความยาวประมาณ 200 เมตร กว้างประมาณ 0.5 เมตร และสายคuarตซ์ขนาดเล็กมีความยาวประมาณ 50 เมตร กว้างประมาณ 0.3 เมตร วางตัวในทิศทางเกือบ NW สายคuarตซ์เหล่านี้ส่วนใหญ่เนื้อແนนละ เอียด แต่ที่สถานี P18 พบว่ามีสายคuarตซ์ที่มีลักษณะแตก perse และเปลี่ยnlักษณะซึ่งพบว่ามีแร่ยูเรเนียมสีเขียวแทรกตามช่องว่างของสายคuarตซ์ที่แตกหัก (รูปที่ 2.9) สายคuarตซ์นี้มีทิศทางการวางตัว N37E 80-90SE สันนิษฐานว่าสายคuarตซ์ดังกล่าว แทรกซึมมาตามรอยแตกทิ่นเนต

ในพื้นที่สำรวจชั้นรายละเอียดบริเวณที่สองรอบสถานี B20 (รูปที่ 2.3) พบว่าสายคuarตซ์ส่วนใหญ่เป็นแบบสีขาวແบ็น้ำนม เนื้อແนนละ เอียด วางตัวในแนว N40E-N60E (บริเวณใกล้สถานี B20) มีสายคuarตซ์ส่วนน้อยวางตัวในทิศทางเกือบเหนือใต้ สายคuarตซ์ส่วนใหญ่มีความกว้างประมาณ 10-30 เซ้นติเมตร และมีความยาวตั้งแต่ 15 เมตรถึงมากกว่า 175 เมตร



รูปที่ 2.9 สายคาวอร์ตซ์แทกหักให้คาวอร์ตซ์ (QTZ) รูปเลนส์ และมีแร่ยูเรเนียมสีเขียว  
(เมตาฟอร์เบอร์ไนต์ และทอร์เบอร์ไนต์) ตามลูกศรชี้ เข้ามาเกิดแทรก  
ตามช่องว่างระหว่างคาวอร์ตซ์เลนส์

จิรศิริมหาวิทยาลัยเชียงใหม่  
Copyright © by Chiang Mai University  
All rights reserved

## บทที่ ๓

### การวัดรังสีแกมมา

#### 3.1 หลักการพื้นฐาน

โดยปกติปริมาณเล็กน้อยของธาตุกัมมันตรังสีมีอยู่เสมอ ในดิน ในหิน ในน้ำ และในอากาศ ธาตุเหล่านี้จะแผ่รังสีออกมากไม่เท่าจจะเป็นรังสีอัลฟ่า รังสีเบต้า หรือรังสีแกมมา รวมเป็นกัมมันตภาพรังสีของสภาพแวดล้อมหรือค่าเบคกราร์ดของรังสี ไอโซโทปกัมมันตรังสีที่เป็นส่วนประกอบของหลักของสภาพแวดล้อมโดยทั่วไปมาจากธาตุที่สำคัญ ๓ ชนิดได้แก่ โพแทสเซียม ยูเรเนียม และ thorium ตั้งนี้รังสีในบริเวณใด ๆ จึงมีต้นกำเนิดมาจากการ ๓ ชนิดนี้เสมอ ในจำนวนรังสีทั้งสามชนิดที่แผ่ออกมากโดยธาตุกัมมันตรังสีได ๆ รังสีแกมมาจะเป็นชนิดที่มีอันจากหลักผ่านสูงที่สุด คือสามารถเดินทางจากแหล่งกำเนิดไปได้ระยะสองสามร้อยฟุตในอากาศสำหรับรังสีแกมมาพลังงาน 3 Mev ในขณะที่รังสีอัลฟ่าและเบต้าพลังงานเดียวกันจะเดินทางได้เพียงไม่ถึงเซนติเมตร เช่นเดียวกันในขณะที่รังสีอัลฟ่าและเบต้า ก็จะไม่สามารถเดินทางในหินหรือดินได้เลย รังสีแกมมาจะสามารถเดินทางในตัวกลาง เช่นน้ำได แต่ก็ไม่เกินหนึ่งหรือสองฟุต (Telford et al., 1976) ตั้งนี้ในการสำรวจเพื่อหาแหล่งแร่กัมมันตรังสีจึงมักใช้การวัดรังสีแกมมาเป็นตัวชี้นำถึงบริเวณที่น่าสนใจ อย่างไรก็ตามถ้าหากในการสำรวจรู้เพียงว่าบริเวณใดมีรังสีแกมมาสูงกว่าค่าเบคกราร์ดมาก การแปลความหมายก็ยังไม่สามารถทำได้อย่างสมบูรณ์ ทั้งนี้เนื่องจากว่ารังสีแกมมาที่สูงผิดปกตินี้อาจเป็นผลมาจากการ โพแทสเซียม และ/หรือ ยูเรเนียม และ/หรือ thorium ก็ได ในทางตรงกันข้ามหากสามารถทราบได้ว่ารังสีแกมมาที่สูงผิดปกตินี้มีต้นกำเนิดมาจากการเปลี่ยนความหมายจะทำได้สมบูรณ์ยิ่งขึ้น ซึ่งโดยทฤษฎีแล้วสามารถที่จะกระทำได ทั้งนี้โดยอาศัยหลักการดังนี้

การสลายตัวของธาตุกัมมันตรังสีญี่เรเนียม ท่อเรียม และโพแทสเซียมในธรรมชาติจะให้รังสีแกมมาออกมายวดๆ ลักษณะทึบๆ ทึบๆ กับชานิดของไอโซโทปตันกำเนิดในอนุกรมกัมมันตรังสีของธาตุแต่ละชนิด เมื่อนำเข้าอัตราจำนวนนับ (count rate) ของรังสีแกมมาเขียนกราฟกับค่าพลังงานของรังสี จะได้สเปกตรัมที่แสดง characteristic peaks ต่าง ๆ อันเป็นตัวกำหนดชนิดของธาตุ สเปกตรัมนี้เรียกว่าแกมมาเรย์สเปกตรัม เมื่อเป็นเช่นนี้อัตราจำนวนนับของรังสีแกมมาในช่วงพลังงานซึ่งเป็น characteristic peak ของธาตุกัมมันตรังสีดี ๆ จะเป็นสื่อให้ทราบถึงความเข้มข้นของธาตุนั้น

ในการวัดรังสีแกมมาเพื่อเป็นสื่อให้ทราบถึงธาตุกัมมันตรังสี ในบริเวณใด ๆ จำเป็นต้องพิจารณาถึงปัจจัยหลาย ๆ ประการที่เกี่ยวข้องอันอาจมีผลต่อการแปลความหมาย ปัจจัยประการแรกคือ เวลาที่ใช้ในการวัดรังสีแกมมา เนื่องจากการแผ่กัมมันตภาพรังสีเป็นกระบวนการแบบสุ่ม (random process) ดังนั้นความถูกต้องของอัตราจำนวนนับ (count rate) รังสีแกมมาที่วัด ได้สำหรับอัตราการแผ่กัมมันตภาพรังสีหนึ่ง ๆ จึงห้ามเวลาที่ใช้ในการวัด ยิ่งเวลาสั้นเท่าไหร่ความน่าจะเป็นที่อัตราที่วัด ได้คืออัตราจริงจะลดลง อย่างไรก็ตามในการสำรวจภาคสนาม นั้นมีช่องจำกัดในเรื่องเวลาที่ใช้เพื่อครอบคลุมพื้นที่หนึ่ง ๆ ผู้สำรวจจึงมักจะต้องประเมินความถูกต้องของรังสีโดยใช้เวลาเก็บข้อมูล 10 วินาที ต่อการวัดแต่ละครั้งจะเป็นช่วงเวลาสั้นที่สุดที่ยังคงให้ผลลัพธ์ที่ดี (Geometric, 1977) ปัจจัยประการที่สองที่ควรคำนึงถึง ในการสำรวจรังสีแกมมาคือระยะสูงของหัววัดรังสีจากผิวดิน เพราะว่ายิ่งระดับของหัววัดอยู่สูงจากผิวดินเท่าไหร่รังสีที่เข้าสู่หัววัดก็จะมากจากพื้นดินในบริเวณกว้างขึ้นเท่านั้น ซึ่งจะลดอัตราผลของแหล่งกำเนิดรังสีเล็ก ๆ น้อย ๆ ให้ล้ำผิดนั้นลงไป หัววัดรังสีที่อยู่ในระดับเอวจะรับการแผ่รังสีจากพื้นที่วงกลม ส่วนผู้ศูนย์กลางประมาณ 10-20 เมตร รอบตำแหน่งหัววัด (McDermott, 1977)

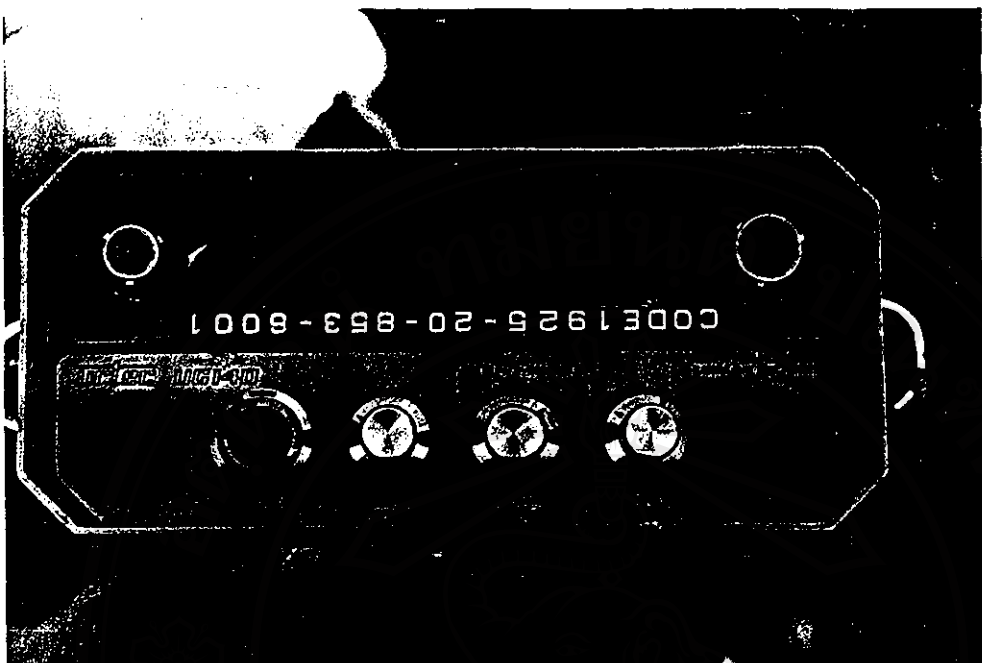
นอกจากนั้นในการสำรวจรังสีแกมมาควร ได้คำนึงถึงชนิดของหิน ความหนาของหิน และลักษณะภูมิประเทศในบริเวณสำรวจด้วย หันนี้ เพราะหินบางชนิดมีส่วนประกอบของเฟล์ตสปาร์ และไมกาซึ่งมีปริมาณโพแทสเซียมสูง อันทำให้มีระดับกัมมันตภาพรังสีสูงตามไปด้วย และ เพราะเหตุว่ารังสีแกมมาถูกดูดกลืนโดยหินหรือดินหนาเพียงหนึ่งหรือสองฟุตดังกล่าว ไปแล้ว ดังนั้นหาก

บริเวณใดมีดินหรือหินทับกมอยู่หนา เกินกว่านี้จะ ไม่มีข้อมูลรังสี gamma มากจากแหล่งแร่กัมมันตรังสีที่ฝังอยู่ ในระดับลึกดังกล่าวขึ้นมาถึงผิวดินได้เลย ไม่ว่าแหล่งแร่นั้นจะให้รังสี gamma มาก或มากเท่าไหรก็ตาม นอกจากเสียจากว่าดินที่ทับกม ก็จะจากการพังสลายตัวของแหล่งแร่ดังกล่าว สำหรับความสัมพันธ์ระหว่างรังสี gamma ที่วัดได้กับลักษณะภูมิประเทศก็มีมากเช่นกัน ถ้าหากทำการวัดรังสี gamma ในบริเวณใกล้หน้าผากจะทำให้ระดับกัมมันตภาพรังสีเพิ่มขึ้นประมาณ 50 เปอร์เซ็นต์ ทั้งนี้เนื่องจากปริมาณของแหล่งกำเนิดรังสีเพิ่มขึ้นประมาณ 50 เปอร์เซ็นต์ ในทางตรงกันข้ามระดับกัมมันตภาพรังสีจะลดลงเมื่อทำการวัดในบริเวณหุบเหว บริเวณที่มีหน้าดินหนา บริเวณตะกอนล้ำน้ำ ทั้งนี้ยกเว้นกรณีที่หน้าดินหรือตะกอนล้ำน้ำเป็นชนิดที่มีธาตุกัมมันตรังสีเป็นอยู่มาก

นอกจากปัจจัยต่าง ๆ ที่กล่าวข้างต้นแล้ว ควรจะได้รับมัตระวังที่จะไม่นำเอาแหล่งกัมมันตรังสี เช่น test source หรือนาฬิกาหน้าปัดเรืองแสง (radium dial watch) ติดตัวไปด้วยขณะทำการตรวจวัดรังสี gamma เพราะจะรบกวนค่ารังสีที่แท้จริงของบริเวณสำรวจ

### 3.2 อุปกรณ์และการเก็บข้อมูล

อุปกรณ์ที่ใช้ในการวัดรังสี gamma คือ Urtec UG-140 แกรมมาร์ย์สเปกโตรมิเตอร์ (รูปที่ 3.1) เครื่องมือชนิดนี้สามารถวัดรังสี gamma รวม (total count) ที่มีพลังงานตั้งแต่ 0.050 Mev หรือ ตั้งแต่ 0.50 Mev ขึ้นไป แล้วแต่จะเลือก นอกจากนั้นสามารถวัดรังสี gamma ในช่วงพลังงาน 1.38–1.54 Mev (characteristic peak 1.46 Mev จาก  $K^{40}$ ) ซึ่งถือเป็นรังสีจากธาตุโพแทสเซียม สามารถวัดรังสีในช่วงพลังงาน 1.65–1.86 Mev (characteristic peak 1.76 Mev จาก  $Bi^{214}$ ) ซึ่งถือเป็นรังสีจากธาตุเรเนียม และสามารถวัดรังสีในช่วงพลังงาน 2.46–2.77 Mev (characteristic peak 2.62 Mev จาก  $Tl^{208}$ ) ซึ่งถือเป็นรังสีจากธาตุเรียม อย่างไรก็ตามเครื่องมือชนิดนี้ยังสามารถวัดรังสี gamma ในสองช่วงพลังงานรวมกันในกรณีที่รังสีมาจากธาตุเรเนียมคือวัดรังสี gamma ในช่วงพลังงาน 1.65–1.86 Mev รวมกับรังสี gamma ในช่วงพลังงาน 1.05–1.19 Mev ทั้ววัดรังสีของเครื่องมือชนิดนี้เป็นชนิด NaI ขนาด 148 ลูกบาศก์เซนติเมตร ช่วงเวลาวัดรังสีสามารถเลือกได้ตั้งแต่ 1, 10, 100 และ 1000 วินาที



รูปที่ 3.1 Urtec UG-140 แคมมาเรย์สเปกโตรมิเตอร์



รูปที่ 3.2 แสดงการวัดรังสีแคนมาโดยแคมมาเรย์สเปกโตรมิเตอร์ฯ สถานีสำรวจต่าง ๆ

การสำรวจรังสีแกรมมาในครั้งนี้ได้กำหนดสถานีตรวจรังสีไว้สองบริเวณด้วยเหตุผลที่กล่าวไปแล้วในบทที่ 1 บริเวณแรกอยู่ติดกับยอดดอยแปป้มักไปทางตะวันออกเฉียงเหนือ ครอบคลุมพื้นที่  $400 \times 500$  ตารางเมตร บริเวณที่สองอยู่ห่างจากยอดดอยแปป้มกมทางตะวันตกประมาณ 1 กิโลเมตร ครอบคลุมพื้นที่  $300 \times 350$  ตารางเมตร (รูปที่ 1.2) ในบริเวณแรกมีสถานีวัดรังสีแกรมมากทั้งสิ้น 289 สถานี สถานีเหล่านี้ถูกกำหนดให้อยู่ในแนว ซึ่งมีทิศทางตามแนว NW-SE รวมทั้งสิ้น 17 แกล โดยแต่ละแกลยาว 400 เมตร และห่างห่างกัน 25 เมตร สถานีวัดรังสีแกรมมาในแต่ละแกลห่างห่างกัน 25 เมตร แนว NW-SE นี้จะตั้งอยู่โดยประมาณกับแนวสายคาดอร์ทซ์ส่วนใหญ่รวมถึงแนวสายคาดอร์ทซ์เล็ก ๆ ที่เป็นเบอร์เบอร์ในตระหง่าน P18 ที่กล่าวถึงในบทที่ 1 การกำหนดลักษณะของแต่ละสถานีนั้นใช้ระบบตัวอักษรปั้นตัวเลข โดยตัวอักษรแต่ละตัวแสดงถึงสถานีวัดรังสีแกรมมาในแต่ละแกล สำหรับตัวเลขสามหลักแต่ละตัวคือแกลแต่ละแกล ตำแหน่งสถานี P18 จากการสำรวจเบื้องต้นในปี พ.ศ. 2531 ที่กล่าวถึงในบทที่ 1 นั้น ในการสำรวจรังสีแกรมมาครั้งนี้คือตำแหน่งสถานี M208 (รูปที่ 3.3-3.6)

สำหรับบริเวณที่สองมีสถานีวัดรังสีแกรมมา 195 สถานี โดยมีทิศทาง ระยะห่างระหว่างแกล และระยะห่างระหว่างสถานีในแต่ละแกลเช่นเดียวกับบริเวณแรก ในบริเวณนี้ได้กำหนดแนวสำรวจไว้ทั้งสิ้น 15 แกล แต่ละแกลยาว 300 เมตร สำหรับตำแหน่งของสถานี B20 ที่กล่าวถึงในบทที่ 1 นั้น จะอยู่ห่างจากสถานี G303 ไปทางตะวันออกเฉียงเหนือราว 5 เมตร (รูปที่ 3.7-3.10)

ในการวัดรังสีแกรมมาที่แต่ละสถานีจะวัดรังสีรวม (total count) ตั้งแต่พลังงาน 0.50 Mev ขึ้นไป ซึ่งต่อไปนี้จะใช้แทนด้วย TC นอกจากนี้จะวัดรังสีแกรมมาที่มาจากการไบแอลเซียม (K) ยูเรเนียม (U) และทอยเรียม (Th) โดยในการวัดรังสีไม่ว่าจะเป็น TC, K, U หรือ Th จะทำการวัดอย่างละเอียด แล้วหาค่าเฉลี่ย โดยการวัดแต่ละครั้งจะใช้ช่วงเวลา 10 วินาที สำหรับระดับความสูงของหัววัดจะทำการวัดรังสีแกรมมาจะอยู่ในระดับเอวตั้งแสดงไว้ในรูปที่ 3.2 การสำรวจรังสีแกรมมาโดยสเปกโตรมิเตอร์ครั้งนี้ได้กระทำเมื่อวันที่ 5-6 มกราคม 2534 สำหรับในบริเวณแรก และเมื่อวันที่ 19-20 มกราคม 2534 สำหรับบริเวณที่สอง

### 3.3 ผลการวัดรังสีแกรมมา และการแปลความหมาย

ผลการวัดรังสีแกรมมากั้งสองบริเวณได้แสดงไว้ในภาคผนวกที่ 1 และภาคผนวกที่ 2 และถูกนำมาใช้เป็นสัมภพันธ์ตัวตั้งประภูมิในรูปที่ 3.3-3.10 ตารางที่ 3.1 และ 3.2 แสดงค่าแบคกราวด์ (background) และเทรสโอลด์ (threshold) ของรังสีจาก TC, K, U และ Th ของกั้งสองบริเวณ ทั้งนี้การกำหนดค่าแบคกราวด์ และเทรสโอลด์อาศัยหลักเกณฑ์ที่ว่า แบคกราวด์คือค่า 50 เปอร์เซ็นต์айл ขณะที่เทรสโอลด์คือค่าสูงสุด 2.5 เปอร์เซ็นต์ายล์ (Reedman, 1979) ค่าที่สูงกว่าค่าเทรสโอลด์ถือเป็นค่าผิดปกติ (anomalous)

ตารางที่ 3.1 ค่าแบคกราวด์และเทรสโอลด์ของรังสีแกรมมาจาก TC, K, U และ Th ในบริเวณแรกติดกับยอดดอยเป่าอมมก

	รังสีรวม (TC)	รังสีจากโพแทส เชี่ยม (K)	รังสีจาก บูโรเนียม (U)	รังสีจาก ทอเรียม (Th)
แบคกราวด์ เทรสโอลด์	85 CPS 125 CPS	6.6 CPS 10.2 CPS	2.3 CPS 4.0 CPS	1.4 CPS 2.7 CPS

**ตารางที่ 3.2 ค่าแบคกราวด์และเทรสโซ่อล์ของรังสีแกมมาจาก TC, K, U และ Th**

ในบริเวณที่สองห่างจากยอดดอยแปบอ้มกนาจากตะวันตกราว 1 กิโลเมตร

	รังสีรวม (TC)	รังสีจากโพแทสเซียม (K)	รังสีจากยูเรเนียม (U)	รังสีจาก thoเรียม (Th)
แบคกราวด์	75 CPS	5.8 CPS	2.0 CPS	0.9 CPS
เทรสโซ่อล์	105 CPS	8.5 CPS	3.3 CPS	1.6 CPS

ในการพิจารณาภัยริเวณได้มีค่ารังสีสูงผิดปกติหรือไม่นั้นจะเริ่มนับพิจารณาจากค่ารังสี TC เพราะถือว่ารังสี TC น่าจะเป็นค่าที่ใกล้เคียงกับความเป็นจริงมากที่สุดเนื่องจากมีจำนวนนับต่อวินาที (CPS) สูง ดังนั้นความแตกต่างของอัตราจำนวนนับต่อวินาทีหรือ CPS ที่อ่านได้จากเครื่องมือกับค่า CPS จริงจะน่าจะน้อยที่สุดเมื่อเทียบกับ CPS ที่อ่านได้จาก K, U และ Th ด้วยเหตุผลที่กล่าวไปแล้วในหัวข้อที่ 3.1 จากการพิจารณาภัยริเวณที่ 3.3 จะเห็นว่าค่า TC สูงผิดปกติในพื้นที่สำรวจบริเวณจะอยู่ที่สถานี M208, E209 และ F215 โดยมีค่าเป็น 358 CPS, 126 CPS และ 128 CPS ตามลำดับ เช่นเดียวกันเมื่อพิจารณาภัยริเวณที่ 3.7 ค่า TC สูงผิดปกติในพื้นที่สำรวจบริเวณที่สองจะอยู่ที่สถานี J300 และ B20 โดยมีค่าเป็น 105 CPS และ 124 CPS ตามลำดับ

หากพิจารณาในพื้นที่สำรวจบริเวณแรก พบร่วมกับสถานี M208 เท่านั้นที่ให้ค่าสูงผิดปกติอย่างเด่นชัด คือ มีค่า TC ประมาณ 4 เท่าของค่าแบคกราวด์ ส่วนที่สถานี E209 และ F215 นั้นมีค่าสูงผิดปกติเพียงเล็กน้อยคือประมาณ 1.5 เท่าของค่าแบคกราวด์ ซึ่งเมื่อพิจารณาค่า

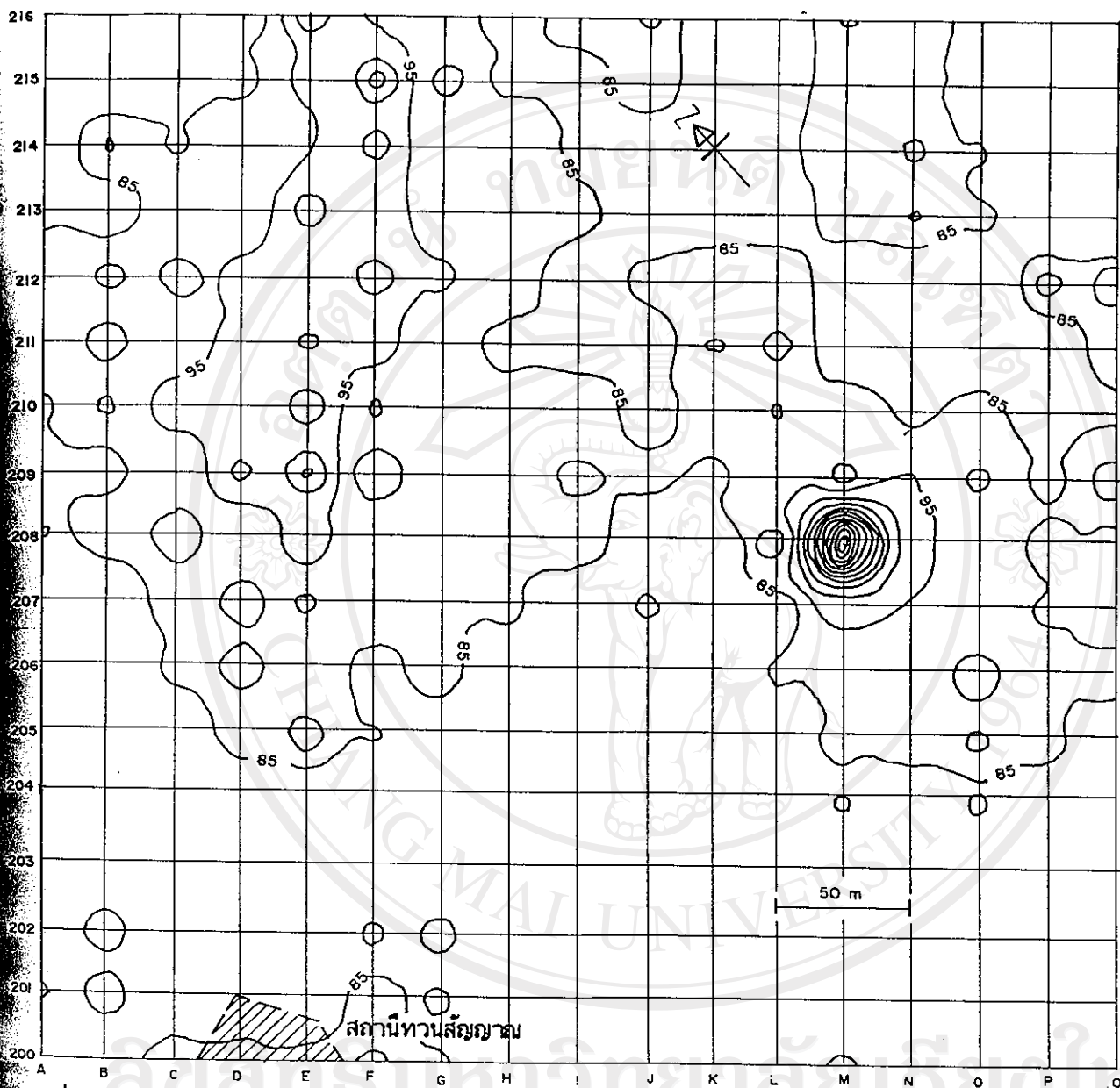
K, U และ Th ของสถานี E209 และ F215 ก็ปรากฏว่าทุกค่าสูงกว่าค่าแบคกราวด์มาก คือ  $K = 8.9 \text{ CPS}$ ,  $U = 3.4 \text{ CPS}$  และ  $Th = 2.3 \text{ CPS}$  สำหรับสถานี E209 และ  $K = 9.5 \text{ CPS}$ ,  $U = 3.0 \text{ CPS}$  และ  $Th = 2.4 \text{ CPS}$  สำหรับสถานี F215 นั้นย่อมาแสดงอย่างແນ່ວ້ດว่าค่าสูงผิดปกตินี้เกิดจากหินแกรนิตที่โผล่ (outcrop) ซึ่งมานะเนื่อผิวดินอย่างมากนายในบริเวณดังกล่าว (รูปที่ 2.2 และรูปที่ 3.11) หากใช้ค่าสูงผิดปกติอันเกิดจากหินแกรนิตเรเนียมแต่อย่างใดไม่ หันนี้อาจยืนยันได้จากการเปรียบเทียบระหว่างແນ່ວ້ດที่แสดงที่นี่ในรูปที่ 2.2 กับค่าอนหัวรังสีแกมมาของ TC, K, U และ Th ในรูปที่ 3.3-3.6 ซึ่งค่าอนหัวรังสีที่สูงกว่าค่าแบคกราวด์จะสอดคล้องอย่างดีกับบริเวณที่โผล่ สำหรับที่สถานี M208 นั้นขณะที่ทำการวัดรังสีแกมมาหน้าดินที่ปักคลุมสายคาดาร์ชในบริเวณนี้ได้ถูกชุดซึ่งมานะแล้ว ดังนั้นค่าที่วัดได้จึงอาจสูงกว่าการวัดในกรณีที่มีหน้าดินปักคลุมอยู่ ออย่างไรก็ตามหากดูจากค่ารังสีของ K, U และ Th ที่สถานี M208 ก็พบว่า U มีค่าสูงมากถึง 6.4 เท่าของค่าแบคกราวด์ ขณะที่ K มีค่าเป็น 3.1 เท่าของค่าแบคกราวด์ โดยที่ Th มีค่าใกล้เคียงกับค่าแบคกราวด์ นั้นก็เป็นสิ่งยืนยันชัดเจนว่าบริเวณนี้มีลิเนียมแกรนิตเรเนียมอยู่แน่นอน

ในหินที่สำรวจบริเวณที่สองพบว่าที่สถานี B20 รังสี TC มีค่าสูงผิดปกติไปมากคือมีค่าประมาณ 1.6 เท่า ของค่าแบคกราวด์ในขณะที่สถานี J300 มีค่า TC เท่ากับค่าเทรสโซล์ฟอดีคือประมาณ 1.4 เท่าของค่าแบคกราวด์ ออย่างไรก็ตามสถานี J300 นี้หากอยู่ระหว่างก้อนหินแกรนิตขนาดใหญ่หันด้าน ดังนั้นจึงคาดการณ์ได้ว่ารังสีที่มาจาก K, U และ Th อันเป็นส่วนประกอบในหินแกรนิต น้ำจะมีค่าสูงมากขึ้น สถานีนี้ อันทำให้ค่า TC สูงตามไปด้วย ซึ่งหากพิจารณาค่ารังสีจาก K, U และ Th ก็เป็นจริงดังคาดคือมีค่า  $K = 7.6 \text{ CPS}$ ,  $U = 3.2 \text{ CPS}$  และ  $Th = 1.3 \text{ CPS}$  ซึ่งสูงกว่าค่าแบคกราวด์มาก ดังนั้นค่า TC = 105 CPS ที่คำແນ່ນนี้จึงไม่น่าจะบ่งชี้ถึงแหล่งแร่เรเนียมแต่อย่างใดและหากเปรียบเทียบແນ່ວ້ດที่แสดงที่นี่ (รูปที่ 2.3) กับແນ່ວ້ດที่ค่อนหัวรังสีแกมมาของ TC, K, U และ Th (รูปที่ 3.7-3.10) ก็จะเห็นว่าค่าอนหัวรังสีที่สูงกว่าค่าแบคกราวด์สอดคล้องกับบริเวณที่โผล่ สำหรับสถานี B20 นั้น ดูเหมือนว่าค่า TC ที่สูงผิดปกติเป็นผลมาจากการหาดใหญ่เรเนียมในบริเวณนี้ เป็นส่วนใหญ่โดยมีรังสีจากโพแทสเซียมเป็นส่วนเสริม หันนี้โดยสังเกตุจากค่ารังสี U และ K เทียบกับค่าแบคกราวด์ ( $U = 5.2 \text{ CPS}$ ,  $K = 8.9 \text{ CPS}$  ในเมืองแบคกราวด์ของ U และ K คือ  $2.0 \text{ CPS}$  และ  $5.8 \text{ CPS}$  ตามลำดับ) ในบริเวณนี้ ไม่ปรากฏความผิดปกติใด ๆ ในธาตุหอเรียม คือมีค่ารังสี Th ใกล้เคียงกับค่าแบคกราวด์

สำหรับสถานีที่มีค่าผิดปกติเล็กน้อยของ K หรือ P หรือ Rh โดยไม่แสดงค่าผิดปกติของ TC นั้น คาดว่าเกิดจากการแปรเปลี่ยนส่วนประกอบของชาตุเหล่านี้ในพิณหรือน้ำดินในบริเวณสถานีสำรวจหรืออาจเป็นเพราะค่ารังสีที่นับได้แต่ละครั้งที่สถานีเดียวกัน โดยแกมมาเรย์สเปกตรัมเมเตอร์ให้ค่าแตกต่างกันมากในช่วงเวลาของ การวัดที่กำหนดไว้ 10 วินาที โดยเฉพาะกรณีที่มีค่า CPS ต่ำมาก เช่น กรณีค่า Rh ทั้งนี้อันเป็นผลเนื่องมาจากกระบวนการแผ่รังสีตามธรรมชาติ เป็นแบบสุ่ม ค่าผิดปกติเล็กน้อยเหล่านี้ไม่น่าจะบ่งชี้ถึงแหล่งแร่แต่อย่างใด

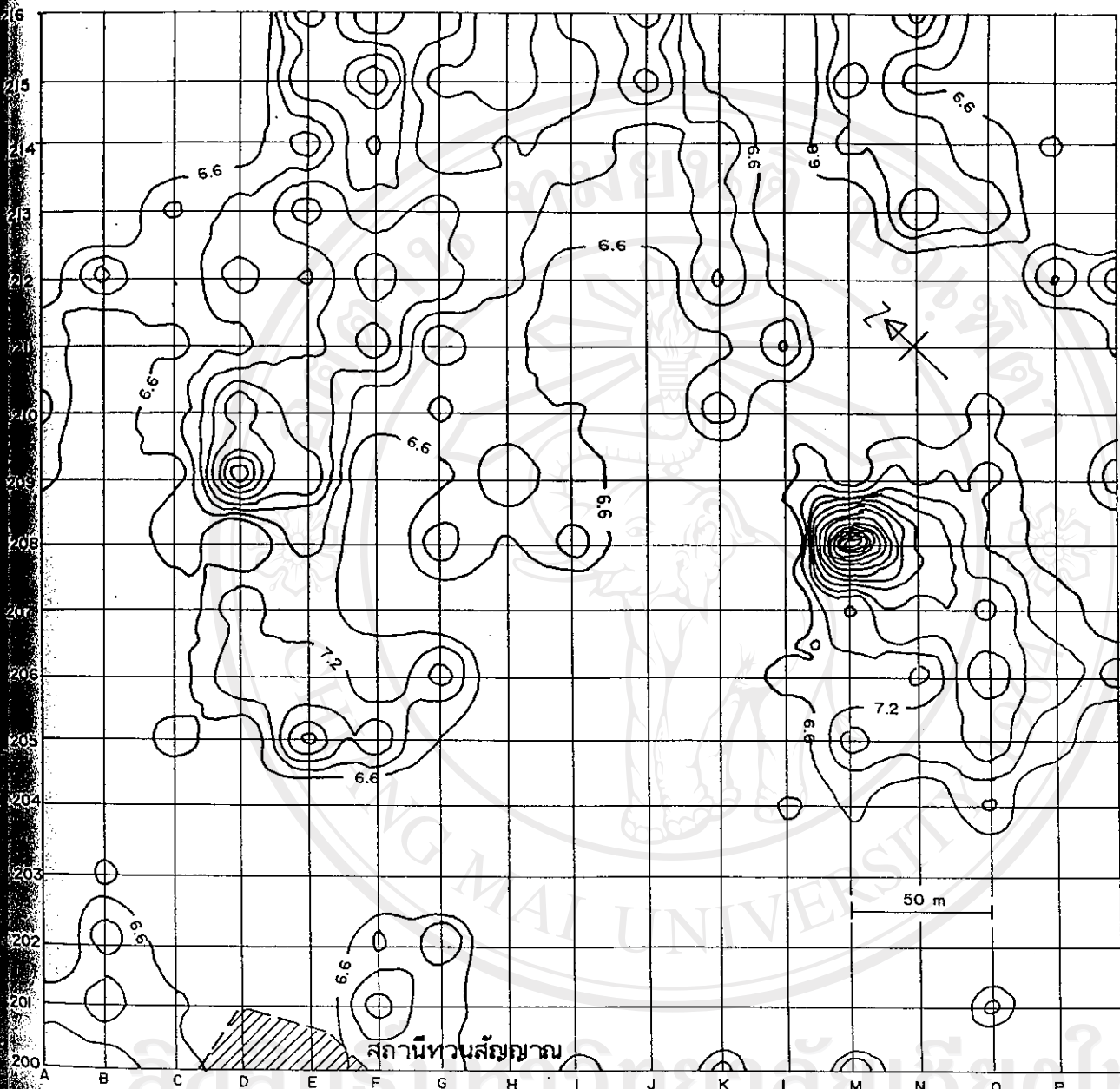
โดยสรุปแล้วมีเพียงสถานี M208 เท่านั้น ที่ผลการสำรวจรังสีแกมมาโดยสเปกตรัมเมเตอร์ได้บ่งชี้ด้วยว่ามีลิมารยูเรเนียมอยู่ในบริเวณดังกล่าว สำหรับสถานี B20 นั้นค่ารังสีแกมมาจาก P ก็มีจำนวนสูงพอที่จะเป็นเหตุผลให้ติดตามศึกษาบริเวณนี้ ร่วมกับข้อมูลด้านอื่น ๆ ต่อไป เป็นที่น่าสังเกตว่าสถานีที่แสดงค่ารังสีจาก P สูงทั้งสองสถานีจะแสดงค่ารังสีจาก K สูงตามไปด้วย ซึ่งเป็นเรื่องที่น่าสนใจ อย่างไรก็ตามพื้นที่บริเวณสถานี B20 เป็นบริเวณที่ชาวบ้านได้ชุดทำเป็นหลุมนาถานดังนั้นการอธิบายค่ารังสีที่ได้ควรจะต้องเอาปัจจัยนี้มาพิจารณาร่วมด้วย

อิทธิพลทางวิทยาลัยเชียงใหม่  
Copyright © by Chiang Mai University  
All rights reserved



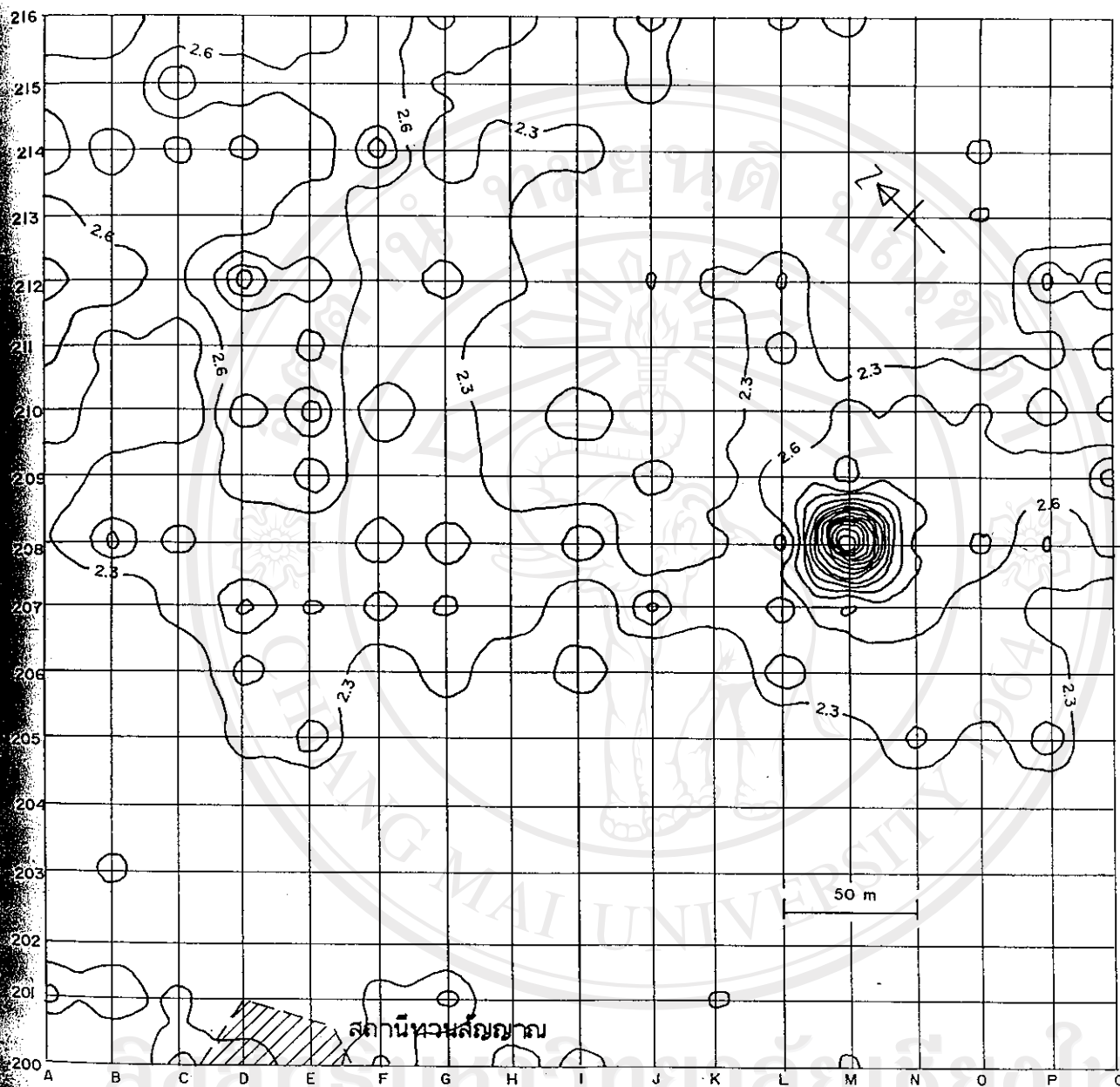
รูปที่ 3.3 ค่าเนื้อรังสี gamma ของ TC ในหน่วย CPS ในบริเวณแรกติดกับสถานีทวนสัญญาณ

แบบอุดดอยແປມັກ



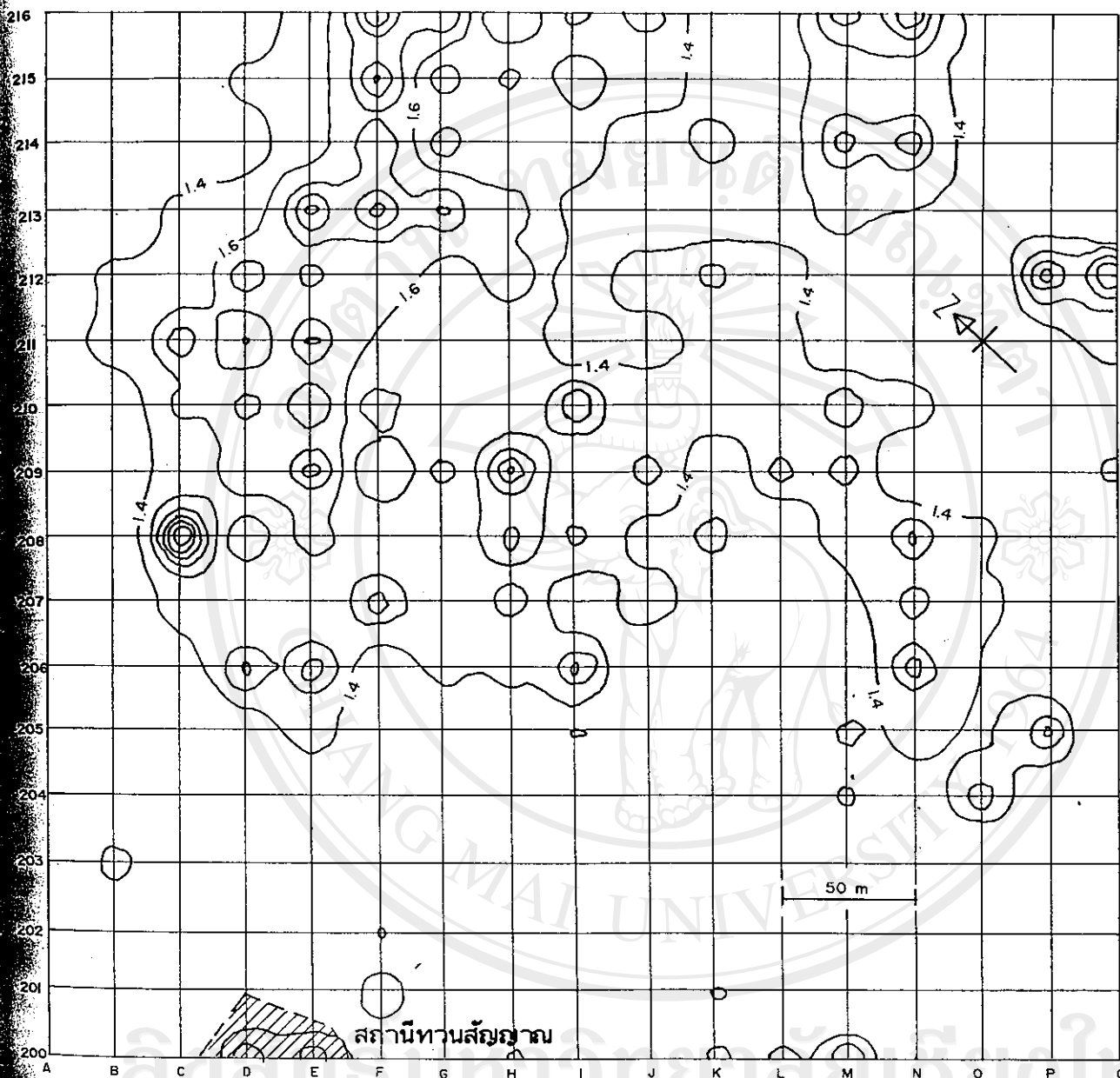
รูปที่ 3.4 គណន៍រំលែកស៊ីហេមមាមខែង K នៃលំបាត CPS នៃប្រព័ន្ធរោកចិត្តកាបសភានីទានស្វែងរក

បន្ទាយចុចូលយោប់អំពី



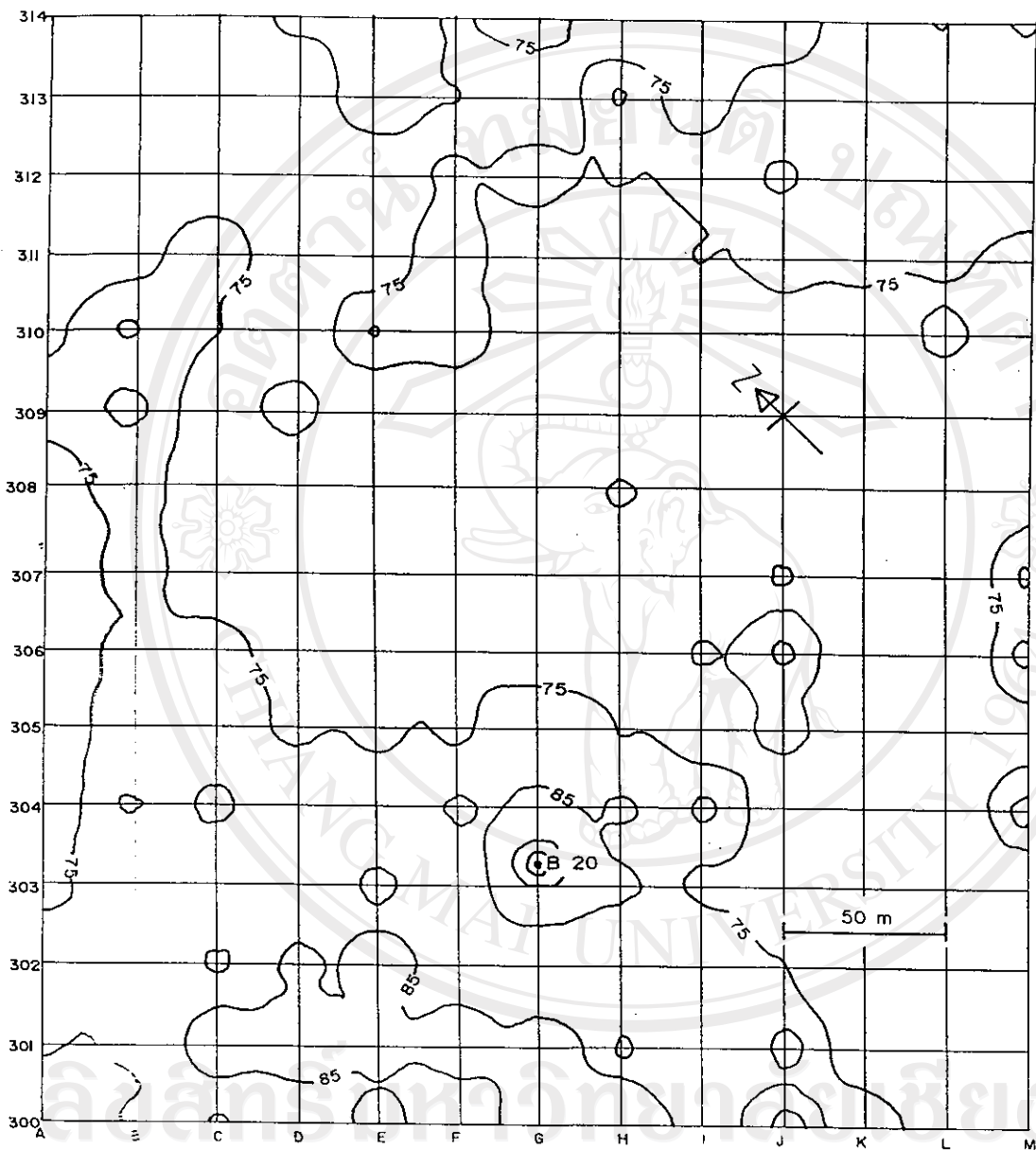
รูปที่ 3.5 ค่อนท้าร์รังสีแกมมาของ บ ในเนินยาย CPS ในบริเวณแรกติดกับสถานีทวนลักษณะ

แบบอุดอยแปลงมัก



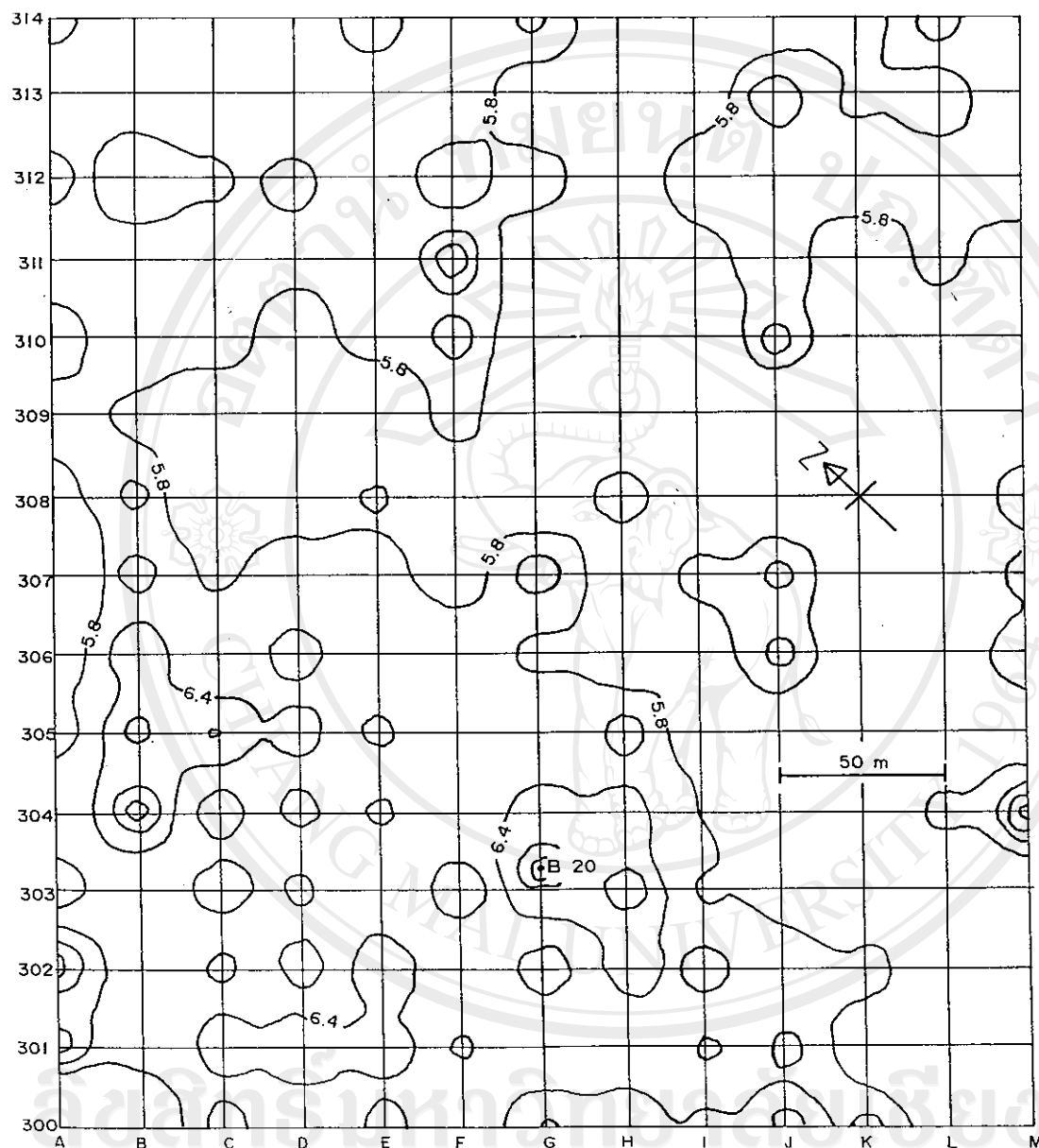
รูปที่ 3.6 ค่าเนื้อรังสีแกมมากอง 1h ในท่าอย่าง CPS ในบริเวณแรกติดกับสถานีท่านสัญญาณ

บนยอดดอยเปป้มัก



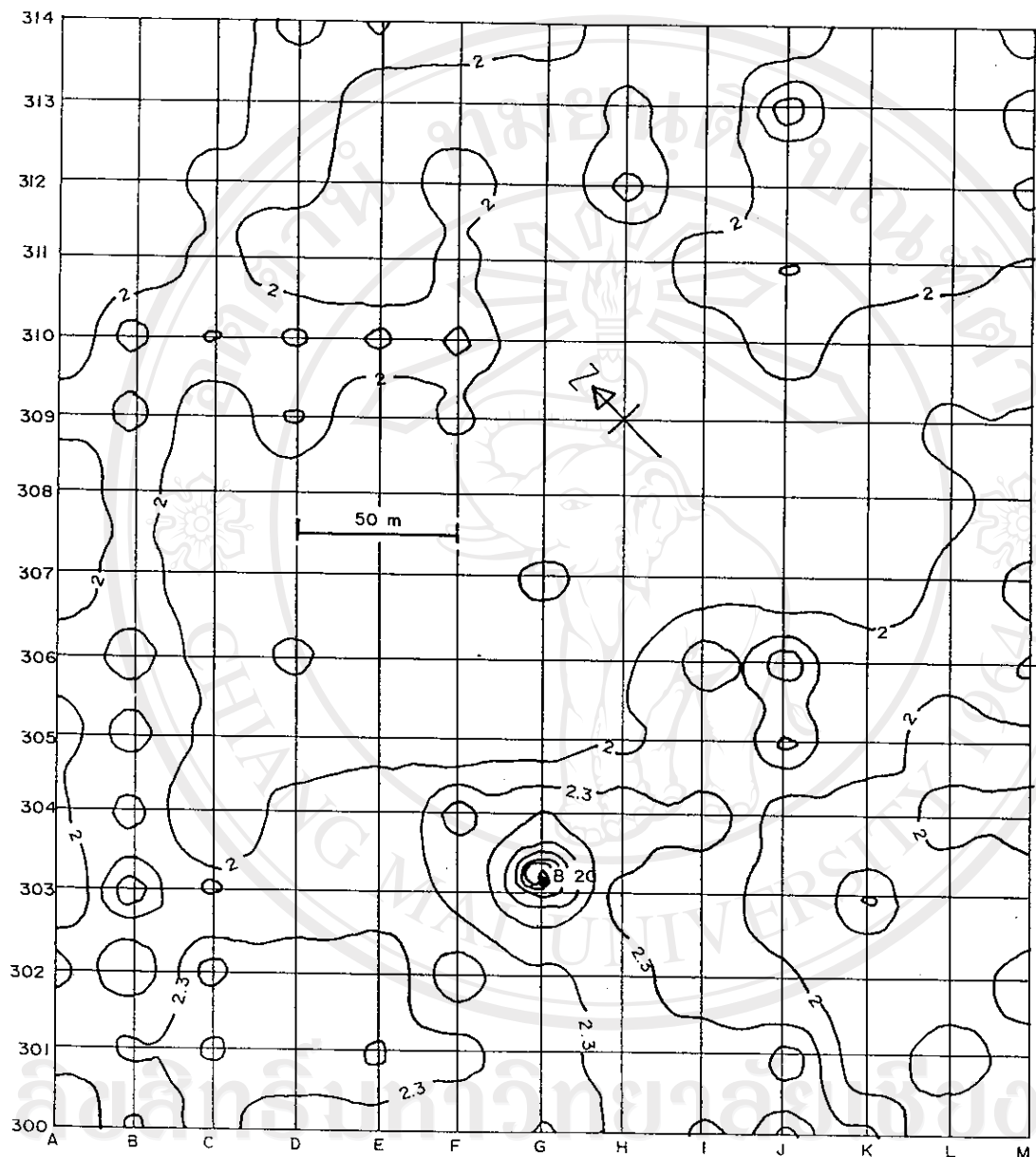
รูปที่ 3.7 แผนทั่วทิ้งสีแกมมาซอง TC ในหน่วย CPS บริเวณที่สองห่างจากยอดดอยแป๊ปอ้มแมก  
ประมาณต้นตกประมาณ 1 กิโลเมตร

Copyright © by Chiang Mai University  
All rights reserved



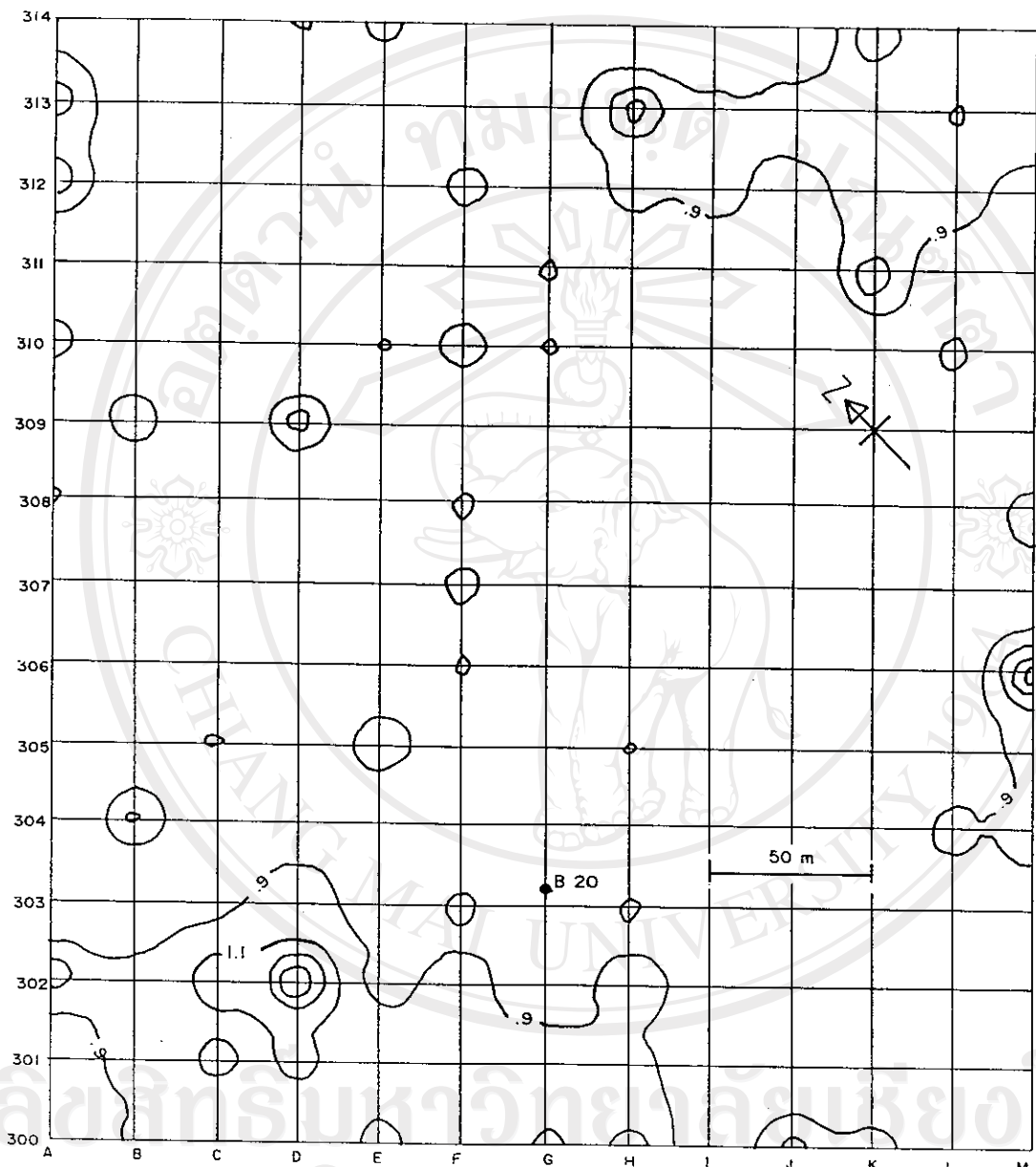
รูปที่ 3.8 ค่อนทั่วทั้งสีเกมมาซอง K ในหน่วย CPS บริเวณที่สองห่างจากยอดอยู่ประมาณ  
ไปทางตะวันตกประมาณ 1 กิโลเมตร

Copyright © by Chiang Mai University  
All rights reserved



รูปที่ 3.9 ค่อนทั่วไปรังสีแกมมาของ บี ในหน่วย CPS บริเวณที่สองห่างจากยอดดอยเป่าอ้มังก  
ไปทางตะวันตกประมาณ 1 กิโลเมตร

Copyright © by Chiang Mai University  
All rights reserved



รูปที่ 3.10 คุณทั่วรังสีแกมมาของ รีบ ในหน่วย CPS บริเวณที่สองห่างจากยอดอยู่ประมาณ  
ไปทางตะวันตกประมาณ 1 กิโลเมตร

Copyright © by Chiang Mai University



(ก)



(ข)

รูปที่ 3.11 (ก และ ข) แสดงหินเกรนิตที่โผล่เหนือผืนดิน เช่น ที่ปรากฏในบริเวณสถานี E209  
สถานี F215 และสถานีอื่น ๆ ในบริเวณใกล้เคียง

## บทที่ 4

### การวัด เรตตอน ใต้ผิวดิน

#### 4.1 หลักการที่นึกรู้

ชาตุเรตตอน ( $^{88}\text{Rn}^{222}$ ) กำเนิดจากชาตุเรเดียม ( $^{88}\text{Ra}^{226}$ ) ซึ่งอยู่ในอนุกรรมการ สลายตัวของชาตุยูเรเนียม ( $^{92}\text{U}^{238}$ ) ชาตุเรตตอนเป็นก้าชกัมมันตรังสีมีค่ารังสีชีวิต 3.8 วัน ใน เมื่อเป็นก้าชและมีอายุยาวเพียงพอจึงสามารถเดินทางจากชาตุเรเดียมตันกำเนิดไปเป็นระยะทาง ไกล ๆ เมื่อเรตตอนไปถึงบริเวณใดก็จะแพร่รังสีอัลฟ่าซึ่งมีพลังงานประมาณ 5.5 Mev ออกมานั่น การสำรวจเรตตอนใต้ผิวดิน หรือพูดอีกนัยหนึ่งว่าการสำรวจรังสีอัลฟาระดตอน จะทำให้ได้ข้อมูลแหล่งแร่ยูเรเนียมในระดับลึก ซึ่งปกติไม่ปรากฏให้ทราบจากการสำรวจเดินโดยเมตริกโดย การวัดรังสีแกมมา ทั้งนี้ เพราะ โดยทั่วไปรังสีแกมมาที่วัดได้บนผิวดินจะมาจากตันกำเนิดที่ซึ่งอยู่ใน ระดับลึกไม่เกินประมาณ 30-60 เซ็นติเมตร หากลึกเกินกว่านั้นรังสีแกมมากจะถูกบดบังไม่สามารถ ชี้มายังหัววัดรังสีได้ ผิดกับเรตตอนซึ่งอาจเดินทางจากแหล่งกำเนิดขึ้นมาเป็นระยะถึง 10 เมตร หากบริเวณนี้เป็นดินแห้ง (Bailey and Childers, 1977) นอกจากนี้ยังมีรายงานที่ว่าแหล่ง แร่ยูเรเนียมที่อยู่ลึกถึง 100 เมตร สามารถให้ค่าสูงผิดปกติของเรตตอนบนผิวดินได้ (Gingrich and Lovett, 1972) อย่างไรก็ได้การค้นพบแหล่งแร่ยูเรเนียมในระดับลึก ชั้นนี้โดยการวัด เรตตอนใต้ผิวดินก็มีอยู่เพียงบางกรณีเท่านั้น ยังมีอีกหลายกรณีที่แหล่งแร่ยูเรเนียมเกรดสูงไม่ สามารถตรวจพบได้โดยวิธีการดังกล่าว แม้ว่าจะอยู่ตื้นกว่า 100 เมตรก็ตาม (Bailey and Childers, 1977)

การเดินทางของเรตตอนใต้ดินเป็นไปได้สองลักษณะคือ การแพร่กระจาย (diffusion) และการไหลตามช่องไอล (fluid flow) (Tanner, 1964, 1980; Malmqvist, et al., 1989) การแพร่กระจายซึ่งกับปัจจัยที่สำคัญเช่น ความพรุน และความชื้นในดิน โดยปกติแล้วระยะ

การแพร่กระจายของเรดอนจากตันกำเนิดที่อยู่ในทรายหิ้ง จะอยู่ในราก 1 เมตร ในขณะที่การแพร่กระจายจะสั้นเพียงไม่ถึงเซ็นติเมตรในเดือนเมษายนี้ สำหรับการเคลื่อนที่ของเรดอนอีกเล็กน้อยอาศัยการพาโดยช่องไนลอนได้แก่ ก้าชและน้ำ ได้ดิน ซึ่งจะมีการเดินทางของเรดอนจำนวนมากหรือน้อยขึ้นอยู่กับอัตราเร็วของการไหลของช่องไนลังกล่าว สาเหตุสำคัญที่ก้าชได้ดินไนลันมากสูผิวดินอาจเป็นผลลัพธ์เนื่องมาจากความแตกต่างของอุณหภูมิระหว่างตัวก้าชและน้ำ ที่ได้ดิน (Magro-Campero and Fleischer, 1977) ซึ่งจะทำให้ก้าชเคลื่อนที่ไปสู่บริเวณที่เย็นกว่าและมีความกดดันน้อยกว่า สำหรับส่วนที่อยู่ลึกกว่าระดับน้ำ ได้ดินนั้น คาดว่าเรดอนเคลื่อนที่โดยการพาของพองก้าชที่ไนลันสูบเบื้องบน (Somogyi and Lenart, 1986)

ในการวัดเรดอนมีสิ่งที่ควรคำนึงถึงคือ เรดอนในดินออกจากระดับความชื้นกับความเข้มข้นของสารตุเรเดียมในบริเวณน้ำแล้วยังขึ้นกับอุณหภูมิ ความดันบรรยากาศ และความชื้นในดิน อย่างไรก็ตามปัจจัยอันเนื่องมาจากการอุณหภูมิและความดันบรรยากาศมีผลเพียงเล็กน้อยต่อการวัดเรดอนเพื่อการสำรวจแหล่งแร่ Stranden et al. (1984) พบว่าดินที่มีจากหินดินดานแปลงมีความชื้น 13 เปอร์เซ็นต์ จะมีอัตราการปลดปล่อยเรดอนเพิ่มขึ้น 24 เปอร์เซ็นต์ เมื่ออุณหภูมิเพิ่มจาก 22 °C ไปเป็น 50 °C ในกรณีของการเปลี่ยนแปลงความดันบรรยากาศ Stranden et al. (1979) รายงานว่าการลดลงของความดันบรรยากาศ 1 มิลลิเมตรของปรอทใน 1 วัน จะทำให้ความเข้มข้นของเรดอนในห้องที่ปิดมิดชิดเพิ่มขึ้นเพียงประมาณ 5 เปอร์เซ็นต์เท่านั้น ในทางตรงกันข้าม การเปลี่ยนแปลงความชื้นในดินจะมีผลต่อกำลังความเข้มข้นของเรดอนให้ผิดนิพนธ์อย่างมาก Luetzelschwab et al. (1989) รายงานว่าการปลดปล่อยเรดอนจากตัวอย่างดินที่มีจากหินแกรนิตหินทราย หินปูน และหินดินดานเพิ่มขึ้นอย่างรวดเร็ว เมื่อปริมาณน้ำในตัวอย่างเพิ่มจากศูนย์ถึง 4-6 เปอร์เซ็นต์ เมื่อความชื้นในดินสูงขึ้นกว่านักการปลดปล่อยเรดอนดูเหมือนจะมีอัตราค่อนข้างคงที่โดยมีค่าอยู่ในราก 4-15 เท่าของตัวอย่างที่แห้ง ทั้งนี้ขึ้นกับชนิดของตัวอย่าง แต่เมื่อปริมาณน้ำในตัวอย่างมีมากจนทำให้เป็นโคลนการปลดปล่อยเรดอนจะลดลงมาก

ด้วยเหตุว่าความชื้นมีผลมากต่ออัตราการปลดปล่อยเรดอนในดิน ดังนั้นในกรณีที่ดินชุ่มน้ำ ด้วยน้ำและโดยเฉพาะในกรณีที่น้ำกำลังซึมผ่านจากผิวดินลงไปใต้ดิน เรดอนให้ผิดนิพนธ์มีความเข้มข้นต่ำเมื่อจะมีแหล่งแร่รูเรเนียมฝังอยู่ในลักษณะในบริเวณนั้นก้าช ผิดกับในกรณีที่ความชื้นในดินมี

พอเอนมา แล้วพื้นดินในบริเวณนั้นกำลังคายความชื้นให้แก่บรรยายกาศ ซึ่งในกรณี เช่นนี้ความเข้มข้นของเรดอนใต้ผิวดินจะเป็นตัวชี้นำที่ดีถึงแหล่งแร่ที่อยู่ในระดับลึก ดังนั้นการสำรวจเรดอนจึงควรทำในฤดูการที่เหมาะสมสมสำหรับพื้นที่นั้น ๆ

#### 4.2 วิธีการวัดเรดอนใต้ผิวดิน

วิธีวัดเรดอนใต้ผิวดินอาจจำแนกได้เป็นสองวิธี วิธีแรกօคตี้ฟิล์มที่ไวต่อรังสีอัลฟ่า เช่น ฟิล์มเซลลูโลสไนเตรท (cellulose nitrate film) หรือฟิล์มโพลีคาร์บอเนต (polycarbonate film) เป็นตัววัดรังสี จำนวนร้อยที่เกิดในแผ่นฟิล์มนี้จากรังสีอัลฟ่าจะสัมผัสรักบปริมาณเรดอนในบริเวณดังกล่าว ส่วนวิธีที่สอง ใช้หัววัดรังสีอัลฟ่า เช่น หัววัดซิลิโวอร์แอดคติเวทชิงค์ชัลไฟฟ์ (silver-activated zinc sulphide detector) หรือหัววัดแบบซอต基 แบร์เรียร์ (Schottky barrier junction detector) เพื่อวัดรังสีอัลฟารึ่งจะสัมผัสรักบปริมาณเรดอนในวิธีแรกรังสีรืออนุภาคอัลฟ่าที่ตกกระทบลงบนแผ่นฟิล์ม จะก่อให้เกิดรอยอันเนื่องจากโครงสร้างของฟิล์มถูกทำลายตามแนวทางที่รังสีเคลื่อนที่ผ่าน แต่รอยนี้มีขนาดเล็กมากไม่สามารถเห็นได้ด้วยกล้องจุลทรรศน์ธรรมด้า ดังนั้นจึงจำเป็นต้องมีการกัดขยายรอยดังกล่าวด้วยสารละลายเคมีบางชนิด แล้วจึงนับรอยเหล่านี้มากยิ่งหากล้องจุลทรรศน์หรือโดยเครื่องนับรอยอัตโนมัติ ความหนาแน่นของรอยต่อน้ำหนักที่จะแสดงถึงปริมาณรังสีอัลฟารึ่งในบริเวณดังกล่าวสำหรับวิธีสองนั้น รังสีอัลฟารึ่งตัวที่เข้าสู่หัววัดจะก่อให้เกิดสัญญาณไฟฟ้าซึ่งจะถูกป้อนเข้าสู่วงจรขยายสัญญาณและวงจรรับสัญญาณตามลำดับ ดังนั้น เครื่องมือชนิดนี้จึงให้ค่าที่อ่านได้เป็นจำนวนนับต่อหน่วยเวลา

ในการสำรวจนี้ ได้ใช้วิธีแรกเป็นหลักในการวัดเรดอนใต้ผิวดินทั้งนี้เนื่องจากว่ามีอุปกรณ์ในการสำรวจพร้อม นอกจากนั้นการวัดเรดอนโดยวิธีแรกจำเป็นต้องทึบแผ่นฟิล์มไว้ใต้ผิวดินเป็นเวลานานประมาณสองอาทิตย์ ซึ่งทำให้ค่าที่วัดได้เป็นค่าเฉลี่ยครอบคลุมระยะเวลาพอกันเช่นว่าค่าเหล่านี้จะไม่ถูก grub หมายมากนักจากการเปลี่ยนแปลงของความดันบรรยายกาศ อุณหภูมิ และลม สำหรับวิธีที่สอง ได้ใช้ในการตรวจสอบขั้นรายละเอียดในพื้นที่แคบ ๆ เนื่องจากเป็นเครื่องมือที่ยืดมาระยะงานอ่อนไม่สามารถที่จะนำมาใช้เป็นระยะเวลานาน ๆ ได้

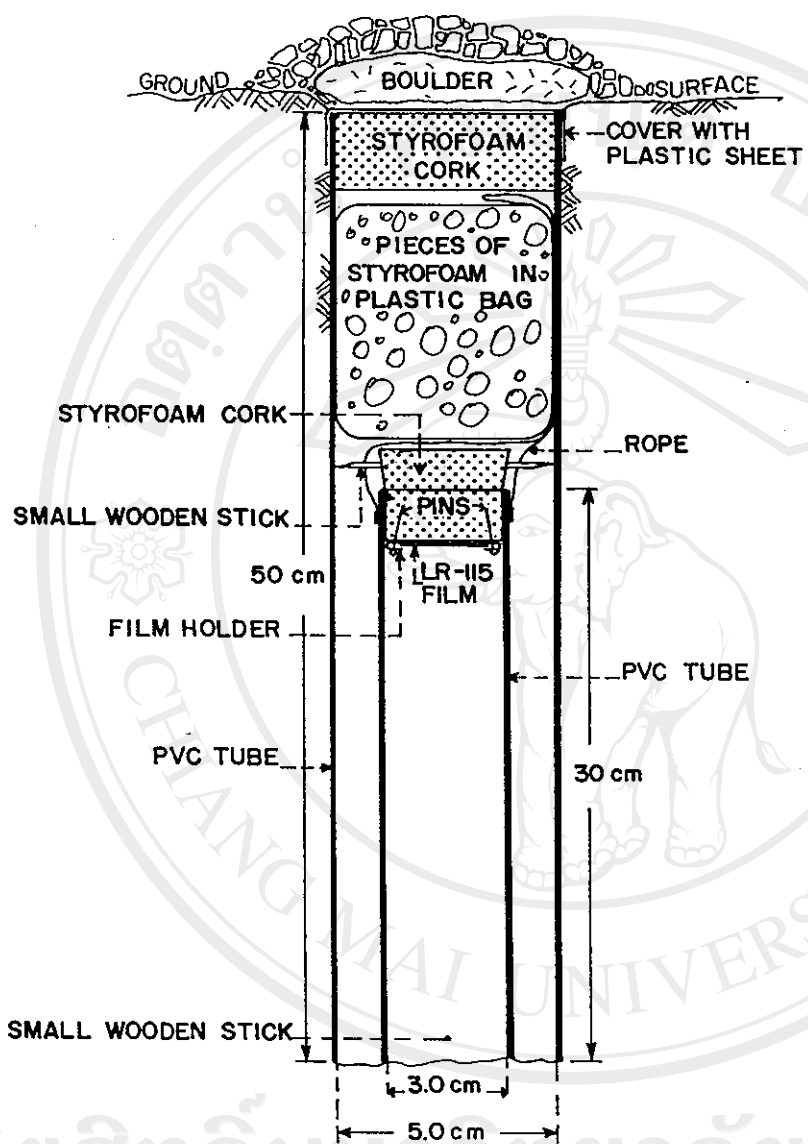
## 4.3 การวัดเรดอนโดยอาศัยฟิล์มไวต่อรังสีอัลฟ่า

### 4.3.1 อุปกรณ์การติดตั้งและการเก็บข้อมูล

อุปกรณ์นั้นที่กรองอนุภาคอัลฟ้าจากเรดอนคือแผ่นฟิล์มเซลลูโลส (cellulose nitrate, Kodak LR-115 type 2) ขนาด  $1.5 \times 1.5$  เซ้นติเมตร แผ่นฟิล์มนี้จะติดไว้ให้ฝาจุกโพนของทรงกระบอกขนาดเล็ก เส้นผ่าศูนย์กลาง 3 เซ้นติเมตร ยาว 30 เซ้นติเมตร ซึ่งทำด้วยห่อพีวีซี การติดแผ่นฟิล์มนบนฝากระทำโดยสอดแผ่นฟิล์มในกระดาษหับฯ จากรู แล้วใช้เข็มหมุดเสียบปิดกระดาษนี้ติดกับฝาจุก กระดาษดังกล่าวยังใช้สำหรับบันทึกหมายเลขฟิล์มไปพร้อมกันด้วย จากนั้นนำทรงกระบอกนี้ไปใส่ในห่อพีวีซีขนาดเส้นผ่าศูนย์กลาง 5.6 เซ้นติเมตร ยาว 50 เซ้นติเมตร ที่ฝังอยู่ในดิน ณ สถานีสำรวจต่าง ๆ แล้วอุดช่องว่างด้านบนของห่อพีวีซี ขนาดใหญ่ที่สุดด้วยโพนและปิดฝาด้านบนให้มิดชิดแล้วกลบด้วยดินอีกครั้ง รูปแบบการติดตั้งแผ่นฟิล์มเซลลูโลส ใน terrestrialได้แสดงไว้ในรูปที่ 4.1

การติดตั้งแผ่นฟิล์มในลักษณะนี้ก็เพื่อลดอิทธิพลของ tropon ( $^{86}\text{Rn}^{220}$ ) ซึ่งเป็นกิ๊ฟเซ่นเดียวกับเรดอน แต่มีต้นกำเนิดจากหอเรียม ( $^{90}\text{Th}^{232}$ ) tropon มีครึ่งชีวิต 54.5 วันที่โดยสลายตัวให้ออนุภาคอัลฟ้าที่มีพลังงานประมาณ 6.3 Mev Somogyi et al. (1983) พบว่าฟิล์มที่ติดในทรงกระบอกที่สูงจากหิน 30 เซ้นติเมตรจะสามารถกัดสัตญາณจากเรดอนได้อย่างง่ายดาย แม้จะอยู่ในบริเวณหิน troponมากกว่าถึง 100 เท่า นอกจากนั้นการติดตั้งแผ่นฟิล์มในลักษณะนี้ยังช่วยลดอิทธิพลของการกลั่นตัวเป็นหยดน้ำที่ผิวแผ่นฟิล์ม ลดอิทธิพลของการหมุนเวียนอากาศในห้อง และช่วยทำให้ระดับลึกที่ฝังแผ่นฟิล์มคงที่ ระดับลึกที่คงที่เป็นสิ่งจำเป็น เพราะเหตุว่าความเข้มข้นของเรดอนจะซึ้งกับความลึกจากผิวดินมาก (Kristiansson and Malmqvist, 1984)

การตรวจวัดเรดอนให้ผิด din ในครั้งนี้ ได้ทำในสองบริเวณที่กำหนดเป็นพื้นที่สำรวจรายละเอียดตั้งที่กล่าวไปแล้วในบทที่ 1 บริเวณแรกอยู่ติดกับยอดดอยแบปอ้มักไปทางตะวันออกเฉียงเหนือ ครอบคลุมพื้นที่  $400 \times 500$  ตารางเมตร บริเวณที่สองอยู่ห่างจากยอดดอยแบปอ้มกมาทางตะวันตกประมาณ 1 กิโลเมตร ครอบคลุมพื้นที่  $300 \times 350$  ตารางเมตร (รูปที่ 1.2) ในบริเวณแรกมีสถานีวัดเรดอนทั้งสิ้น 151 สถานี สถานีเหล่านี้ถูกกำหนดให้อยู่ในແກวชึ่งมี



รูปที่ 4.1 แสดงรูปแบบการติดตั้งแผ่นเซลล์โลสในเทราท ณ สถานีสำรวจด่าง ๆ

ทิศทางตามแนว NW-SE รวมทั้งสิ้น 11 แกร โดยแต่ละແຄวยาว 400 เมตร และวางห่างกัน 50 เมตร สถานีตรวจวัดเรดอนในแต่ละແຄวยาวห่างกัน 25 เมตร การกำหนดสัญลักษณ์ของแต่ละสถานีนั้นใช้ระบบตัวอักษรเป็นตัวเลข เช่นเดียวกับที่ใช้ในบทที่ 3 โดยตัวอักษรแต่ละตัวแสดงถึง สถานีวัดเรดอนในแต่ละແຄวย สำหรับตัวเลขสามหลักแต่ละตัวคือແຄวยแต่ละແຄวย ตำแหน่งสถานี P18 จากการสำรวจเบื้องต้นในปี พ.ศ. 2531 ที่กล่าวถึงในบทที่ 1 นั้น ในการสำรวจรายละเอียดครั้งนี้ คือตำแหน่งสถานี M208 (รูปที่ 4.2)

สำหรับบริเวณที่สองมีสถานีวัดเรดอน 106 สถานี โดยมีพิกัด ระยะห่างระหว่างແຄวยและระยะห่างระหว่างสถานีในแต่ละແຄวย เช่นเดียวกับบริเวณแรกแต่ครอบคลุมพื้นที่กว้าง กว่าคือมีทั้งสิ้น 8 แกร แต่ละແຄวยาว 300 เมตร อย่างไรก็ตาม ได้มีการกำหนดสถานีวัดเรดอนเสริมในระหว่างสถานีหลักเหล่านี้อีกหลายสถานี โดยเฉพาะในบริเวณใกล้เคียงกับตำแหน่งสถานี B20 ที่เป็นค่าผิดปกติของความหนาแน่นเรอโนมุก้าอัลฟ้าจากการสำรวจเบื้องต้นเมื่อ พ.ศ. 2531 ที่กล่าวไว้ในบทที่ 1 สำหรับตำแหน่งของสถานี B20 นั้น ในการสำรวจรายละเอียดครั้งนี้จะอยู่ห่างจากสถานี G302 ไปทางตะวันออกเฉียงเหนือราว 30 เมตร (รูปที่ 4.3)

ระยะเวลาที่แผ่นพิล์มเซลลูโลสในเตրติดไว้ในห้องแต่ละสถานีนั้น ได้กำหนดไว้ประมาณสองอาทิตย์ ในบริเวณแรกติดกับยอดโดยเปลี่ยนบ่อยๆ ได้นำแผ่นพิล์มไปติดไว้ระหว่างวันที่ 24 กุมภาพันธ์ 2533 ถึงวันที่ 10 มีนาคม 2533 สำหรับบริเวณที่สองทางด้านตะวันตกของยอดโดยเปลี่ยนบ่อยๆ ได้นำพิล์มไปติดไว้ระหว่างวันที่ 12-26 พฤษภาคม 2533

#### 4.3.2 การกัดขยายรอยและการนับรอยอนุภาคอัลฟ้าในแผ่นเซลลูโลสในเตรท

การกัดขยายรอยอนุภาคเริ่มจากนำ้แผ่นพิล์ม LR-115 ที่เก็บมาจากสถานีต่างๆ แขวนในสารละลายนาโนโซเดียมไฮดรอกไซด์ NaOH ความเข้มข้น 10 เปอร์เซ็นต์ หรือ 2.5 N ที่บรรจุไว้ในบีกเกอร์โดยใช้ชานพิล์มไว้หัวบีกเกอร์โดยรอบ หันน้ำบีกเกอร์จะอยู่ในเครื่องควบคุมอุณหภูมิ (Thermomix 1442 D) ที่  $60^{\circ}\text{C}$  และสารละลายนูกอกวนโดยใบพัดติดมอเตอร์ที่ความเร็ว 20 รอบ/นาที เพื่อให้อุณหภูมิในสารละลายน้ำมันคงที่ สมอทุกตำแหน่ง พิล์มจะถูกแขวนในสารละลายนาโนโซเดียมไฮดรอกไซด์ในห้องที่อุณหภูมิ 20-22 นาที โดยปิดบีกเกอร์ไว้ตลอดเวลาเพื่อมิให้เกิดการเปลี่ยนแปลงความ

เข้มข้นของสารละลายน้ำจากการระเหยของน้ำ หลังจากนั้นจึงนำแผ่นพิล์มไปเชื่อมในน้ำกลั่นประมาณ 5 นาที เพื่อหยุดปฏิกิริยาแล้วนำไปล้างน้ำก็อกที่ในลิน ๆ อีกประมาณ 30 นาที เพื่อล้างสารเคมีจากน้ำไว้แผ่นพิล์มไปผึ้งให้แห้งเพื่อนำรอยต่อไป

การนับรอยอาศัยกล้องจุลทรรศน์ (Leitz Model 307-143.004) กำลังขยาย 100 เท่า โดยที่เลนส์ไกล์ต้าของกล้องมีสเกลแบ่งเป็นตารางเพื่อสะดวกต่อการนับรอยและการคำนวณ หัวที่นับรอยในแต่ละแผ่นใช้วิธีสุ่มนับ หัวนี้ถูกหากว่าจำนวนรอยที่นับได้ครั้งแรกเกิน 200 รอยขึ้นไป จะสุ่มนับเพียงสองตัวแทนของแผ่นพิล์ม แต่ถูกหากจำนวนรอยที่นับได้ครั้งแรกต่ำกว่า 200 รอย จะสุ่มนับสี่ตัวแทนของแผ่นพิล์ม โดยการนับในแต่ละตัวแทนจะนับรอยที่ปรากฏให้เห็นในตารางเท่านั้น จากนั้นจึงนำค่าของแต่ละตัวแทนมาเฉลี่ย แล้วแปลงเป็นจำนวนรอยต่อตารางเซ็นติเมตรต่อวัน ( $t/cm^2.d$ )

#### 4.3.3 ผลการนับรอยอนุภาคอัลฟ่าในแผ่นเซลลูโลสในตรทและการแปลความหมาย

ผลการนับรอยอนุภาคอัลฟ่าในพิล์มแต่ละแผ่นของแต่ละสถานี ปรากฏในภาคผนวกที่ 3 และภาคผนวกที่ 4 และถูกนำมาเขียนเป็นเส้นคอนทัวร์ดังปรากฏในรูปที่ 4.2 และรูปที่ 4.3 โดยใช้หลักเกณฑ์ของ Reedman (1979) ที่ว่าแบคกราวด์ (background) ของค่าความหนาแน่นรอยอนุภาคอัลฟ่าในแต่ละบริเวณ คือค่า 50 เปอร์เซ็นต์ไอล์ และเกรஸโซยลด์ (threshold) คือค่าสูงสุด 2.5 เปอร์เซ็นต์ไอล์ พบร่วมในบริเวณแรก (รูปที่ 4.2) มีค่าแบคกราวด์เป็น  $2,800 t/cm^2.d$  และมีค่าเกรஸโซยลด์เป็น  $7,000 t/cm^2.d$  สำหรับบริเวณที่สอง (รูปที่ 4.3) มีค่าแบคกราวด์เป็น  $6,100 t/cm^2.d$  และค่าเกรஸโซยลด์เป็น  $19,000 t/cm^2.d$  สาเหตุที่ค่าแบคกราวด์และเกรஸโซยลด์ในสองบริเวณต่างกันมาก เพราะเหตุว่าการวัดเรดอนได้กระทำในช่วงเวลาที่ต่างกัน ซึ่งมีสภาพอากาศโดยเฉพาะปริมาณน้ำฝนต่างกัน ทำให้ความชื้นติดผิดติดต่างกันมากในสองบริเวณต่างกล่าว (Wattananikorn et al., 1991) ค่าความหนาแน่นรอยอนุภาคอัลฟ่าที่สูงกว่าค่าเกรஸโซยลด์จะถือเป็นค่าสูงผิดปกติ (anomalous) และสถานีที่มีค่าผิดปกติเหล่านั้นควรได้รับความสนใจ

จากรูปที่ 4.2 พบว่าค่าสูงผิดปกติจะปรากฏใน 5 สถานี คือ A212, E204, G212, L206 และ M208 อย่างไรก็ตามมีเพียงสถานี M208 และ L206 เท่านั้นที่มีค่าสูงผิดปกติมาก คือ  $59,727 \text{ t/cm}^2 \cdot \text{d}$  และ  $13,602 \text{ t/cm}^2 \cdot \text{d}$  ตามลำดับ ส่วนสถานีอื่น ๆ ได้แก่ A212, E204 และ G212 มีค่าความหนาแน่นของอนุภาคอัลฟ่าสูงกว่าเทรสโซล์ด เพียงเล็กน้อยคือ  $7,357 \text{ t/cm}^2 \cdot \text{d}$ ,  $8,009 \text{ t/cm}^2 \cdot \text{d}$  และ  $8,137 \text{ t/cm}^2 \cdot \text{d}$  ตามลำดับ

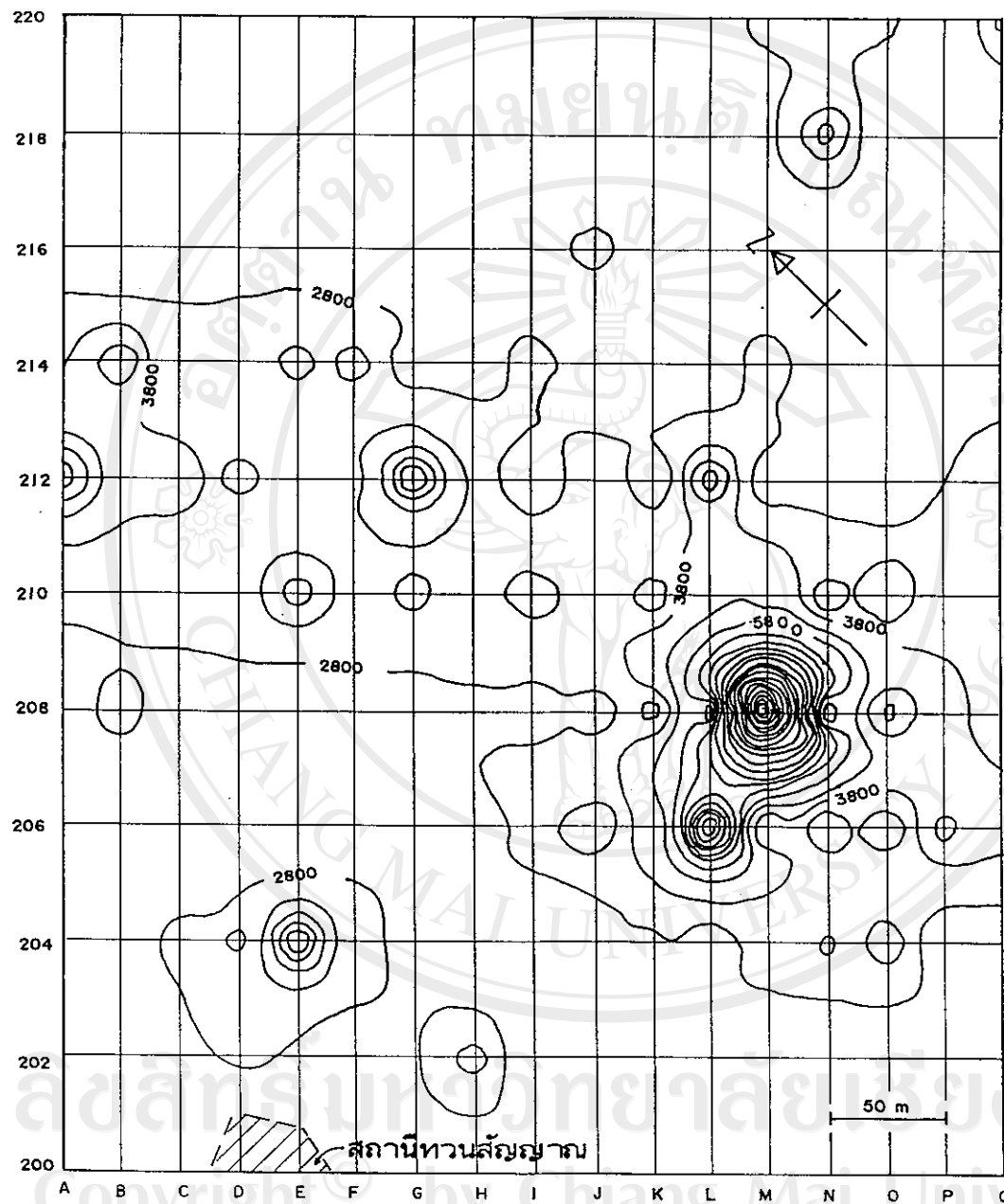
สำหรับรูปที่ 4.3 พบว่าค่าสูงผิดปกติปรากฏใน 3 สแกนคือ B20, J305 และ J306 โดยมีเพียงสแกน J306 เท่านั้น ที่มีค่าความหนาแน่นรอยอนมากอัลตราสูงผิดปกติมากคือ  $31,585 \text{ t/cm}^2 \cdot \text{d}$  ส่วนสแกน B20 และ J305 นั้น มีค่าสูงกว่าค่าเทรสโซล์ดเพียงเล็กน้อยคือ  $20,319 \text{ t/cm}^2 \cdot \text{d}$  และ  $20,749 \text{ t/cm}^2 \cdot \text{d}$  ตามลำดับ

ที่สถานี M208 (หรือสถานี P18 จากการสำรวจเมื่อ พ.ศ. 2531) เป็นบริเวณที่น่าสนใจ เนื่องจากมีค่าความหนาแน่นร้อยอนุภาคอัลฟ่าสูงกว่าแบคกราวด์ถึงประมาณ 21 เท่า ประกอบกับการวัดรังสีแกรมมาให้ค่าสูงมาก ดังนั้นจึงได้ทำการขุดร่องเพื่อติดตามสายค่าวอร์ช์ในบริเวณดังกล่าว ซึ่งสายค่าวอร์ช์ถูกคันพบจากการสำรวจเมื่อ พ.ศ. 2531 และในสายค่าวอร์ช์ประกอบด้วยแร่ยูเรเนียมทุติยภูมิทอร์เบอร์ในต ฉาบตามผิวและรอยแตกของค่าวอร์ช์ ดังได้กล่าวไปแล้วในบทที่ 1 ผลจากการขุดร่อง (รูปที่ 4.4) ปรากฏว่าสายค่าวอร์ช์นี้ค่าย ๆ ตืบลงทั้งในแนวอนและแนวตั้งหลังจากขุดไปได้ยาวประมาณ 5 เมตรลึกประมาณ 1 เมตร และมีลักษณะรักมันตรังสีสีดูเหมือนจะน้อยลงเรื่อย ๆ จนถึงระดับลึกประมาณ 1 เมตรจากผิวดิน หันนี้สังเกตได้จากการวัดรักมันตรังสีโดยเครื่องนับรังสีໄกเกอร์ในร่องที่ขุดขึ้นหลังจากที่นำเอามวลที่ขุดได้ออกไปจากร่องนั้นแล้ว อย่างไรก็ตามเนื่องจากรังสีที่วัดได้โดยเครื่องนับໄกเกอร์จะให้ข้อมูลเกี่ยวกับรากมันตรังสีที่ผ่านอยู่ไม่ลึกนัก ดังนั้นเพื่อความเช้าใจยิ่งขึ้นเกี่ยวกับรักมันตรังสีในระดับลึกจึงได้ทำการวัดครอบตัวโดยใช้ผ้าห่มที่มีความหนาแน่นสูง เช่น ผ้าห่มที่มีความหนาแน่น 3 เมตร และใช้เครื่องมือที่มีหัววัดรังสีอัลฟ่าแบบช็อตเก็บเรียร์ (Schottky barrier junction detector) ผลการตรวจวัดรังสีอัลฟาระดอนนี้จะได้นำไปกล่าวในหัวข้อที่ 4.4

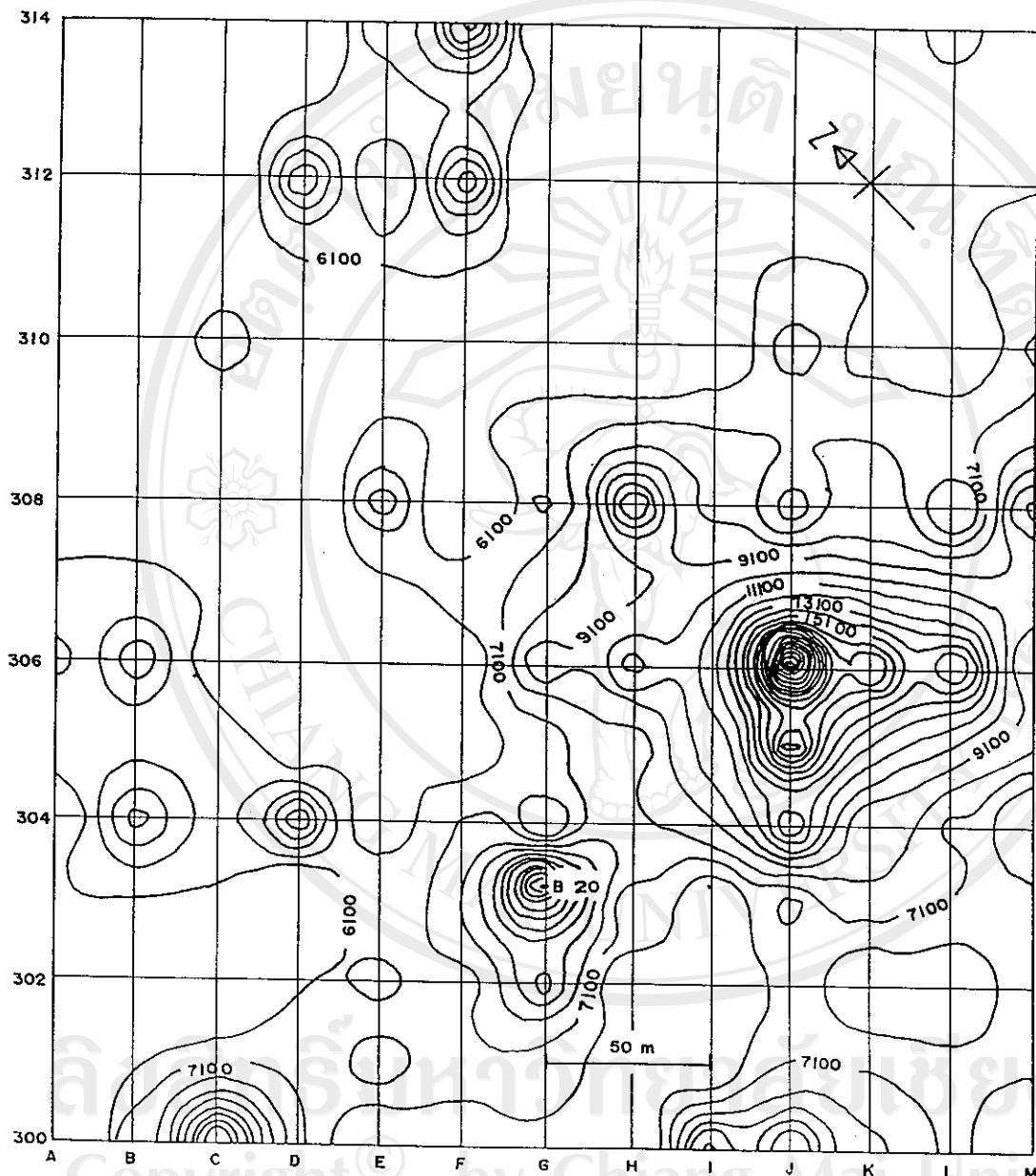
三

353.4432

เลขทะเบียน \_\_\_\_\_ เลขที่ \_\_\_\_\_ ๐๓๔๔  
สำนักหอสมุด มหาวิทยาลัยเชียงใหม่



รูปที่ 4.2 คณทั่ว์ความหนาแน่นร้อยอนุภาคอัลฟ่าในหน่วย  $t/cm^2.d$  ในบริเวณแรกติดกับ  
สถานีทวนสัญญาณยอดดอยແเปื้องมังก



รูปที่ 4.3 คณทั่ว์ความหนาแน่นรอยอนุภาคอัลฟ่าในหน่วย  $t/cm^2.d$  ในบริเวณที่สอง  
ห่างจากยอดดอยแปบป้มังก้าไปทางตะวันตกประมาณ 1 กิโลเมตร



(ก)



(ข)

รูปที่ 4.4 ผลการชุดร่องแสดงสายคาวอร์ทซ์ที่มีแร่ทอร์เนอว์ในตัวเรกรกอยู่ตามรอยแตกและฉาบตามผิว  
ของคาวอร์ทซ์ (ก) และการวัดกัมมังงคaphรังสีในร่องหลังจากนำมวลลินแร่ออกไปแล้ว (ข)

มวลสินแร่ยูเรเนียมที่หุดขึ้นมาได้ ถูกนำไปปรับปริมาณธาตุยูเรเนียมในเวลาต่อมาโดยทำการเตรียมตัวอย่างจากมวลสินแร่นี้จำนวน 4 ตัวอย่าง แล้วจึงนำตัวอย่างเหล่านั้นไปหาปริมาณความเข้มข้นของธาตุยูเรเนียมโดยวิธีแกมมาเรย์สเปกโตรเมทร์ดังนี้ : หาแกมมาเรย์สเปกตรัม (*gamma ray spectrum*) ของแต่ละตัวอย่างในช่วงเวลา 2 ชั่วโมง โดยใช้หัววัดรังสีแกมมาแบบ *Thin Window Hyperpure Germanium* ต่อเข้ากับเครื่อง MCA Canberra series 35 plus จากนั้นเปรียบเทียบพื้นที่ต่อ *characteristic peak* ที่พลังงาน 63 Kev ของสเปกตรัมนี้กับ *peak* ที่พลังงานเดียวกันของสเปกตรัมจากสารมาตรฐานที่ทราบความเข้มข้นของยูเรเนียม แล้วคำนวณหาปริมาณยูเรเนียมในตัวอย่างเหล่านั้น การใช้ *characteristic peak* ที่พลังงาน 63 Kev คาดว่าจะสามารถตัดปัญหาที่เกิดจากการไม่สมดุลย์ (*equilibrium*) ของอนุกรมยูเรเนียมลงได้ (พิเศษ ตู้กลาง, 2534) ผลการตรวจสอบปริมาณยูเรเนียมในตัวอย่างทั้ง 4 ปรากฏผลดังนี้คือ 1.10%, 1.23%, 1.01% และ 1.27% โดยมีค่าเฉลี่ยยูเรเนียม เป็น 1.15%

สำหรับสถานี L206 และ J306 นั้นไม่ได้ทำการซุดร่องเพื่อตรวจสอบและเสาะหาสายแร่ทั้งนี้ด้วยเหตุผลที่ว่าค่าความหนาแน่นรอยอนุภาคอัลฟ่าเทียบกับค่าแบคกราวด์ที่ทำแห่งนั้นแม้จะสูงแต่ก็ต่ำกว่าที่สถานี M208 มาก ที่สถานี L206 และ J306 มีค่าความหนาแน่นรอยเทียงประมาณ 5 เท่าของค่าแบคกราวด์ผิดกับที่สถานี M208 ที่มีค่าสูงถึง 21 เท่าของค่าแบคกราวด์ ประกอบกับที่สถานี L206 และ J306 แม้ว่าจะมีค่ายูเรเนียมจากการสำรวจสำรวจแกมมาเรย์สเปกโตรเมทร์สูงกว่าสถานีอื่น ๆ ดังปรากฏในบทที่ 3 แต่ก็ไม่ถึงกับแสดงค่าผิดปกติเหมือนที่สถานี M208 ดังนั้นแสดงว่าแร่ยูเรเนียมที่ก่อให้เกิดค่าผิดปกติของความหนาแน่นรอยอนุภาคอัลฟ่า คงฝังอยู่ใต้ผิวดินซึ่งถ้านำหากฝังอยู่ในระดับตื้นคือลึกไม่เกิน 1 เมตร ก็แสดงว่าปริมาณยูเรเนียมคงมีไม่มากนัก ทั้งนี้โดยเปรียบเทียบกับค่าผิดปกติและปริมาณยูเรเนียมของตัวอย่างมวลสินแร่ที่ได้ ณ สถานี M208

สำหรับสถานีอื่น ๆ ที่มีค่าความหนาแน่นรอยอนุภาคอัลฟารูงกว่าค่าเกรสรอยอล์ด เพียงเล็กน้อยนั้น ปรากฏว่ามีเพียงสถานี B20 เท่านั้น ที่มีค่ายูเรเนียมจากการสำรวจแกมมาเรย์สเปกโตรเมทร์สูงผิดปกติตั้งที่ปรากฏในบทที่ 3 สถานีที่เหลือไม่ปรากฏว่ามีค่าผิดปกติของยูเรเนียม

จากการสำรวจแกมมาเรย์สเปกตรัมต้องอย่างไร  
จะได้รับความชัดเจนมากในบริเวณสถานี B20 แต่คงมีความซับซ้อนหรือปริมาณไม่มากนักเมื่อเทียบกับที่สถานี M208 ส่วนที่สถานี A212, E204, G212 และ J305 นั้นคาดว่าค่าผิดปกติเพียงเล็กน้อยของความหนาแน่นรอยอนุภาคอัลฟ่า อาจเกิดขึ้นเนื่องจากหินแกรนิตโผล่ขึ้นมาใกล้ผิวดินมากตรงบริเวณท่อติดพิล์ม หรือบางสถานีเช่น A212 อยู่ในบริเวณเหมืองฟลูออโรต์เก่า ซึ่งอาจมีชาติญี่ปุ่นเนี้ยมเป็นอยู่ในเศษหินเศษดินจากเหมืองเก่าอยู่บ้าง อย่างไรก็ตามหากค่าผิดปกติเหล่านี้เกิดจากญี่ปุ่นเนี้ยมความซับซ้อนสูงในระดับลึกการตรวจสอบโดยการขุดร่อง เช่นที่ทำ ณ สถานี M208 ก็ไม่สามารถให้ข้อมูลได้ nok เสียงจากจะใช้การเจาะรุ่งสำรวจซึ่งอยู่นอกเหนือขอบเขตการศึกษาครั้งนี้

#### 4.4 การวัดเรดอนโดยอาศัยหัววัดรังสีอัลฟ่าแบบชอต基เบรียร์

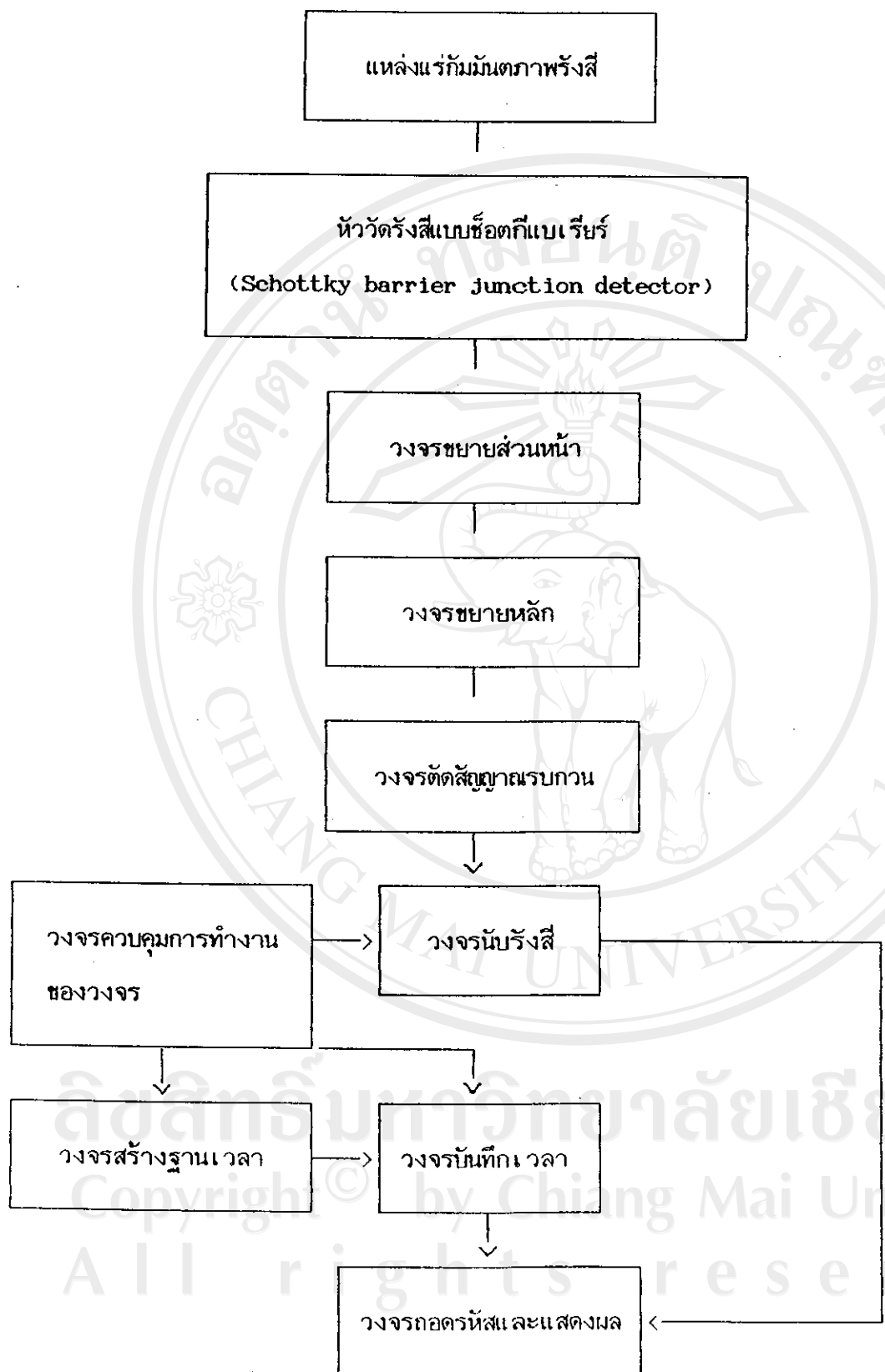
##### 4.4.1 อุปกรณ์และการเก็บข้อมูล

เครื่องวัดเรดอนชนิดนี้ เป็นอุปกรณ์อิเล็กทรอนิกส์ประกอบด้วย ส่วนต่าง ๆ ดังแสดงในรูปที่ 4.5 เมื่อเรดอนให้ออนุภาคอัลฟารอกกมา อันดับนี้จะตอกกระแทบทัววัดรังสีแบบสารกึ่งตัวนำที่เรียกว่าหัววัดแบบชอต基เบรียร์ (Schottky barrier junction detector) พลังงานของอนุภาคอัลฟ่าจะถูกดูดกลืนภายในสารกึ่งตัวนำ ทำให้เกิดการแตกตัวเป็นคู่อิเลคตรอนและโพลาร์ ดังนั้นวงจรที่ต่อเข้ากับหัววัดจะรับรวมประจุไฟฟ้าที่เกิดขึ้น และเปลี่ยนเป็นพัลส์ของแรงดันไฟฟ้าซึ่งถูกขยายและแต่งรูปสัญญาณให้เหมาะสมสำหรับการนับจำนวนอนุภาคในระบบเชิงเลข การใช้งานของเครื่องวัดเรดอนชนิดนี้จึงเป็นการนับจำนวนพัลส์ที่เกิดขึ้นจากอนุภาคอัลฟ่า พร้อมกับบันทึกช่วงเวลาของการนับ การใช้เครื่องมือชนิดนี้กระทำโดยชุดหลุมลึกประมาณครึ่งเมตรทึ้งไว้ระยะเวลาหนึ่งที่ทำแน่นต่าง ๆ ที่ต้องการวัดค่าเรดอน จากนั้นจึงนำเอาหัววัดหย่อนลงในหลุมเหล่านั้นและเปิดสวิตช์เพื่อให้เครื่องมือเริ่มนับจำนวนรังสีอัลฟารังส์ในรูปที่ 4.6 การนับจำนวนอนุภาคอัลฟ่าจะกำหนดให้นับในช่วงเวลา 10 นาทีสองครั้งติดต่อกัน โดยค่าที่นำมาใช้จะเป็นค่าที่นับได้ในช่วง 10 นาทีหลัง

การสำรวจโดยเครื่องมือนี้ทำเมื่อวันที่ 19-20 มกราคม 2534 เฉพาะในบริเวณสถานี M208 ทั้งนี้เพื่อตรวจสอบปริมาณแรงดันให้ผิดนิ่งหลังจากการชุดร่องในบริเวณนี้ซึ่งยาวประมาณ 5 เมตร กว้าง 0.5-1.5 เมตร และลึกประมาณ 1 เมตร และได้นำเอามวลสินแร่ออกไปจากร่องนี้แล้ว การวัดแรงดันครั้งนี้ได้กำหนดไว้ 3 ถ้า โดยแท้แรกตัดผ่านสถานี M208 ในแนวปานกลาง NW-SE โดยมีสถานี M208 อยู่กึ่งกลางของแคว และในแนวนี้กำหนดสถานีวัดแรงดันไว้ 9 สถานี แต่ละสถานีห่างกัน 3 เมตร อีก 2 ถ้าได้วางไว้ห่างจากแควแรกออกไปหันส่องด้านด้านละ 5 เมตร และกำหนดระยะห่างระหว่างสถานีวัดแรงดันในแต่ละแควเช่นเดียวกับแท้แรก

#### 4.4.2 ผลการวัดแรงดันและการแปลความหมาย

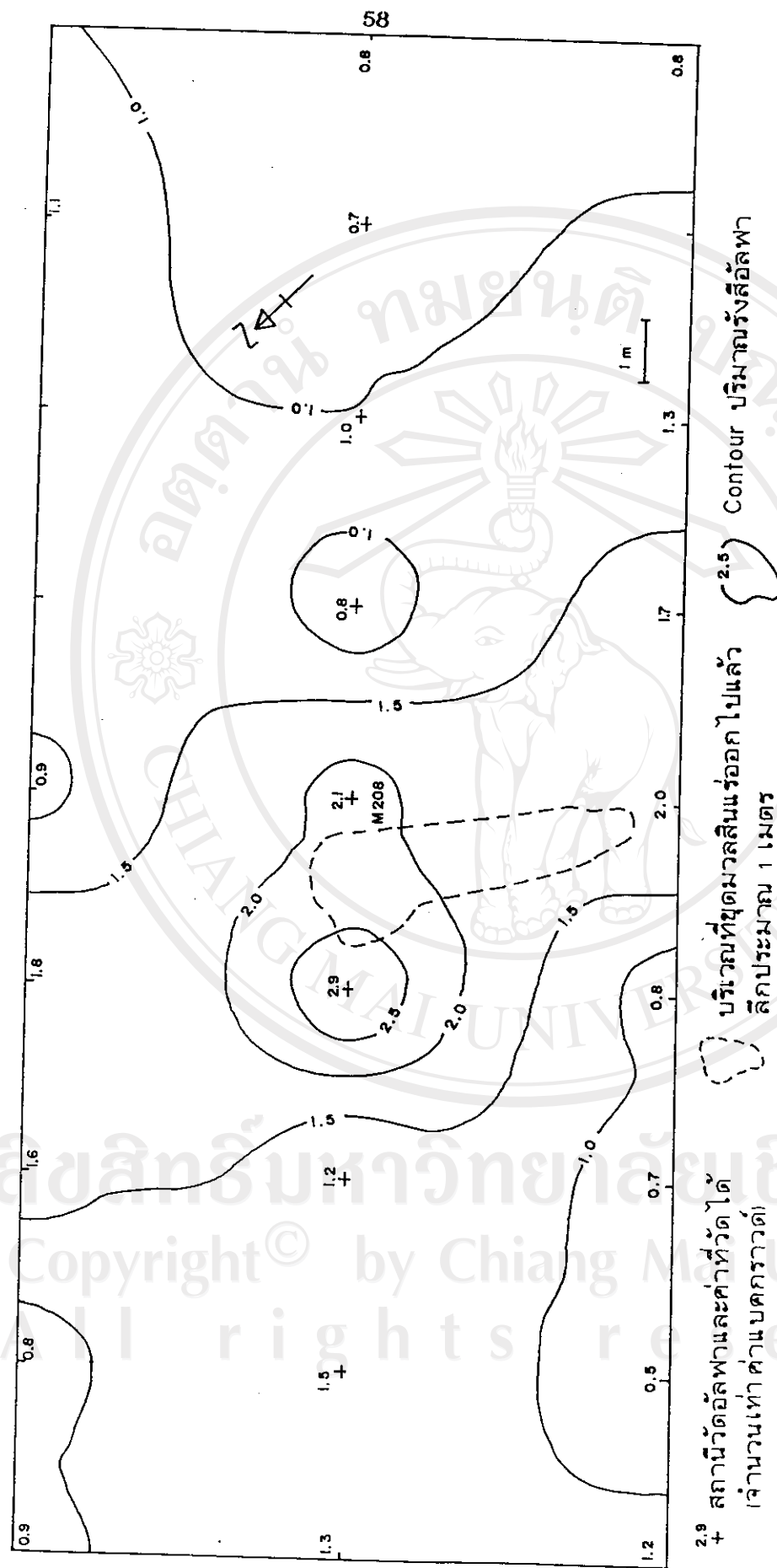
ผลการนับจำนวนอัลฟาระดอนภายในช่วงเวลา 10 นาที ในแต่ละหุบของสถานีต่าง ๆ ได้ถูกนำมาเป็นตัวตั้งแລ้วหารด้วยจำนวนอัลฟาระดอนภายในช่วงเวลา 10 นาที ที่อ่านได้ ณ สถานี K208 ซึ่งถือเป็นค่าที่ใกล้เคียงกับค่าแบคกราวด์ ดังนั้นค่าที่ได้แต่ละสถานีจึงเป็นจำนวนเท่าของค่าแบคกราวด์ซึ่งได้นำค่าเหล่านี้มาใช้แทนเป็นสัมบูรณ์ในรูปที่ 4.7 จากรูปจะเห็นว่าค่ารังสีอัลฟาระดอนไม่สูงมากนัก แม้จะมีแนวชัดเจนซึ่งแสดงว่า ประการแรกอาจมีแร่บูเรเนียมหล่ออยู่ภายหลังการชุดร่องและนำเอามวลสินแร่ในร่องนั้นออกไปแล้ว แนวคิดเช่นนี้สอดคล้องกับการวัดรังสีโดยเครื่องนันไกเกอร์ซึ่งพบปริมาณรังสีในร่องดังกล่าวลดลงมาก เมื่อเทียบกับก่อนที่จะนำเอามวลสินแร่ออกไป แม้ว่าปริมาณรังสียังคงสูงกว่าแบคกราวด์อยู่พอสมควร ประการที่สองค่ารังสีอัลฟาระดูสูงเล็กน้อย (1.5 เท่าของค่าแบคกราวด์) ที่เป็นแนวชัดเจนนั้น อาจแสดงถึงร่องรอยของแร่บูเรเนียมตามแนวดังกล่าวซึ่งหากเป็นแร่บูเรเนียมในระดับตื้น (1-2 เมตรจากผิวดิน) ก็คงเป็นแร่ที่มีปริมาณหรือความเข้มข้นเพียงเล็กน้อยไม่มีคุณค่าทางเศรษฐกิจแต่หากเป็นแร่บูเรเนียมที่เกิดในระดับลึกและให้กําษะแรงดันซึ่งมาตรฐานแนวรอยแต่กรอยแยกที่สายคาดอุตสาหกรรมที่ก่ออาจะเป็นแร่ที่มีปริมาณหรือความเข้มข้นสูงได้ การตรวจสอบสายแร่ในระดับลึกตั้งแต่ 2 เมตรขึ้นไปควรจะกระทำโดยการเจาะรูสำรวจมากกว่าการชุดร่อง อย่างไรก็ตามการเจาะไม่สามารถกระทำได้ในกรณีศึกษาครั้งนี้ภายใต้ข้อจำกัดในด้านวัสดุอุปกรณ์ เครื่องมือ ตลอดจนค่าใช้จ่ายในการสำรวจ



รูปที่ 4.5 แผนภาพการซึ่งมองของวงจรภายในเครื่องวัดกัมมันตภาพรังสี



รูปที่ 4.6 แสดงการวัดอนุภาคอัลฟ่าจากเรดอน โดยอาศัยเครื่องมือที่ใช้หัววัดแบบชอตกีบ雷耶



รูปที่ 4.7 แผนที่ความหนาของรังสีบลัฟฟาราที่วัดได้ จำนวนท่า ค่าแบบคร่าวๆ  
+ สถาปัตยนิเวศวัฒนธรรมร่องรอยไปเปล่า 2.5 Contour ปริมาณรังสีบลัฟฟารา  
ปริมาณที่ดูดมาวัลสินทรัคต์ออกไปเปล่า 2.5 กายลังที่ชุด ความลับสีน้ำเงินร่องรอยไปเปล่า<sup>+</sup>  
ลักษณะมา 1 เมตร

รูปที่ 4.7 แผนที่ความหนาของรังสีบลัฟฟาราที่วัดได้ในบริเวณสถานี M208 กายลังที่ชุด ความลับสีน้ำเงินร่องรอยไปเปล่า<sup>+</sup>  
กินห่วงจักรน้ำเทาของคานแบคกราวด์

## บทที่ ๕

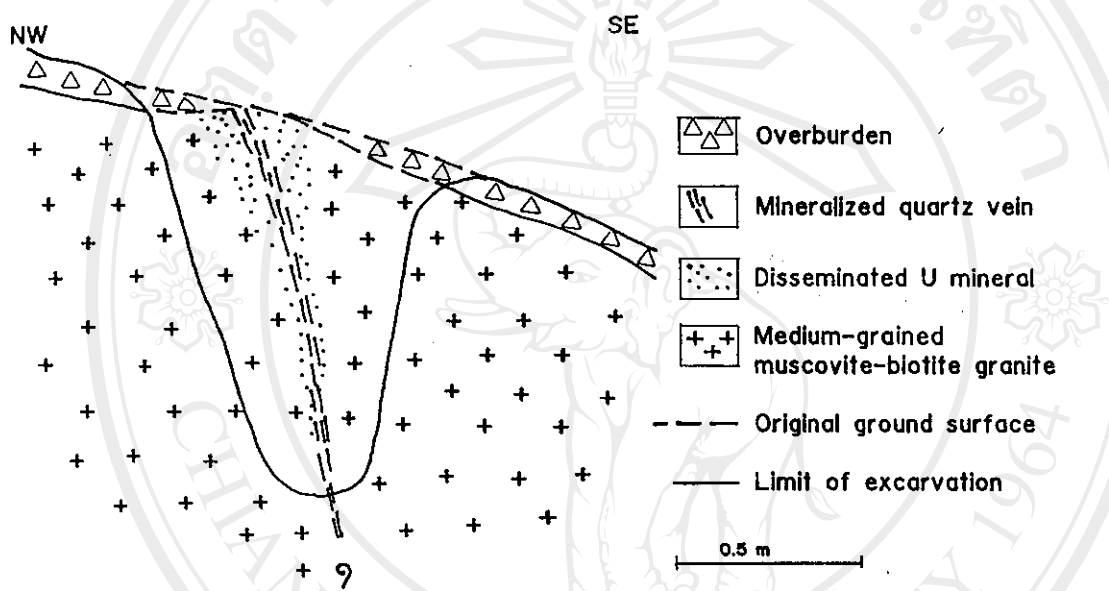
### กระบวนการเกิดแร่ยูเรเนียม และ ศักยภาพของแหล่งแร่

#### 5.1 กระบวนการเกิดแร่ยูเรเนียม

จากการศึกษาทางด้านวิทยาแร่ทำให้ทราบว่าแร่ยูเรเนียมที่พบบริเวณสถานี M208 (หรือ P18 เดิม) เป็นแบบทุติกุมิ มีสีเชียวเกิดในโซนแตกหัก (crush and breccia zone) ของสายคาวอร์ตซ์เดินซึ่งตัดเข้าไปในหินแกรนิต แร่ยูเรเนียมทุติกุมิมีคือ เมตาทอร์เบอร์ไนต์ ( $\text{metatorbernite, Cu}(\text{UO}_2)_2(\text{PO}_4)_2 \cdot 8\text{H}_2\text{O}$ ) และทอร์เบอร์ไนต์ ( $\text{torbernite, Cu}(\text{UO}_2)_2(\text{PO}_4)_2 \cdot 8-12\text{H}_2\text{O}$ ) แร่ทั้งสองชนิดมีส่วนประกอบทางเคมีคล้ายกัน แตกต่างกันตรงปริมาณน้ำซึ่งปริมาณน้ำในเมتاทอร์เบอร์ไนต์มีน้อยกว่า หัวน้ำเนื่องจากการสูญเสียน้ำในช่วงระยะเวลาที่ผ่านมา โซนสายคาวอร์ตซ์แตกหักที่พบว่ามีแร่ยูเรเนียมเกิดขึ้นเมื่อขนาดกว้างประมาณ 10 เซ็นติเมตร มีพิษทางการวางตัวโดยมีแนวระดับ (strike) N37E มีมุมเท (dip) 80-90 SE บริเวณส่วนกลางของโซนสายคาวอร์ตซ์มีลักษณะของคาวอร์ตซ์ที่แตกหักและแปรรูป (รูปที่ 2.9) ในลักษณะเป็นเลนส์หรือลิ่มหรือทรงรี ในส่วนที่เป็นเม็ดขนาดเล็กอบ ๆ คาวอร์ตซ์จะมีแร่ยูเรเนียมสีเชียวเป็นเกล็ดเป็นกลุ่มเกิดเข้ามาแทรก นอกจากนั้นยังพบว่าแร่ยูเรเนียมเกิดเป็นกลุ่มและประจราจาย (disseminated) ในผังหินมัสโคไวต์-ไบโอไทด์แกรนิตเนื้อหินปานกลางและเปลี่ยนสภาพ (altered medium-grained muscovite-biotite granite)

จากการศึกษาของสำราจหาข้อมูลของสายคาวอร์ตซ์แตกหักที่มีแร่ยูเรเนียมแทรกอยู่ ซึ่งได้ชุดหักทั้งแนวราบและแนวดิ่งจากจุดที่สายคาวอร์ตซ์แตกหัก ผลลัพธ์ในบริเวณสถานี M208 (รูปที่ 4.4) พบว่าโซนที่มีแร่ยูเรเนียมมีขนาดยาวประมาณ 4.5 เมตร กว้างประมาณ 0.5 เมตร และลึกประมาณ 1 เมตร บริเวณที่มีแร่ยูเรเนียมคุณมากเกิดในระดับลึกประมาณ 10-30 เซ็นติเมตร

จากผิดกันที่ระดับลึกกว่าน้ำสายควรที่มีขนาดเล็กลง และบางแห่งก็ตื้นหายไปพร้อม ๆ กับปริมาณของแร่ยูเรเนียมที่ลดน้อยลงไปด้วย สมมุติฐานของการเกิดแร่ยูเรเนียมได้แสดงไว้ในรูปที่ 5.1



รูปที่ 5.1 รูปตัดขวางแสดงสมมุติฐานของสายควรที่แตกหักที่มีแร่ยูเรเนียมเกิดแทรก

จากการลักษณะการเกิดแร่ยูเรเนียม เมتاทอร์เบอร์ไนต์ และทอร์เบอร์ไนต์ ซึ่งเป็นแร่ยูเรเนียมแบบทุติยภูมิ และมีการเกิดแบบแทรกตามช่องว่างของการแตกหักของสายควรที่นั่น พอที่จะอธิบายการเกิดได้ว่าจะเกิดจากการซัลังเออธาตุ U, Cu และ  $\text{PO}_4^{3-}$  จากหินแกรนิตหรือชาตุ ปฏิจากแร่ยูเรเนียมปฐมภูมิในระดับลึกมาสู่ผิวน้ำ และก่อตัวเป็นทอร์เบอร์ไนต์ ในโซนแตกหักของสายควรที่โดยน้ำร้อน (hydrothermal solution) ซึ่งมีแหล่งจากเบื้องล่างนอกจากนี้แล้วน้ำร้อนมีเย็นมีผลต่อผิวน้ำทำให้เกิดการเปลี่ยนสภาพ (alteration) ซึ่งธาตุยูเรเนียมที่มากันน้ำร้อนจะเกิดสะสมตัวบ้างในผิวน้ำดังกล่าว

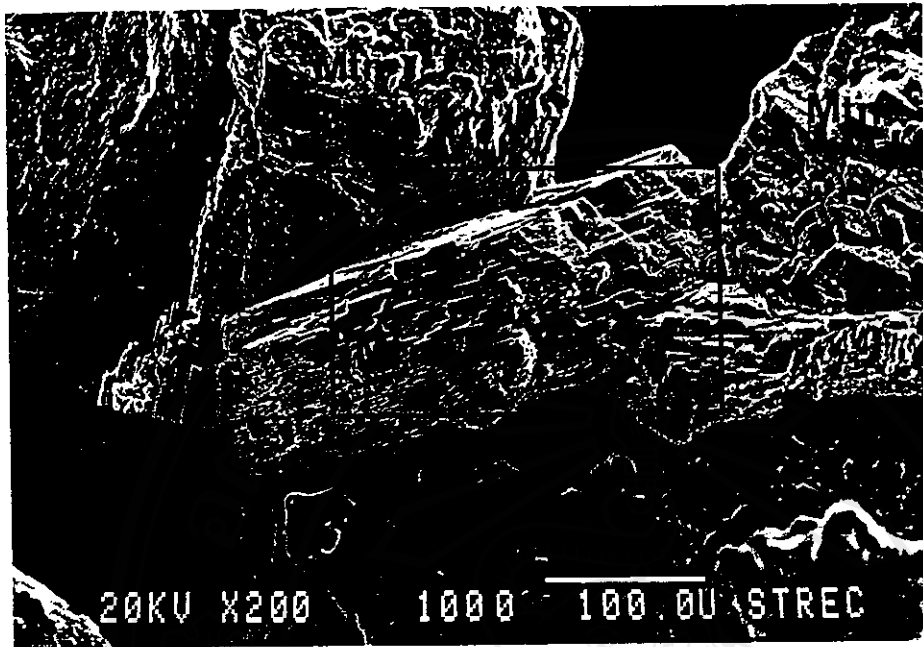
## 5.2 วิทยาแร่

การศึกษาวิทยาแร่ของแร่ยูเรเนียม ก็เพื่อที่จะทราบถึงชนิดของแร่ยูเรเนียมที่เกิดตามร่องแทกหรือช่องว่างระหว่างเนื้อคาวอร์ตซ์ของสายคาวอร์ตซ์แทกหัก แร่ยูเรเนียมที่พบมีสีเชียวสด (รูปที่ 2.9) มองด้วยตาเปล่าเห็นเป็นเกล็ดรวมตัวกันเป็นกลุ่ม และแบบประกระยะตามช่องว่างของสายคาวอร์ตซ์แทกหัก และในแผ่นหินแกรนิต (granitic wall rock) การศึกษาเพื่อที่จะทราบชนิดของแร่ยูเรเนียมสีเชียว อาศัยวิธีการทาง scanning electron microscopy (SEM) และ powder X-ray diffraction (XRD)

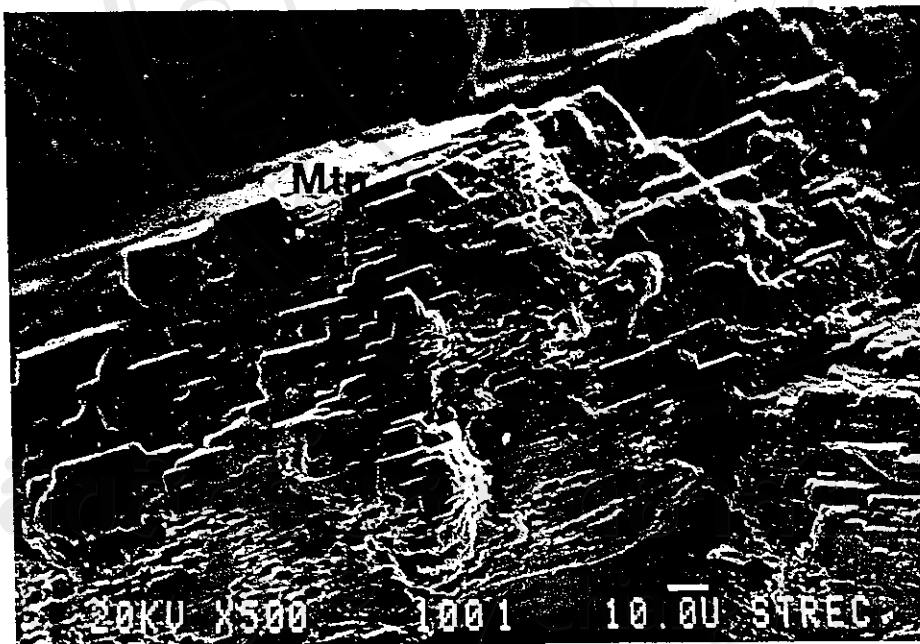
### 5.2.1 ผลทาง scanning electron microscopy (SEM)

ผลของการศึกษาลักษณะของ morphology โดยอาศัย SEM เห็นว่า ลักษณะแร่สีเชียวมีลักษณะแบบ (tabular) ซ้อนกัน (รูปที่ 5.2(ก) และ (ข)) จากการวิเคราะห์โดย energy dispersive X-ray spectrometer ทำให้ทราบถึง spectra ต่าง ๆ ที่ประกอบด้วย U, P, Si, Cu และส่วนน้อยของ Fe (รูปที่ 5.3) นอกจากตัวอย่างแร่สีเชียวแล้ว ยังพบว่ามีคาวอร์ตซ์ที่ก่อตัวเป็นผลึกขนาดเล็ก ๆ (รูปที่ 5.4) เกิดร่วมกับแร่สีเชียว คาวอร์ตซ์มีสีเข้ม เกือบดำซึ่งเป็นชนิดหนึ่งของคาวอร์ตซ์เรียกว่า smoky quartz จากการวิเคราะห์ทาง energy dispersive X-ray spectrometer ทำให้ทราบว่ามี U เป็นในคาวอร์ตซ์ด้วย (รูปที่ 5.5)

ลิขสิทธิ์มหาวิทยาลัยเชียงใหม่  
Copyright © by Chiang Mai University  
All rights reserved

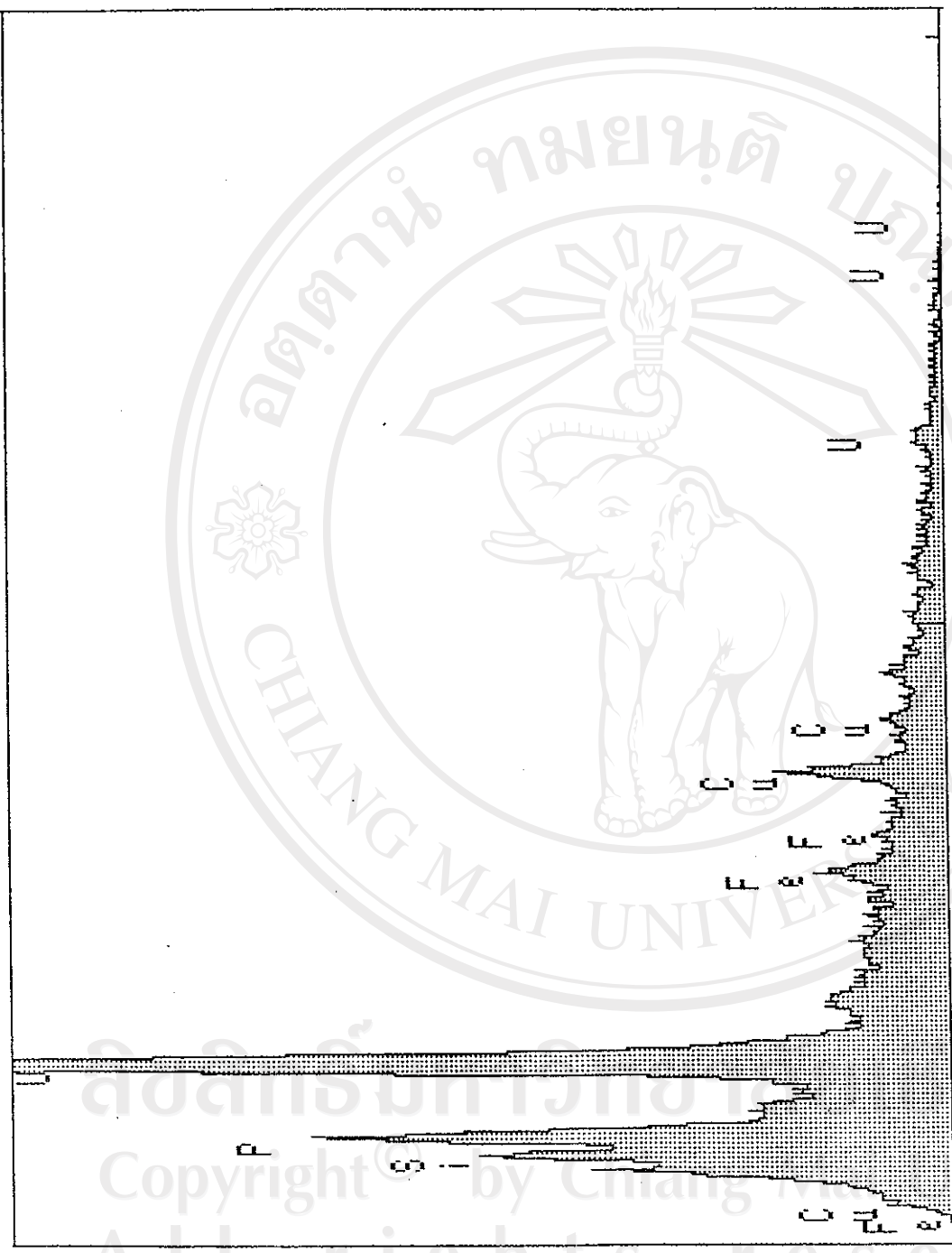


(ก)



(ข)

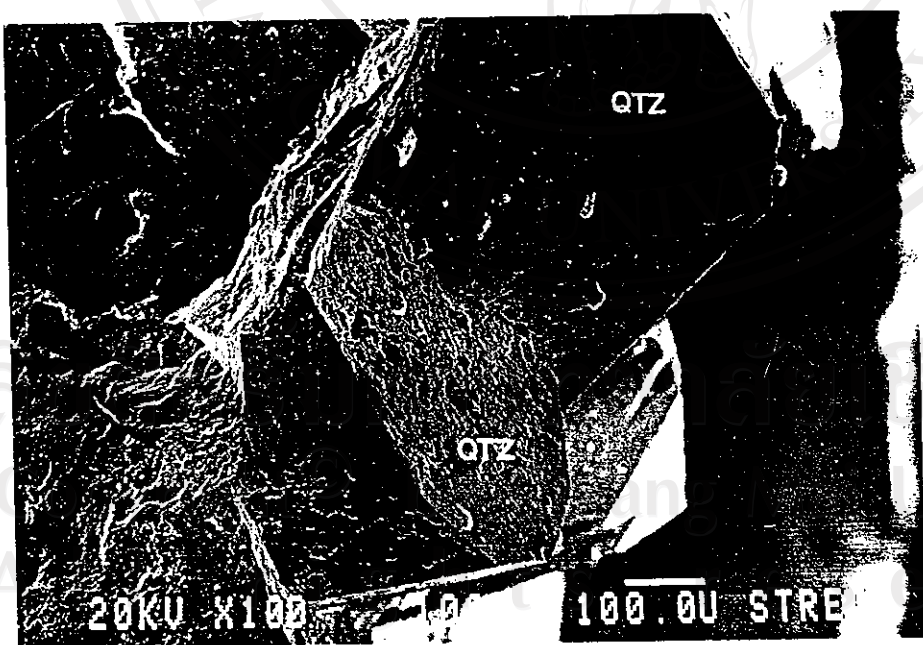
- รูปที่ 5.2 (ก) รูปถ่าย SEM ของเมตาฟอร์บอินต์ (MIN) ที่มีลักษณะเป็นแผ่นๆ บางๆ  
 (ข) รูปขยายของเมตาฟอร์บอินต์จากรูป (ก) แสดงรายละเอียดเพิ่มขึ้น



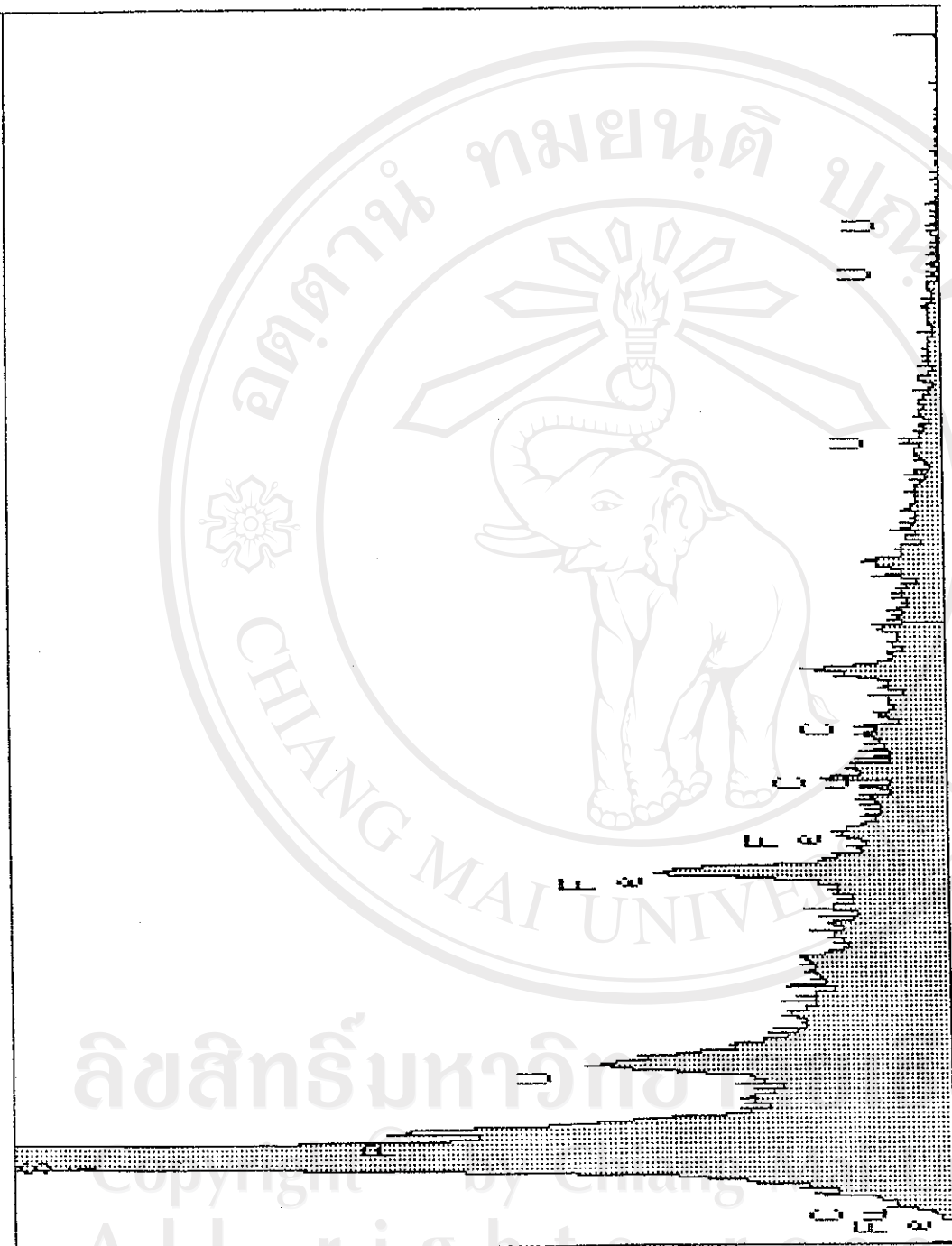
รูปที่ 5.3 Spectra ของธาตุทาง อ. พงษ์เนตร เจริญสืบ ชัยวิศวกรรมศาสตร์ วิศวกรรมศาสตร์  
X-ray spectrometer

### 5.2.2 ผลทาง X-ray diffraction (XRD)

ผลของการศึกษาโดยอาศัยวิธี powder X-ray diffraction โดยการนำเอาตัวอย่างมาคัดภายนอกล้องจุลทรรศน์สามมิติ และนำไปวิเคราะห์ เพื่อได้รูปแบบของผง ผลที่ได้สอดคล้องกับข้อมูลที่ได้จากการศึกษาโดยวิธี energy dispersive X-ray spectrometer ทำให้ทราบว่าแร่สีเชียวที่เกิดตามช่องว่างของครอตซ์แตกหักนั้น ประกอบด้วยส่วนใหญ่ของเมทาฟอร์เบอร์ไนต์ และส่วนน้อยของทอร์เบอร์ไนต์ ผลของการศึกษาทาง XRD ของแร่สีเชียวเรเนียน ชนิดเมตาฟอร์เบอร์ไนต์และทอร์เบอร์ไนต์ แสดงข้อมูลในตารางที่ 5.1 และ 5.2 ตามลำดับ



รูปที่ 5.4 รูปถ่าย SEM ของ smoky quartz (Qz)



รูปที่ 5.5 Spectra ของคราต่าง ๆ ที่ปฏิบัติการซึ่งน้ำมันควอตซ์ส้ม (smoky quartz) วิเคราะห์โดย energy dispersive X-ray spectrometer

ตารางที่ 5.1 ข้อมูลทาง X-ray diffraction ของเมตาทอร์เบอร์ไนต์

hkl	$2\theta_{\text{obs}}$	$d_{\text{obs}}$	$I_{\text{obs}}$
002	10.182	8.6807	93.99
102	16.286	5.4382	25.75
200	25.522	3.4873	22.84
104	24.177	3.6782	50.78
202	27.563	3.2335	17.66
212	30.488	2.9296	10.96
115	31.209	2.8636	6.77
106	33.591	2.6658	11.82
214	35.483	2.5279	10.86
222	37.949	2.3691	7.14
310	40.994	2.1999	10.62
008	41.720	2.1632	13.83
108	43.501	2.0787	7.37
304	44.266	2.0445	10.87
118	45.768	1.9809	12.85
322	48.266	1.8840	4.52
208	49.555	1.8380	5.92
324	51.782	1.7641	8.28
0010 ?	52.642	1.7373	5.00
402	53.683	1.7060	3.89
412	55.360	1.6582	4.83
1110	56.237	1.6344	7.13
414	58.635	1.5732	7.39

### ตารางที่ 5.2 ข้อมูลทาง X-ray diffraction ของทอร์เบอร์ไนต์

hkl	$2\theta_{obs}$	$d_{obs}$	$I_{obs}$
101	13.242	6.6807	30.07
004	17.004	5.2102	27.39
110, 103	17.932	4.9427	26.60
105, 114	24.831	3.5828	32.32
211	28.677	3.1105	6.45
-	32.692	2.7370	8.16
-	37.140	2.4188	5.76
-	47.352	1.9183	6.38
-	48.888	1.8615	4.65

### 5.3 ศักยภาพของแหล่งรั่ว

จากการชุดร่องสำรวจนิบริเวณสายคาดหักที่มีในตาทอร์เบอร์ไนต์ และทอร์เบอร์ไนต์ที่สถานี M208 พบว่า มวลสินแร่รูเรเนียมมีปริมาณตั้งสิ้นเพียง 1.5 ลูกบาศก์เมตร โดยมีเกรดเฉลี่ย 1.15 เปอร์เซ็นต์รูเรเนียม และการค้นหาสายรั่วเพิ่มเติมโดยการชุดร่องตรวจและตรวจด้วยกล้องจุลทรรศน์ ณ บริเวณโชนสินแร่ (รูปที่ 4.4 และรูปที่ 4.7) ที่มีเกรดขนาดนี้ไปทางด้านซ้าย เคียงในระดับเดียวกัน

เนื่องจากนวัตกรรมที่พบในพื้นที่สำรวจมีขนาดเล็กมาก จึงไม่สามารถเรียกได้ว่าเป็น  
แหล่งแร่ ออย่างไรก็ตามถึงแม้ว่าสินแร่ที่สำรวจมีปริมาณเพียงเล็กน้อยแต่โอกาสที่จะพบสินแร่  
อยู่เรเนียมในลักษณะนี้ในรัศมีหกลาย ๆ กิโลเมตรรอบบริเวณดอยแปบมักกี้ยังมีอยู่ โดยเฉพาะ  
บริเวณที่รองรับด้วยพิภานิตชุดเดียวกันนี้ และควรใช้สายคาดการณ์ขนาดเล็กที่มักเกิดเหตุก่อให้  
ไปเป็นตัวซึ้นนำ ตัวอย่างสินแร่ที่ดอยแปบมักกี้แสดงให้เห็นว่าสายคาดการณ์ที่มีแร่ยูเรียมเกิดร่วม มี  
ขนาดกว้างประมาณ 10 เซ็นติเมตร และมีเนื้อแบบการเปลี่ยนลักษณะแตกต่าง วางตัวในแนว NB-

SW



ลิขสิทธิ์มหาวิทยาลัยเชียงใหม่  
Copyright © by Chiang Mai University  
All rights reserved

## บทที่ ๖

### สรุปผลการสำรวจแร่ยูเรเนียม

#### ๖.๑ สรุปผลด้านธรณีวิทยา

การศึกษาลักษณะทั่วไปทางธรณีวิทยา ทำให้ทราบว่าพื้นที่สำรวจบริเวณเดียวกันนั้นประกอบด้วยทินมัสโคไวน์-ไบโอลายต์แกรนิต มีขนาดปานกลางถึงใหญ่ มีลักษณะโครงสร้างที่สำคัญคือรอยเลื่อนแบบตามแนวระดับ (strike-slip fault) โดยมีทิศทางหลักอยู่ ๒ แนว คือ ประมาณ NE-SW (N30E70-80SE) และ NW-SE (N50W) โดยมีมุนเทเก็อบตั้งฉาก ซึ่งมีผลทำให้เกิดรอยแตก (fractures) และรอยแยก (joints) ซึ่งอาจจะเกิดพร้อม ๆ หรือเกิดหลังรอยเลื่อน รอยเลื่อนและรอยแตกแบบพินเนตที่เกิดในทินมัสโคไวน์-ไบโอลายต์แกรนิต ทำให้เกิดช่องว่างในหิน ซึ่งเป็นช่องทางของกระบวนการนำร้อนที่มีธาตุซิลิกาเป็น (silica-bearing hydrothermal fluids) ก่อตัวเป็นสายควรต์ซ์ในปัจจุบัน

รอยเลื่อนในพื้นที่สำรวจน่าจะเกิดขึ้นอย่างน้อยสองครั้ง รอยเลื่อนครั้งแรกมีผลทำให้เกิดรอยแยกแตก และเกิดสายควรต์ซ์เข้ามาแทรก รอยเลื่อนครั้งที่สองมีผลทำให้เกิดการเปลี่ยnlักษณะ (deformation) ของสายควรต์ซ์ ดังเช่น สายควรต์ซ์แตกหักที่มีเรี่ยureเนียมเข้าไปเกิด (รูปที่ 2.9) ซึ่งพบที่สถานี M208 (หรือสถานี P18) จากผลของการพล็อตสเตริโอด้วยวงจรเดียว แสดงให้เห็นภาพรวมทั้งหมดในรูปที่ 2.8 โดยมีแนววางตัวในทิศทาง N45E และมีมุนเท 84SE และอีกแนวหนึ่งคือ EW83S ซึ่งสะท้อนถึงความล้มเหลวที่มีกับแนวรอยเลื่อนใหญ่ของพื้นที่ (NE-SW; N30E70-80SE) แนวแยกทิศทาง EW ก็สอดคล้องกับแนวรอยเลื่อนรอง เช่นที่พบในพื้นที่สำรวจติดกับบยอดดอยแปบอมกคลุนสถานี P18 (รูปที่ 2.2)

## 6.2 สรุปผลการวัดรังสี gamma และการวัดเรดอน

ผลการวัดรังสี gamma โดยแกมมาเรย์สเปกโตรนิเตอร์ และบันบริเวณที่นำสนใจเพียงสองบริเวณเดียวที่สถานี M208 หรือสถานี P18 เดิม (รูปที่ 3.3 และรูป 3.5) และสถานี B20 (รูปที่ 3.7 และรูปที่ 3.9) ที่สถานี M208 มีค่ารังสีสูงมากซึ่งสอดคล้องกับข้อมูลที่ว่าแร่ยูเรเนียมในบริเวณนี้ผลลัพธ์มماถึงผิด din ส่วนที่สถานี B20 มีค่ารังสีต่ำกว่ามาก และจากการตรวจสอบที่ผิด din ก็ไม่พบแร่ยูเรเนียมแต่อย่างใด ดังนั้นที่สถานี B20 นี้ชาตยูเรเนียมที่เป็นต้นกำเนิดค่าผิดปกติรังสี gamma น่าจะซ่อนอยู่ใต้ผิด din ในระดับตื้น คือลึกไม่เกิน 0.3-0.5 เมตร

สำหรับการวัดเรดอนให้ข้อมูลที่นำสนใจอยู่หลังบริเวณ โดยเฉพาะที่สถานี M208 มีค่าความหนาแน่นร้อยอนุภาคอัลฟาร้าจากเรดอนสูงมาก ดังนั้นเมื่อพิจารณารวมกับผลการวัดรังสี gamma ที่สถานีนี้ ก็ยืนยันได้ชัดเจนว่ามีลิสแร่ยูเรเนียมในบริเวณนี้แน่นอน ซึ่งต่อมาก็ได้ขุดร่องสำรวจหาข้อมูลของสายแร่ และพบว่าแร่ยูเรเนียมเป็นชนิดที่มีสีเขียว แทรกอยู่ในสายคาวอร์ตซ์แตกหัก ซึ่งกว้างประมาณ 10 เซ้นติเมตร และประกระจายในแผ่นหินแกรนิตติดกับสายคาวอร์ตซ์ มวลลิสแร่ที่พบ芽平均 4.5 เมตร กว้าง芽平均 0.5 เมตร สูง芽平均 1 เมตร (รูปที่ 5.1) สินแร่ที่มียูเรเนียมติดมากจะอยู่ในระดับลึก 10-30 เซ้นติเมตรจากผิด din

ที่สถานี B20 ค่าความหนาแน่นร้อยอนุภาคอัลฟาร้าจากเรดอนสูงกว่าค่าเทรสโซ่ลด์เพียงเล็กน้อย ดังนั้นเมื่อพิจารณารวมกับข้อมูลรังสี gamma มาที่กล่าวไปแล้วข้างต้น ก็น่าจะสรุปได้ว่าชาตยูเรเนียมในบริเวณนี้คงมีเพียงเล็กน้อย เมื่อเปรียบเทียบกับสถานี M208 และคงไม่มีคุณค่าทางเศรษฐกิจแต่อย่างใด

สำหรับอีกสองสถานีที่ให้ค่าความหนาแน่นร้อยอนุภาคอัลฟาร้าจากเรดอนสูง ได้แก่สถานี L206 และสถานี J306 (รูปที่ 4.2 และรูปที่ 4.3) แต่ทั้งสองสถานีนี้ไม่ได้ให้ค่าสูงผิดปกติของรังสี gamma แต่อย่างใด ดังนั้นน่าจะหมายถึงว่าชาตยูเรเนียมซึ่งเป็นต้นกำเนิดค่าผิดปกติของเรดอนคงจะฝังอยู่ใต้ดินที่ระดับลึกกว่า 0.3-0.5 เมตร ซึ่งเป็นความลึกที่เพียงพอที่จะปิดกั้นรังสี gamma จากแร่ดังกล่าว ไม่ให้ขึ้นมาสู่หัวรังสีได้ และถ้าหากแร่ยูเรเนียมฝังอยู่ในระดับลึก芽平均 1 เมตร ก็คงเป็นแร่ที่มีเกรดต่ำมาก เมื่อเทียบกับสถานี M208 ทั้งนี้เพราะเหตุว่าค่าผิดปกติจาก

เรดอนที่สถานี M208 (ซึ่งมีตันกำเนิดจากแร่ยูเรเนียมระดับลีกตั้งแต่ 0.5-1 เมตร) มีค่าสูงกว่าที่สถานี L206 และสถานี J306 หาก อย่างไรก็ตามค่าผิดปกติของเรดอนขนาดนี้อาจเป็นผลมาจากการแร่ยูเรเนียมตันกำเนิดที่ฝังอยู่ในระดับลีก (10-20 เมตรหรือมากกว่า) ได้ การตรวจสอบข้อมูลในระดับลีกเช่นนี้จำเป็นต้องใช้สำรวจช่องอุบลอกหนีอุบล เชิงการศึกษาครั้งนี้

### 6.3 สรุปผลด้านกระบวนการเกิดแร่และศักยภาพแหล่งแร่

จากการศึกษาทางวิทยาแร่ พบว่า แร่ยูเรเนียมสีเขียวที่เกิดในสายภาครัฐแทบทั้งที่สถานี M208 เป็นแร่ยูเรเนียมทุติยภูมิ เรียกว่า เมตาทอร์เบอร์ไนต์ และทอร์เบอร์ไนต์ แร่ดังกล่าวจะเกิดจากการซึ่งล้างเออชาตุ U, Ce, และ  $\text{PO}_4^{3-}$  จากหินแกรนิต หรือชาตุ U จากแร่ยูเรเนียมปูนภูมิในระดับลีกโดยมีร้อน แล้วมาสะสมตัวกันและก่อตัวเป็นทอร์เบอร์ไนต์ในโซนแทบทั้งของสายภาครัฐ แต่ต่อมาก็จะเปลี่ยนเป็นเมตาทอร์เบอร์ไนต์เนื่องจาก การสูญเสียน้ำออกไป

นอกจากแร่เมตาทอร์เบอร์ไนต์ที่เกิดในสายภาครัฐแทบทั้งแหล่ง ยังพบว่าแร่ชนิดนี้เกิดประจราจายในผังหินแกรนิตที่ติดกับสายภาครัฐด้วย ซึ่งแสดงถึงกระบวนการเปลี่ยนสภาพโดยน้ำร้อนที่นำพาเอา>yureneiumเข้าไปเกิดในหินแกรนิต จากลักษณะทางวิทยาแร่พหุที่จะสรุปได้ว่า แร่ยูเรเนียมในพื้นที่สำรวจเกิดจากกระบวนการน้ำร้อน (hydrothermal process) และไม่มีความสัมพันธ์โดยตรงกับกระบวนการหินหนัด (magmatism)

เนื่องจากมวลสิ่งแร่ยูเรเนียมที่พบในพื้นที่สำรวจบริเวณสถานี M208 (หรือสถานี P18 เดิม) มีขนาดเล็กมากจึงไม่สามารถเรียกได้ว่าเป็นแหล่งแร่ คือมีปริมาณตั้งสิ้นเพียง 1.5 ลูกบาศก์เมตร โดยมีเกรดเฉลี่ย 1.15 เปอร์เซ็นต์ยูเรเนียม อย่างไรก็ต้องแม่ว่าสิ่งแร่มีปริมาณน้อย และถูกขุดขึ้นมาเก็บเหมือนระหว่างการขุดร่องสำรวจ แต่การสำรวจเรดอนหมายหลังการขุดสินแร่ออกไปแล้ว ยังคงให้ค่ารังสีจากเรดอนที่น่าสนใจ แม้ว่าค่ารังสีเหล่านี้จะสูงกว่าค่าแบคกราวน์ไม่มากนัก ทั้งนี้ เพราะเหตุว่าค่ารังสีจากเรดอนแสดงแนวทิศทางที่ใกล้เคียงกับแนวสายภาครัฐที่เกิดแร่บริเวณสถานี M208 (รูปที่ 4.7) ซึ่งเป็นไปได้ว่าค่ารังสีจากเรดอนที่แสดงแนวชัดเจนนั้น

หมายถึงร่องรอยของแร่ยูเรเนียมตามแนวตั้งกล่าว ซึ่งหากเป็นแร่ยูเรเนียมระดับตื้น (1-2 เมตร จากผิวดิน) ก็คงเป็นแร่ที่มีปริมาณหรือความเข้มข้นเพียงเล็กน้อย ไม่มีคุณค่าทางเศรษฐกิจ แต่หากเป็นแร่ยูเรเนียมที่เกิดในระดับลึก 10-20 เมตร หรือมากกว่า และให้ก้าชредอนชั้นมาตรฐาน แนวรอยแตกรอยแยกที่สายควรต์แทรกขึ้นมา ก็อาจเป็นแร่ที่มีปริมาณหรือความเข้มข้นสูงได้ ประกอบกับสถานี M206 ซึ่งอยู่ไม่ห่างจากสถานี M208 มากนัก (รูปที่ 4.2) ก็แสดงค่าสูงผิดปกติ ของความหนาแน่นร้อยอนุภาคอัลฟาระดอน ดังนั้นจึงอาจกล่าวได้ว่าบริเวณสถานี M208 และบริเวณใกล้เคียงยังเป็นบริเวณที่น่าสนใจที่จะตรวจสอบในระดับลึก (10-20 เมตร หรือมากกว่า) เพื่อยืนยันให้แน่ชัดว่ามีลินแร่ยูเรเนียมอยู่มากน้อยเพียงใด

ลิขสิทธิ์มหาวิทยาลัยเชียงใหม่  
Copyright © by Chiang Mai University  
All rights reserved

## เอกสารอ้างอิง

กิตติชัย วัฒนานิกร, พงษ์พอ อาสนจินดา และอรอนงค์ ศรีสันติสุข, 2531, การนาความเข้มข้นของกัซเรดอนให้ผ้าดิน และในอากาศบริเวณเมืองลิงค์กิง เมืองโตโย บ้านดอยเต่า อำเภอ doodoy เต่า จังหวัดเชียงใหม่ โดยใช้แผ่นเซลลูโลสในtered, รายงานการวิจัย, สถาบันวิจัยและพัฒนาวิทยาศาสตร์และเทคโนโลยี, มหาวิทยาลัยเชียงใหม่, 68 หน้า.

คณิต ประสิกธีการกุล, บัณฑิต ชัยศิลป์บุญ และสมชาย ทรัพย์สูงเนิน, 2524, รายงานการสำรวจธรณีวิทยา บริเวณบ้านแม่บ้าน ตำบลโปงทุ่ง อำเภอ doodoy เต่า จังหวัดเชียงใหม่, รายงานไม่ตีพิมพ์, ภาควิชาธรณีวิทยา, มหาวิทยาลัยเชียงใหม่, 65 หน้า.

พิเศษ ตุ๊กกลาง, 2534, การวิเคราะห์ยูเรเนียมแบบสัมบูรณ์โดยวิธีแกมมาสเปกโตรสโคป, การค้นคว้าแบบอิสระเชิงวิทยานิพนธ์, วิทยาศาสตร์มหาบัณฑิต, มหาวิทยาลัยเชียงใหม่, 95 หน้า.

วรรณชัย สายสุข, 2529, สภาพธารน้ำเคนเมื่อความสัมพันธ์ระหว่างยูเรเนียมกับแหล่งแร่พลอยอิร์ตบริเวณดอยซ้าง อำเภอ ก่อโภ จังหวัดเชียงใหม่, วิทยานิพนธ์, วิทยาศาสตร์มหาบัณฑิต, มหาวิทยาลัยเชียงใหม่, 143 หน้า.

Bailey, R.V. and Childers, M.O., 1977, Applied mineral exploration with special reference to uranium, Westview press, Boulder, Colorado, 542 p.

Geometrics, 1977, Survey guidelines for using a portable gamma ray spectrometer in uranium exploration, Geometrics technical report, No 13, 11 p.

Gringrich, J.E., Lovett, D.B., 1972, A track etch technique for uranium exploration, Trans. Amer. Nucl. Soc., 15, 118.

Inthuputi, B., 1971, Preliminary report on Phratu Teema Copper-radioactive deposits, Phu Wieng district, Khon Kaen province, northeastern Thailand, Unpublish file report, Economic Geology Div., DMR.

Inthuputi, B. and Suwanasing, A., 1978, Sandstone type uranium deposits, Khorat Plateau, Northeastern Thailand, Jour. Geol. Soc. Thailand, Vol 3, No 1, E2, 1-16.

Kristiansson, K. and Malmqvist, L., 1984, The depth-dependence of the concentration of  $^{222}_{\text{Rn}}$  in soil gas near the surface and its implication for exploration, Geoexploration, Vol.22, 17-41.

Luetzelschwab J.W., Helweick K.L and Hurst K.A., 1989, Radon concentrations in five Pennsylvania soils, Health Phys. Vol 56, 181-188.

Malmqvist, L., Isaksson, M. and Kristiansson, K., 1989, Radon migration through soil and bedrock, Geoexploration, Vol 26, 135-144.

McDermott, M.M., 1977, Field surveys using a portable gamma ray scintillometer, in Geometric technical report, No 12, 1979, 12 p.

Mogro-Campero, A. and Fleischer, R.L., 1977, Subterrestrial fluid convection : A hypothesis for long-distance migration of radon within the earth. Earth Planet. Sci. Lett., 34 : 321-325.

Potisat S. and Gunnaleka S., 1982, Uraniferous fluorite veins at Linking mine, Doi Tao, Chiang Mai., J. Geol. Soc. Thailand, Vol 5, 78-82.

Reedman J.H., 1979. Techniques in Mineral Exploration, Applied Science Publishers, London, 533 p.

Somogyi, G., Varga, Zs. and Paripas, B., 1983, Measurement of radon, radon daughters and thoron concentrations by multi-detector devices, *The Nucleus*, Vol. 20, 51-55.

Somogyi, G. and Lenart, L., 1986, Time-integrated radon measurements in spring and well waters by track technique, *Nucl. Tracks Radiat. Meas.*, Vol 12, 731-734.

Stranden E., Berteig L. and Ugletveit F., 1979, A study on radon in dwellings, *Health Phys.* Vol 36, 413-421.

Stranden E., Kolstad A.K. and Bjorn L., 1984, Radon exhalation : Moisture and temperature dependence, *Health Phys.* Vol 47, 480-484.

Tanner, A.B., 1964, Radon migration in the ground : A review. In : J. A.S. Adams and W.M. Lowder (Editor), *The Natural Radiation Environment*, Univ. of Chicago Press, Chicago, 161-190.

Tanner, A.B., 1980, Radon Migration in the ground : A supplementary review. In : T.F. Gesell and W.M. Lowder (Editors), *Natural Radiation Environment*, III Symp. Proc., Houston, Tex., April 1978, Vol 1, 5-56.

Telford, W.M., Geldart, L.P., Sheriff, R.E. and Keys, D.A., 1976, *Applied Geophysics*, Cambridge University press, Cambridge, 860 p.

- Von Braun, E., Besang, C., Eberle, W., Harre, W., Kreuzer, H., Lenz, H., Muller, P. and Wendt, I., 1976, Radiometric age determinations of granites in northern Thailand, Geologisches Jahrbuch, B. 21, 171-204.

Wattananikorn, K., Asnachinda, P. and Lamphunphong, S., 1990, Uranium exploration in the vicinity of abandoned fluorite mines, in northern Thailand, using cellulose nitrate films, Nucl. Geophys. Vol4, No 2, 253-285.

Wattananikorn, K., Ounchanum, P. and Vukjunt, B., 1991, Influential factors on background and threshold alpha track densities in soil-gas radon surveys, Journal of Thai Geosciences, Vol. 1, 65-71.

## ภาคผนวกที่ 1

ผลการวัดรังสีเกมมาโดยสเปกตรومิเตอร์

ณ สถานีสำรวจในบริเวณแรก (ติดกับบ้านคดอยแปลงอ้มัก) ในวันที่ 5-6 มกราคม 2534

Station	TC (CPS)	K (CPS)	U (CPS)	I <sub>h</sub> (CPS)
A-200	72.0	5.3	1.8	1.5
B-200	82.1	6.3	1.8	1.2
C-200	97.5	7.0	2.9	1.0
D-200	95.7	6.1	2.6	1.9
E-200	91.3	5.9	2.3	1.8
F-200	104.4	7.0	2.8	1.4
G-200	87.4	6.8	2.1	1.2
H-200	86.3	5.5	2.6	1.5
I-200	86.9	7.2	2.6	1.3
J-200	68.6	5.3	2.1	1.0
K-200	78.6	7.5	1.6	1.5
L-200	67.3	5.2	1.7	1.5
M-200	98.7	7.8	2.6	2.0
N-200	71.5	6.5	1.3	0.9
O-200	50.2	4.8	1.3	0.6
P-200	55.6	4.7	1.4	0.6
Q-200	54.9	4.9	1.6	0.5

Station	TC (CPS)	K (CPS)	U (CPS)	Th (CPS)
Q-201	68.5	6.8	1.9	1.2
P-201	64.8	6.3	1.1	1.0
O-201	79.3	7.4	1.8	1.2
N-201	66.1	4.9	1.8	1.2
M-201	57.9	4.1	1.4	0.9
L-201	67.8	4.8	1.3	1.1
K-201	81.5	5.8	2.6	1.5
J-201	73.1	5.6	1.9	1.1
I-201	50.6	4.3	1.5	0.8
H-201	78.7	5.9	2.1	1.0
G-201	87.7	6.8	2.9	1.3
F-201	92.7	8.1	2.5	1.7
E-201	78.4	6.0	1.9	1.0
D-201	75.1	5.7	1.9	1.3
C-201	74.5	6.7	2.4	1.3
B-201	93.3	7.6	2.7	1.3
A-201	90.2	7.0	2.9	1.4
Q-202	70.2	6.3	1.6	0.7
P-202	54.0	5.1	1.2	0.6
O-202	65.4	5.5	1.4	0.8

Station	TC (CPS)	K (CPS)	U (CPS)	Ih (CPS)
N-202	58.3	4.5	1.6	1.4
M-202	65.7	5.2	1.7	1.0
L-202	52.4	5.2	0.8	1.1
K-202	69.4	5.7	1.7	1.2
J-202	60.2	5.0	1.3	0.8
I-202	70.6	6.1	1.4	1.1
H-202	69.4	5.1	1.3	1.1
G-202	94.5	7.8	2.2	0.9
F-202	89.3	7.3	2.3	1.5
E-202	77.2	6.5	2.2	1.0
D-202	49.3	3.8	1.3	0.3
C-202	85.7	6.6	2.2	1.4
B-202	93.8	7.6	2.3	1.4
A-202	66.6	4.3	2.2	1.1
<hr/>				
A-203	85.8	6.1	1.9	1.0
B-203	76.6	6.7	2.5	1.6
C-203	70.0	5.1	1.7	1.1
D-203	72.0	6.5	2.2	1.1
E-203	44.5	2.7	1.1	0.4
F-203	72.7	5.4	2.0	1.0

Station	TC (CPS)	K (CPS)	U (CPS)	Ih (CPS)
G-203	68.5	5.4	2.0	1.4
H-203	55.7	3.9	1.4	0.6
I-203	58.8	4.4	1.5	1.2
J-203	65.0	5.7	1.6	1.5
K-203	59.9	4.4	1.7	0.7
L-203	80.9	5.8	1.7	0.9
M-203	64.2	5.2	1.6	1.1
N-203	65.6	5.9	1.3	1.2
O-203	65.5	5.7	1.3	1.1
P-203	60.9	4.8	2.1	0.9
Q-203	66.0	5.2	1.4	0.5
A-204	86.9	6.7	2.0	1.4
B-204	77.7	6.2	2.0	1.3
C-204	66.9	5.4	2.4	0.9
D-204	78.1	5.8	2.0	1.4
E-204	74.7	5.6	1.8	1.2
F-204	66.0	5.4	1.7	1.0
G-204	68.9	5.4	1.6	0.8
H-204	69.8	5.3	1.7	1.5
I-204	51.9	3.7	1.4	0.7

Station	TC (CPS)	K (CPS)	U (CPS)	Th (CPS)
J-204	53.4	4.4	0.9	0.5
K-204	53.9	4.8	0.8	0.7
L-204	77.9	6.8	2.0	1.4
M-204	89.3	6.7	2.4	1.5
N-204	67.0	5.4	1.7	1.3
O-204	88.7	7.3	2.4	1.9
P-204	78.4	5.5	2.2	1.4
Q-204	41.6	2.6	0.9	0.8
Q-205	65.2	4.9	1.6	0.7
P-205	93.0	6.9	3.1	2.0
O-205	101.9	8.4	2.2	1.4
N-205	95.0	7.4	2.9	1.6
M-205	93.4	8.2	2.2	1.5
L-205	70.6	5.6	1.7	0.8
K-205	67.0	4.2	1.7	1.0
J-205	43.5	2.7	0.9	0.5
I-205	79.8	5.6	1.9	1.5
H-205	65.0	5.6	1.8	1.0
G-205	75.1	6.6	1.7	1.1
F-205	86.9	8.2	1.4	1.2

Station	TC (CPS)	K (CPS)	U (CPS)	Ih (CPS)
E-205	109.7	9.2	3.1	1.6
D-205	93.0	5.9	2.6	1.3
C-205	71.2	7.1	1.4	0.6
B-205	66.5	4.8	1.4	1.1
A-205	64.6	5.1	1.8	0.7
Q-206	93.0	7.5	2.1	1.0
P-206	89.5	7.5	2.4	1.4
O-206	111.7	9.0	2.6	1.4
N-206	87.4	6.4	2.5	2.1
M-206	89.0	6.8	2.6	1.2
L-206	87.4	7.1	3.1	0.9
K-206	68.5	5.6	1.8	1.0
J-206	67.2	6.0	1.5	0.7
I-206	79.8	6.3	2.8	2.1
H-206	72.3	5.9	2.0	1.5
G-206	96.9	8.1	2.7	1.5
F-206	79.0	6.8	1.9	1.1
E-206	94.6	7.5	2.7	2.1
D-206	109.6	7.7	2.9	2.0
C-206	89.2	6.6	1.9	1.4

Station	TC (CPS)	K (CPS)	U (CPS)	Th (CPS)
B-206	54.2	3.8	1.2	0.9
A-206	49.1	4.0	1.4	0.4
A-207	75.2	5.1	2.1	0.9
B-207	53.5	4.3	1.4	0.7
C-207	94.5	6.5	2.5	1.6
D-207	105.7	7.6	3.2	1.5
E-207	98.8	6.8	2.7	1.5
F-207	90.0	6.0	2.9	2.1
G-207	89.2	6.2	2.8	1.6
H-207	88.5	5.7	2.6	1.8
I-207	71.8	5.5	1.9	1.0
J-207	88.9	6.0	3.2	1.7
K-207	78.1	5.5	2.4	1.4
L-207	68.8	5.0	2.0	0.5
M-207	97.8	7.1	2.4	1.4
N-207	93.8	8.3	2.7	1.8
O-207	93.1	8.6	2.3	1.6
P-207	82.9	6.8	2.1	1.0
Q-207	77.6	5.5	1.8	1.4

Station	TC (CPS)	K (CPS)	U (CPS)	Th (CPS)
A-208	85.8	5.7	2.3	1.2
B-208	90.4	5.6	3.2	0.9
C-208	110.9	7.0	2.8	3.1
D-208	81.3	5.1	2.4	1.0
E-208	106.9	7.4	2.6	1.8
F-208	83.2	5.7	1.9	1.4
G-208	94.6	7.7	3.1	1.6
H-208	89.7	6.6	2.3	2.0
I-208	96.1	7.6	3.2	1.7
J-208	72.8	6.0	1.6	1.3
K-208	76.5	4.5	2.2	1.5
L-208	73.9	4.7	1.9	0.8
M-208	357.6	20.5	14.7	1.7
N-208	92.9	8.9	2.7	2.0
O-208	94.2	7.2	3.1	1.6
P-208	79.9	6.1	2.2	0.8
Q-208	81.1	5.9	2.8	1.3
Q-209	108.6	7.7	3.6	1.5
P-209	80.6	5.5	3.0	0.7
O-209	100.4	7.4	3.0	1.1

Station	TC (CPS)	K (CPS)	U (CPS)	Th (CPS)
N-209	96.0	7.0	2.8	0.9
M-209	72.6	5.6	2.2	1.8
L-209	91.1	6.5	2.9	1.8
K-209	81.6	5.4	2.0	0.9
J-209	86.8	5.8	2.4	1.8
I-209	82.6	7.1	1.8	1.4
H-209	91.5	7.8	2.0	2.5
G-209	88.0	6.5	2.5	1.3
F-209	70.1	5.0	2.4	0.9
E-209	125.9	8.9	3.4	2.3
D-209	114.1	11.3	2.9	1.8
C-209	88.2	6.3	2.5	1.5
B-209	79.2	6.0	2.3	0.9
A-209	81.2	7.0	1.9	0.6
Q-210	84.0	6.2	2.2	1.4
P-210	74.1	5.4	2.1	0.7
O-210	89.6	7.0	2.7	0.8
N-210	80.8	5.6	2.9	1.7
M-210	93.5	6.0	2.8	2.0
L-210	83.0	6.0	2.3	1.4

Station	Tc (CPS)	K (CPS)	U (CPS)	Th (CPS)
K-210	92.2	7.7	2.1	1.7
J-210	75.9	5.5	1.9	1.4
I-210	97.6	6.7	2.8	2.2
H-210	88.7	6.9	2.1	1.4
G-210	94.5	7.3	2.4	1.5
F-210	80.6	6.7	1.7	1.2
E-210	119.4	8.2	3.7	2.2
D-210	107.5	9.4	3.4	2.0
C-210	107.0	7.0	1.5	1.7
B-210	83.1	5.7	1.9	1.0
A-210	83.8	7.6	2.5	1.4
A-211	91.6	6.9	2.8	1.3
B-211	77.5	5.9	2.1	1.5
C-211	96.1	6.4	1.7	2.1
D-211	97.5	7.0	2.9	1.3
E-211	111.6	7.7	3.2	2.2
F-211	103.0	8.8	2.3	1.6
G-211	83.9	6.0	2.3	1.6
H-211	76.0	6.8	1.7	1.5
I-211	76.5	5.5	1.5	0.9

Station	TC (CPS)	K (CPS)	U (CPS)	Th (CPS)
J-211	75.1	5.5	1.7	1.2
K-211	100.5	6.5	1.9	1.4
L-211	104.7	7.9	3.0	1.5
M-211	66.1	5.3	1.5	0.9
N-211	65.4	4.9	2.1	1.1
O-211	75.1	5.0	2.1	0.9
P-211	68.2	5.3	2.2	1.4
Q-211	90.7	6.7	2.2	1.5
A-212	89.6	6.5	3.4	1.0
B-212	100.6	8.0	3.0	1.5
C-212	100.4	6.6	2.6	1.5
D-212	99.4	8.1	4.1	2.1
E-212	103.5	7.1	3.4	1.9
F-212	120.3	8.9	2.6	1.7
G-212	98.8	8.2	3.0	1.5
H-212	90.6	7.5	2.4	1.9
I-212	72.4	6.1	1.7	1.2
J-212	87.3	6.1	2.4	1.6
K-212	95.5	7.9	2.5	1.8
L-212	97.3	6.5	2.8	1.6

Station	TC (CPS)	K (CPS)	U (CPS)	Th (CPS)
M-212	68.9	5.5	1.7	1.2
N-212	73.9	6.2	2.0	1.1
O-212	65.0	4.4	1.6	0.9
P-212	105.1	7.9	3.2	2.3
Q-212	111.7	8.3	3.3	2.5
Q-213	40.7	3.0	1.8	0.5
P-213	74.0	6.2	1.9	1.2
O-213	88.1	7.9	2.4	1.4
N-213	99.5	8.5	2.2	1.4
M-213	90.7	5.9	1.8	1.5
L-213	74.8	6.0	2.0	1.2
K-213	75.3	7.5	1.2	1.1
J-213	75.3	6.9	1.5	0.8
I-213	86.5	7.2	2.1	1.3
H-213	95.1	7.3	2.3	1.8
G-213	96.3	8.0	2.3	2.2
F-213	99.5	7.5	2.3	2.5
E-213	119.0	8.7	3.0	2.5
D-213	88.5	7.3	2.3	1.5
C-213	89.6	7.3	2.4	1.5

Station	TC (CPS)	K (CPS)	U (CPS)	Th (CPS)
B-213	70.2	5.0	2.6	1.0
A-213	83.3	5.3	2.8	1.0
Q-214	46.6	3.6	1.2	0.3
P-214	74.4	6.9	1.4	1.3
O-214	86.6	6.9	2.5	1.2
N-214	101.2	7.7	2.0	2.1
M-214	94.7	7.3	2.0	2.0
L-214	83.7	6.1	2.1	1.2
K-214	82.8	7.8	1.8	1.5
J-214	72.0	6.7	1.7	1.2
I-214	83.1	7.7	2.6	1.5
H-214	94.4	7.3	2.5	1.4
G-214	82.7	6.7	1.8	1.2
F-214	115.6	8.5	3.7	2.1
E-214	95.2	6.3	2.4	1.5
D-214	83.5	6.3	2.1	1.0
C-214	83.4	5.9	2.1	0.9
B-214	99.6	6.2	2.9	0.7
A-214	68.3	4.8	1.8	0.8

Station	TC (CPS)	K (CPS)	U (CPS)	Th (CPS)
A-215	76.5	5.3	2.3	1.0
B-215	71.3	4.3	2.3	1.2
C-215	79.4	5.3	3.4	0.9
D-215	80.2	5.5	2.8	1.5
E-215	100.8	8.3	2.8	1.5
F-215	127.6	9.5	3.0	2.4
G-215	79.2	6.3	2.2	1.2
H-215	82.3	6.0	1.9	1.7
I-215	77.2	6.7	1.8	1.2
J-215	96.5	8.7	2.6	1.6
K-215	70.9	6.5	1.7	1.3
L-215	77.3	4.8	2.3	1.0
M-215	96.6	8.3	1.9	1.6
N-215	96.6	6.3	2.3	1.6
O-215	69.7	6.2	1.6	1.2
P-215	54.5	3.7	1.5	1.1
Q-215	55.5	4.4	1.6	0.9
A-216	80.5	5.5	2.2	0.9
B-216	65.6	5.7	1.7	0.8
C-216	72.3	5.3	2.5	0.8

Station	TC (CPS)	K (CPS)	U (CPS)	Th (CPS)
D-216	71.4	4.9	2.5	0.9
E-216	118.5	8.8	2.4	1.5
F-216	94.6	6.6	3.0	2.6
G-216	85.2	7.7	2.7	2.1
H-216	77.7	5.7	2.5	0.9
I-216	87.6	7.4	2.0	1.7
J-216	101.1	8.8	2.9	1.8
K-216	67.3	5.2	1.7	1.2
L-216	72.3	5.8	2.4	1.2
M-216	99.0	7.5	2.5	2.0
N-216	97.3	8.6	2.1	2.4
O-216	83.2	6.5	1.6	1.3
P-216	59.6	4.0	1.5	1.2
Q-216	54.5	4.1	1.4	1.1

ลิขสิทธิ์มหาวิทยาลัยเชียงใหม่  
 Copyright © by Chiang Mai University  
 All rights reserved

## ภาคผนวกที่ 2

ผลการวัดรังสี gamma โดยสเปกโตรมิเตอร์  
 ณ สถานีสำรวจในบริเวณที่สอง (ห่างจากยอดดอยแบปอ้มกมทางตะวันตก  
 ประมาณ 1 กิโลเมตร) ในวันที่ 19-20 มกราคม 2534

Station	TC (CPS)	K (CPS)	U (CPS)	Ih (CPS)
A300	68.1	4.8	2.1	0.9
B300	80.9	4.6	2.4	1.0
C300	86.7	6.8	2.4	1.0
D300	84.1	5.9	2.1	0.9
E300	88.0	6.6	2.3	1.3
F300	81.0	6.0	2.1	0.9
G300	94.8	7.2	1.9	1.2
H300	95.9	7.0	2.4	1.3
I300	84.8	6.6	2.8	0.7
J300	105.0	7.6	3.2	1.3
K300	82.9	6.7	2.5	1.1
L300	68.1	5.5	1.3	0.8
M300	53.2	3.9	1.0	0.5

Station	Tc (CPS)	K (CPS)	U (CPS)	Th (CPS)
M301	62.5	5.1	1.9	0.4
L301	68.8	4.8	2.4	0.6
K301	59.9	4.9	1.6	0.4
J301	91.0	6.7	2.9	0.8
I301	77.7	5.6	2.6	0.8
H301	86.0	6.4	2.6	1.0
G301	89.8	6.0	2.2	1.1
F301	91.3	6.5	2.5	1.0
E301	87.6	6.7	2.8	1.0
D301	95.5	7.3	2.7	1.2
C301	96.4	6.9	2.8	1.2
B301	80.2	6.0	2.4	1.1
A301	87.3	7.7	2.4	0.7
<hr/>				
A302	86.7	8.1	2.6	1.3
B302	77.4	6.3	1.5	1.0
C302	87.1	6.6	2.9	1.3
D302	87.7	5.3	2.6	1.9
E302	91.8	7.3	2.7	0.8
F302	85.2	6.0	1.5	1.0
G302	77.1	5.1	2.3	0.7

<b>Station</b>	<b>TC</b> (CPS)	<b>K</b> (CPS)	<b>U</b> (CPS)	<b>Th</b> (CPS)
H302	85.8	6.9	2.4	1.1
I302	80.9	6.9	2.2	0.8
J302	75.3	6.3	2.0	0.9
K302	50.1	6.6	1.1	0.6
L302	51.5	3.5	1.8	0.6
M302	57.8	4.1	2.3	0.4
M303	71.1	5.2	1.9	0.8
L303	46.1	3.4	0.8	0.4
K303	69.1	4.5	2.5	0.9
J303	63.4	5.6	1.2	0.4
I303	70.2	5.6	2.3	0.9
H303	88.8	8.0	2.1	1.0
G303	91.2	6.4	2.7	0.9
F303	76.6	4.9	2.3	1.0
E303	88.8	6.3	2.3	0.7
D303	79.1	5.6	2.1	1.1
C303	78.4	5.3	2.0	0.9
B303	84.4	6.0	3.0	0.5
A303	67.6	5.2	1.0	0.6

Station	TC (CPS)	K (CPS)	U (CPS)	Th (CPS)
A304	63.8	6.1	2.0	0.5
B304	89.0	8.3	2.5	1.2
C304	70.9	5.1	1.1	0.6
D304	87.1	6.8	2.2	0.9
E304	79.3	5.6	2.3	0.8
F304	88.6	6.0	3.0	0.8
G304	93.1	6.9	2.7	0.6
H304	88.9	6.9	2.7	0.6
I304	91.2	5.8	2.7	0.7
J304	66.3	4.9	1.7	0.6
K304	63.5	3.5	1.5	0.9
L304	73.6	6.4	2.3	1.1
M304	92.9	8.2	2.1	1.2
M305	74.0	5.3	1.9	1.0
L305	56.8	4.7	1.7	0.9
K305	62.2	4.2	2.2	0.8
J305	79.3	5.4	2.8	0.7
I305	65.6	4.9	2.0	0.8
H305	74.2	7.0	1.9	1.0
G305	79.7	6.0	1.6	0.9

Station	Tc (CPS)	K (CPS)	U (CPS)	Th (CPS)
F305	72.4	6.5	1.4	0.7
E305	71.5	6.7	1.8	1.2
D305	72.0	6.7	1.6	0.6
C305	85.6	7.3	2.0	1.0
B305	83.6	7.5	2.6	0.9
A305	58.2	5.3	1.7	0.5
A306	74.7	4.9	2.3	0.7
B306	76.5	7.2	2.8	0.6
C306	78.9	6.2	1.9	0.7
D306	68.2	7.0	2.2	0.6
E306	70.0	5.9	1.4	0.8
F306	71.8	6.5	1.5	1.0
G306	70.7	5.6	1.3	0.8
H306	69.2	4.9	2.0	0.8
I306	76.2	5.7	2.7	0.5
J306	92.2	7.0	3.1	0.8
K306	66.8	5.1	2.0	0.6
L306	57.7	5.4	2.0	0.8
M306	90.9	6.6	2.4	1.7

Station	TC (CPS)	K (CPS)	U (CPS)	Th (CPS)
M307	89.0	6.1	2.7	0.8
L307	52.9	3.3	2.0	0.5
K307	61.3	5.1	1.8	0.5
J307	77.3	7.0	1.6	1.0
I307	61.2	6.1	2.0	0.5
H307	64.4	4.9	1.6	0.4
G307	75.1	7.4	2.3	0.7
F307	66.9	5.2	1.8	1.1
E307	67.9	5.9	1.8	0.7
D307	73.8	6.3	1.2	0.7
C307	68.1	5.6	1.5	0.8
B307	85.0	7.0	2.4	0.6
A307	36.4	2.4	1.2	0.2
A308	65.8	5.8	1.1	1.0
B308	84.7	6.9	2.3	0.8
C308	63.3	4.0	1.6	0.4
D308	65.6	5.2	2.1	0.6
E308	67.3	5.9	1.1	0.3
F308	62.4	5.3	1.6	1.0
G308	59.4	4.9	1.4	0.4

Station	TC (CPS)	K (CPS)	U (CPS)	Th (CPS)
H308	78.8	6.3	1.9	0.7
I308	68.4	4.8	1.6	0.5
J308	53.3	5.4	1.8	0.5
K308	53.1	5.0	1.8	0.3
L308	73.7	4.8	2.0	0.6
M308	75.4	6.5	2.2	1.2
M309	69.9	5.3	2.1	0.6
L309	69.0	5.9	2.2	0.6
K309	65.8	4.2	1.7	0.8
J309	61.7	4.2	1.8	0.6
I309	73.6	5.9	1.6	0.7
H309	63.1	4.8	1.1	0.6
G309	60.2	5.0	1.2	0.6
F309	66.5	6.3	2.2	0.7
E309	63.8	3.7	1.6	0.6
D309	82.3	5.7	2.5	1.3
C309	69.0	4.6	1.7	0.6
B309	94.4	5.8	2.6	1.1
A309	79.0	6.0	2.3	0.8

Station	TC (CPS)	K (CPS)	U (CPS)	Th (CPS)
A310	73.2	5.3	1.6	1.0
B310	89.4	6.5	2.6	0.7
C310	75.4	6.4	2.4	0.9
D310	63.2	5.5	2.5	0.5
E310	89.2	6.2	2.5	1.0
F310	88.5	7.2	2.6	1.1
G310	69.4	4.9	1.9	1.0
H310	61.0	5.2	1.5	0.9
I310	61.6	4.6	1.9	1.0
J310	70.3	7.1	2.4	0.6
K310	66.3	4.7	1.8	0.6
L310	78.1	5.7	1.5	1.0
M310	73.7	4.7	1.6	0.6
M311	73.8	5.4	2.0	0.7
L311	75.6	6.1	2.1	0.8
K311	78.8	4.7	2.2	1.4
J311	84.0	6.4	2.4	0.5
I311	75.7	5.8	2.4	0.6
H311	66.8	5.2	1.6	0.4
G311	58.7	4.9	1.4	1.0

Station	TC (CPS)	K (CPS)	U (CPS)	Ih (CPS)
F311	86.1	<b>8.0</b>	2.2	0.9
E311	68.1	<b>5.8</b>	1.3	0.8
D311	70.0	<b>5.8</b>	1.8	0.7
C311	85.6	<b>6.2</b>	2.1	0.6
B311	73.7	<b>6.2</b>	1.8	0.7
A311	57.7	<b>6.2</b>	1.2	0.6
A312	74.5	<b>7.2</b>	1.2	1.3
B312	56.4	<b>4.6</b>	1.4	0.7
C312	69.3	<b>5.7</b>	2.3	0.4
D312	67.1	<b>5.6</b>	2.2	0.8
E312	74.1	<b>6.0</b>	1.9	0.5
F312	75.8	<b>5.2</b>	2.3	1.1
G312	82.8	<b>6.4</b>	1.9	0.7
H312	75.6	<b>4.3</b>	2.6	1.1
I312	78.6	<b>6.6</b>	1.4	1.1
J312	91.9	<b>6.4</b>	2.2	0.9
K312	74.9	<b>6.5</b>	2.3	1.1
L312	82.9	<b>6.5</b>	2.4	1.0
M312	77.3	<b>6.3</b>	2.4	0.8

Station	TC (CPS)	K (CPS)	U (CPS)	Th (CPS)
M313	80.8	6.3	2.6	1.1
L313	74.5	5.3	2.3	1.2
K313	84.5	5.7	2.2	1.1
J313	87.7	7.4	3.0	1.2
I313	70.8	5.5	1.7	1.0
H313	89.6	5.8	2.1	1.5
G313	59.1	5.1	1.5	0.9
F313	75.3	6.4	1.8	0.5
E313	81.9	6.4	1.8	0.7
D313	65.2	6.4	2.4	0.6
C313	74.8	6.3	1.9	0.7
B313	62.1	6.2	1.4	0.9
A313	73.0	6.0	2.0	1.3
<hr/>				
A314	69.3	5.6	1.9	0.9
B314	72.4	6.1	1.3	0.4
C314	66.6	6.0	1.5	0.5
D314	77.2	6.0	2.7	1.0
E314	84.7	7.2	2.4	1.0
F314	74.7	6.1	2.3	0.6
G314	83.5	6.8	2.3	0.9

Station	Tc (CPS)	K (CPS)	U (CPS)	Th (CPS)
H314	65.2	4.9	1.8	0.7
I314	53.3	3.8	1.5	0.6
J314	58.7	5.4	1.7	0.5
K314	86.4	5.4	2.1	1.3
L314	87.0	6.9	2.0	1.0
M314	74.1	6.1	1.9	1.1

ลิขสิทธิ์มหาวิทยาลัยเชียงใหม่  
 Copyright © by Chiang Mai University  
 All rights reserved

### ภาคผนวกที่ ๓

จำนวนความหนาแน่นร้อยอันก้าวอัลฟ่าในแผ่นพิล์มเซลลูโลสในเขต  
ที่ติดไว้ ณ สถานีสำรวจในบริเวณแรก (ติดกับบ่ออดดอนเปลือย根)  
ระหว่างวันที่ 24 กุมภาพันธ์ 2533 ถึงวันที่ 10 มีนาคม 2533

สถานี	$t/cm^2 . d$	สถานี	$t/cm^2 . d$
A 200	-	H 202	4252
B 200	-	I 202	1698
C 200	-	J 202	1782
D 200	-	K 202	1410
E 200	-	L 202	1610
F 200	2762	M 202	1594
G 200	1869	N 202	1984
H 200	-	O 202	2038
I 200	2895	P 202	2365
J 200	1965	Q 202	1963
K 200	2780	A 204	-
L 200	2627	B 204	2031
M 200	2078	C 204	3080
N 200	1880	D 204	2696
O 200	1245	E 204	8009
P 200	1394	F 204	3120
Q 200	2101	G 204	2232
A 202	-	H 204	1964
B 202	-	I 204	1492
C 202	-	J 204	1633
D 202	-	K 204	2651
E 202	-	L 204	1993
F 202	1334	M 204	2751
G 202	-	N 204	2696
		O 204	4567

สถานี	$t/cm^2 \cdot d$	สถานี	$t/cm^2 \cdot d$
P 204	1200	G 208	1929
Q 204	1780	H 208	2403
A 206	925	I 208	1988
B 206	950	J 208	1912
C 206	1002	K 208	2323
D 206	1152	L 208	4213
E 206	1720	M 208	59727
F 206	1688	N 208	3747
G 206	1701	O 208	2397
H 206	2506	P 208	4028
I 206	2782	Q 208	3099
J 206	1811	A 210	-
K 206	4057	B 210	-
L 206	13602	C 210	-
M 206	2408	D 210	3552
N 206	1342	E 210	5480
O 206	1765	F 210	3703
P 206	5181	G 210	4058
Q 206	3999	H 210	3764
A 208	841	I 210	4248
B 208	3612	J 210	-
C 208	1788	K 210	1974
D 208	2230	L 210	4563
E 208	1716	M 210	4504
F 208	1937	N 210	1966

สถานี	$t/cm^2 \cdot d$	สถานี	$t/cm^2 \cdot d$
P 204	1200	G 208	1929
Q 204	1780	H 208	2403
A 206	925	I 208	1988
B 206	950	J 208	1912
C 206	1002	K 208	2323
D 206	1152	L 208	4213
E 206	1720	M 208	59727
F 206	1688	N 208	3747
G 206	1701	O 208	2397
H 206	2506	P 208	4028
I 206	2782	Q 208	3099
J 206	1811	A 210	-
K 206	4057	B 210	-
L 206	13602	C 210	-
M 206	2408	D 210	3552
N 206	1342	E 210	5480
O 206	1765	F 210	3703
P 206	5181	G 210	4058
Q 206	3999	H 210	3764
A 208	841	I 210	4248
B 208	3612	J 210	-
C 208	1788	K 210	1974
D 208	2230	L 210	4563
E 208	1716	M 210	4504
F 208	1937	N 210	1966

สถานี	$t/cm^2 \cdot d$	สถานี	$t/cm^2 \cdot d$
O 210	1189	F 214	4164
P 210	3047	G 214	2254
Q 210	-	H 214	2052
A 212	7357	I 214	3236
B 212	-	J 214	1106
C 212	4831	K 214	976
D 212	2377	L 214	1766
E 212	2996	M 214	3532
F 212	3673	N 214	1075
G 212	8137	O 214	1841
H 212	-	P 214	-
I 212	1635	Q 214	2714
J 212	3379	A 216	3258
K 212	1647	B 216	1432
L 212	6540	C 216	2165
M 212	1933	D 216	2426
N 212	1517	E 216	-
O 212	1628	F 216	1549
P 212	-	G 216	-
Q 212	-	H 216	2157
A 214	-	I 216	-
B 214	5641	J 216	3199
C 214	2874	K 216	1974
D 214	-	L 216	1536
E 214	4152	M 216	-

สถานี	$t/cm^2 \cdot d$
N 216	2431
O 216	-
P 216	1014
Q 216	1671
A 218	-
B 218	-
C 218	1131
D 218	1716
E 218	2233
F 218	2721
G 218	2169
H 218	1597
I 218	1311
J 218	1461
K 218	1572
L 218	1129
M 218	-
N 218	5193
O 218	1600
P 218	1410
Q 218	-
A 220	-
B 220	2821
C 220	966
D 220	866

สถานี	$t/cm^2 \cdot d$
E 220	902
F 220	910
G 220	1029
H 220	-
I 220	1427
J 220	1189
K 220	1805
L 220	1826
M 220	3293
N 220	3258
O 220	3048
P 220	879
Q 220	4114

### ภาคผนวกที่ 4

จำนวนความหนาแน่นร้อยอนุภาคอัลฟ่าในแผ่นพิล์มเซลลูโลสในเขตที่ติดไว้ ณ สถานีสำรวจในบริเวณที่สอง (ห่างจากยอดดอยเปป้มังมาทางตะวันตกประมาณ 1 กิโลเมตร) ระหว่างวันที่ 12-26 พฤษภาคม 2533

สถานี	$t/cm^2 \cdot d$	สถานี	$t/cm^2 \cdot d$
A 300	3265	A 302	-
B 300	8078	B 302	2372
C 300	15816	C 302	3558
D 300	-	D 302	-
E 300	3873	E 302	5527
F 300	4784	F 302	6058
G 300	5873	G 302	10892
H 300	3493	H 302	3036
I 300	11879	I 302	2760
J 300	12639	J 302	-
K 300	8249	K 302	3964
L 300	-	L 302	4098
M 300	3391	M 302	6916
A 301	-	A 303	-
B 301	-	B 303	-
C 301	-	C 303	-
D 301	-	D 303	2431
E 301	7886	E 303	6717
F 301	-	F 303	-
G 301	-	G 303	12957
H 301	3915	H 303	6230
I 301	4655	I 303	2766
J 301	-	J 303	5551
K 301	-	K 303	-
L 301	-	L 303	-

สถานี	$t/cm^2 \cdot d$	สถานี	$t/cm^2 \cdot d$
A 304	5164	A 306	5899
B 304	9644	B 306	8937
C 304	-	C 306	5511
D 304	11474	D 306	3611
E 304	4283	E 306	3701
F 304	7163	F 306	4890
G 304	3230	G 306	10402
H 304	-	H 306	11798
I 304	-	I 306	-
J 304	14454	J 306	31585
K 304	8044	K 306	18928
L 304	6788	L 306	16760
M 304	2511	M 306	7847
A 305	-	A 308	-
B 305	-	B 308	5776
C 305	-	C 308	5650
D 305	5030	D 308	2730
E 305	4070	E 308	8939
F 305	3557	F 308	3345
G 305	6273	G 308	5841
H 305	7363	H 308	13724
I 305	10335	I 308	7905
J 305	20749	J 308	5172
K 305	-	K 308	7072
L 305	-	L 308	4046

สถานี	t/cm <sup>2</sup> .d
M 308	11672
A 310	3514
B 310	2790
C 310	6909
D 310	4835
E 310	-
F 310	4875
G 310	5198
H 310	3287
I 310	3682
J 310	7756
K 310	5350
L 310	3816
M 310	7239
A 312	1749
B 312	3467
C 312	3735
D 312	10367
E 312	4411
F 312	11081
G 312	1362
H 312	-
I 312	-
J 312	5574
K 312	4960

สถานี	t/cm <sup>2</sup> .d
L 312	6112
M 312	-
A 314	1938
B 314	875
C 314	4224
D 314	3634
E 314	7979
F 314	13025
G 314	4029
H 314	4053
I 314	3139
J 314	5521
K 314	5489
L 314	6847
M 314	1007
B 20	20319

## คณะผู้วิจัย

กิตติชัย วัฒนานนิก

ตำแหน่งรองศาสตราจารย์ ภาควิชาพิสิกส์  
 คุณวุฒิ วท.บ. เกียรตินิยม (พิสิกส์)  
 M.Sc. (Engineering and Mining  
 Geophysics)  
 Ph.D. (Applied Geophysics)

พงษ์พอ อานันจิตา

ตำแหน่งรองศาสตราจารย์ ภาควิชาธรณีวิทยา  
 คุณวุฒิ วท.บ. (ธรณีวิทยา)  
 M.Sc. (Mining Geology)

ประโภชน์ อุนจะนำ

ตำแหน่งผู้ช่วยศาสตราจารย์ ภาควิชาธรณีวิทยา  
 คุณวุฒิ วท.บ. (ธรณีวิทยา)  
 วท.ม. (ธรณีวิทยา)  
 Ph.D. (Mineralogy and Petrology)

**ลิขสิทธิ์มหาวิทยาลัยเชียงใหม่**  
**Copyright<sup>©</sup> by Chiang Mai University**  
**All rights reserved**